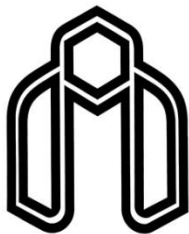


الله الحمد



دانشگاه شهرورد

دانشکده: فیزیک

گروه: حالت جامد

سنتز و بررسی خواص فیزیکی نانو ساختارهای اکسید مولیبدن با

ناخالصی‌های مختلف

امین افتخاری

استاد راهنما:

دکتر محمد باقر رحمانی

استاد مشاور:

دکتر فاطمه مصدرالامور

پایان نامه ارشد جهت اخذ درجه کارشناسی ارشد

بهمن ۹۳

## دانشگاه شاهرود

دانشکده: فیزیک

گروه: حالت جامد

پایان نامه کارشناسی ارشد آقای امین افتخاری

تحت عنوان:

سنتر و بررسی خواص فیزیکی نانو ساختارهای اکسید مولیبدن با ناخالصی های مختلف

در تاریخ ..... توسط کمیته تخصصی زیر جهت اخذ مدرک کارشناسی ارشد مورد ارزیابی و با درجه ..... مورد پذیرش قرار گرفت.

امضاء	اساتید مشاور	امضاء	اساتید راهنمای
	نام و نام خانوادگی: دکتر فاطمه مصدرالامور		نام و نام خانوادگی: دکتر محمد باقر رحمانی
	نام و نام خانوادگی:		نام و نام خانوادگی:

امضاء	نماینده تحصیلات تکمیلی	امضاء	اساتید داور
	نام و نام خانوادگی:		نام و نام خانوادگی:
			نام و نام خانوادگی:
			نام و نام خانوادگی:

تقدیم به

## دستان ز حملکش پدرم

محبت بی کران مادرم

و همسر عزیزم

که بخلات ناب باور بودن، بخطه غور دانستن، جمارت خواستن و تمام تجربه های زیبایی زندگی ام مدیون حضور آن هاست.

## تقدیر و تشکر:

سپاس بیکران پروردگار را که هستی مان بخشد و به طریق علم و دانش رهنمون مان شد و به همنشینی رهروان علم و دانش مفتخر مان نمود و خوشه چینی از علم و معرفت را روزی مان ساخت. اکنون که با یاری خدای متعال موفق به اتمام این مقطع تحصیلی شده‌ام، بر خود لازم می‌دانم از زحمات استاد بزرگوار این پژوهه جناب آقای دکتر محمد باقر رحمنی که در کمال سعه صدر، با حسن خلق و فروتنی، از هیچ کمکی در این عرصه بر من دریغ ننمودند و زحمت راهنمایی این پایان نامه را بر عهده گرفتند و همچنین از دیگر استاد صبور و فرهیخته‌ام، سرکار خانم دکتر مصدر الامور که بدون مساعدت ایشان، این پژوهه به نتیجه مطلوب نمی‌رسید، کمال تشکر و قدردانی را داشته باشم. و از تمام دوستان عزیزم آقایان علی اصغر رادکانی، علی اخوان، رضا سریزن، محسن مهدی‌زاده به خاطر کمک‌ها و حمایت‌هایشان سپاسگزارم و از خداوند منان توفیق روزافزون آنان را خواستارم. و در کلام آخر این مجموعه را به یکایک اعضای خانواده ام به پاس عاطفه سرشار و گرمای امید بخش وجودشان که بهترین پشتیبان زندگانی من است تقدیم می‌کنم.

## تعهد نامه

اینجانب امین افتخاری دانشجوی دوره کارشناسی ارشد رشته فیزیک حالت جامد دانشکده فیزیک دانشگاه صنعتی شاهروド نویسنده پایان نامه ستر و بررسی خواص فیزیکی نانوساختارهای اکسید مولیبدن با ناخالصی‌های مختلف تحت راهنمایی‌کتر محمد باقر رحمانی متعهد می‌شوم.

- تحقیقات در این پایان نامه توسط اینجانب انجام شده است و از صحت و اصالت بربوردار است.
- در استفاده از نتایج پژوهش‌های محققان دیگر به مرجع مورد استفاده استناد شده است.
- مطلب مندرج در پایان نامه تاکنون توسط خود یا فرد دیگری برای دریافت هیچ نوع مدرک یا امتیازی در هیچ جا ارائه نشده است.
- کلیه حقوق معنوی این اثر متعلق به دانشگاه صنعتی شاهروド می‌باشد و مقالات مستخرج با نام «دانشگاه صنعتی شاهروド» و یا «Shahrood University of Technology» به چاپ خواهد رسید.
- حقوق معنوی تمام افرادی که در به دست آمدن نتایج اصلی پایان نامه تأثیرگذار بوده اند در مقالات مستخرج از پایان نامه رعایت می‌گردد.
- در کلیه مراحل انجام این پایان نامه، در مواردی که از موجود زنده (یا باقیت‌های آنها) استفاده شده است ضوابط و اصول اخلاقی رعایت شده است.
- در کلیه مراحل انجام این پایان نامه، در مواردی که به حوزه اطلاعات شخصی افراد دسترسی یافته یا استفاده شده است اصل رازداری، ضوابط و اصول اخلاق انسانی رعایت شده است

### تاریخ

امضای دانشجو

## مالکیت نتایج و حق نشر

- کلیه حقوق معنوی این اثر و محصولات آن (مقالات مستخرج، کتاب، برنامه‌های رایانه‌ای، نرم افزارها و تجهیزات ساخته شده است) متعلق به دانشگاه صنعتی شاهروド می‌باشد. این مطلب باید به نحو مقتضی در تولیدات علمی مربوطه ذکر شود.
- استفاده از اطلاعات و نتایج موجود در پایان نامه بدون ذکر مرجع مجاز نمی‌باشد.

## چکیده

در این پایان نامه به مطالعه ریخت شناسی، خواص ساختاری و اپتیکی نمونه های اکسید مولیبدن ( $\text{MoO}_3$ ) تهیه شده به روش های اسپری پایرو لیزیز و هیدرو ترمال پرداخته شده است. همچنین اثر آلایش قلع بر روی نمونه های اکسید مولیبدن که با روش اسپری پایرو لیزیز تهیه شدند، بررسی شد. برای مشخصه یابی نمونه ها از دستگاه های میکروسکوپ الکترونی روبشی گسیل میدانی (FE-SEM)، پراش پرتو ایکس (XRD) و طیف سنجی UV-Vis استفاده گردید. پارامترهای رشد مورد مطالعه به وسیله ای دستگاه اسپری پایرو لیزیز عبارتند از: دمای زیر لایه (در بازه  $0^\circ\text{C}$ - $450^\circ\text{C}$ )، غلظت محلول اولیه (در محدوده  $10/10\text{ M}$ )، حجم محلول اولیه (در گستره  $25-75\text{ mL}$ )، آهنگ لایه نشانی (در محدوده  $5-20\text{ mL/min}$ ) و افزودن آلایش قلع به نمونه ها با نسبت های مولی مختلف  $\text{Sn/Mo}$  (در بازه  $0/0.5-0.5/0$ ). الگوی XRD نمونه های بدون ناخالصی فاز پایدار ترمودینامیکی  $\alpha\text{-MoO}_3$  با ساختار بلوری راست گوشه را نشان می دهد. قله هایی در راستاهای  $\{0k0\}$  ( $k=2, 4, 6$ ) در الگوهای پراش دیده می شود که نشان دهنده ساختار لایه ای نمونه ها است. تصاویر FESEM نمونه ها وجود کره هایی با ابعاد میکرو را نشان می دهد که پوسته کره ها ساختار لایه ای شکل دارند. همچنین با استفاده از طیف عبوری و بازتاب لایه ها در صد عبور نور، ضریب جذب و گاف نواری مستقیم نمونه ها به دست آمد و تحلیل شد. در روش هیدرو ترمال از زیر لایه هایی شیشه ای و لایه های بذری با پایرو لیزیز رشد یافته بودند به عنوان لایه بذری، استفاده شد. در این بخش تاثیر زیر لایه های شیشه ای و لایه های بذری با شرایط رشد مختلف و همچنین مدت زمان فرایند هیدرو ترمال، بررسی شد. الگوی پراش پرتو X نمونه ها فاز پایدار ترمودینامیکی  $\alpha\text{-MoO}_3$  با ساختار بلوری راست گوشه را نشان می دهد، همچنین تصاویر FESEM نمونه ها رشد ترجیحی بر روی لایه بذری را نشان می دهد.

**کلمات کلیدی:** اکسید مولیبدن، اسپری پایرو لیزیز، هیدرو ترمال، لایه نازک، نانوساختارها، ریخت شناسی سطح، خواص ساختاری و نوری.

## مقالات مستخرج از این پایان نامه

- ✓ افتخاری. امین، رحمانی. محمدباقر، مصدرالامور. فاطمه "اثر دمای زیر لایه بر روی خواص ساختاری و نوری لایه نازک MoO<sub>3</sub>"، کنفرانس فیزیک ایران، ۱۷ تا ۲۰ شهریورماه ۱۳۹۳، دانشگاه سیستان و بلوچستان، زاهدان.
- ✓ افتخاری. امین، رحمانی. محمدباقر، مصدرالامور. فاطمه "بررسی اثر غلظت محلول اولیه بر روی خواص ساختاری و نوری لایه‌های نازک MoO<sub>3</sub>"، کنفرانس ماده چگال، ۸ و ۹ بهمن ماه ۱۳۹۳، دانشگاه صنعتی اصفهان، اصفهان.

# فهرست مطالب

۱	..... ح چکیده
۱	..... فصل اول کلیات و مروری بر مقالات
۲	..... ۱-۱ مقدمه
۲	..... ۲-۱ تعریف لایه نازک
۲	..... ۳-۱ مولیبدن و اکسید مولیبدن
۳	..... ۴-۱ معرفی اکسید مولیبدن
۴	..... ۵-۱ کاربردهای اکسید مولیبدن
۵	..... ۶-۱ مرور مقالات در مورد لایه‌های نازک $\text{MoO}_3$ تهیه شده به روش اسپری پایرولیزیز
۵	..... ۶-۱-۱ بررسی اثر دمای زیر لایه
۶	..... ۶-۱-۲ بررسی اثر حجم محلول
۱۲	..... ۶-۱-۳ بررسی دمای بازپخت
۱۵	..... ۷-۱ تهیه پودر $\text{MoO}_3$ به روش هیدروترمال
۲۰	..... ۸-۱ بررسی خواص فیزیکی لایه‌های نازک $\text{MoO}_3$ آلایش یافته با مواد مختلف
۲۰	..... ۸-۱-۱ تهیه و بررسی خواص لایه نازک $\text{MoO}_3$ با آلایش Nb
۲۳	..... ۸-۱-۲ تهیه و بررسی خواص لایه نازک $\text{MoO}_3$ با آلایش لیتیوم(Li)
۲۵	..... ۸-۱-۳ تهیه و مشخصه‌یابی ترکیب نانوکمربندهای $\text{MoO}_3$ و نانوذرات Ag
۲۸	..... ۹-۱ جمع بندی

۲۹	فصل دوم روش تهیه و مشخصه‌یابی نمونه‌ها
۳۰	۱-۲ مقدمه
۳۰	۲-۲ روش‌های رشد لایه‌های نازک
۳۱	۳-۲ دستگاه اسپری پایرولیزیز
۳۲	۱-۳-۲ آماده سازی زیرلایه
۳۳	۲-۳-۲ تهیه محلول اولیه
۳۴	۳-۳-۲ پارامترهای لایه نشانی
۳۴	۴-۲ روش هیدروترمال بهبود یافته
۳۶	۱-۴-۲ تهیه محلول اولیه
۳۷	۲-۴-۲ پارامترهای لایه نشانی شده
۳۷	۵-۲ میکروسکوپ الکترونی روبشی گسیل میدانی (FESEM)
۳۸	۶-۲ مطالعه پراش پرتو ایکس (XRD)
۴۱	۷-۲ مشخصه‌یابی نوری
۴۱	۱-۷-۲ طیف سنج UV-Vis
۴۱	۲-۷-۲ ضریب جذب
۴۲	۳-۷-۲ تعیین انرژی گاف نواری
۴۳	۸-۲ ضخامت سنجی نمونه‌ها
۴۴	۹-۲ جمع بندی

### فصل سوم نتایج کارهای انجام شده و بحث در مورد رشد لایه‌های نازک اکسید

۴۵	مولیبدن
۴۶	۱-۳ مقدمه
۴۶	۲-۳ اثر پارامترهای مختلف در رشد لایه‌های نازک $\text{MoO}_3$ به روش اسپری پایرولیزیز
۴۶	۱-۲-۳ بررسی اثر دمای زیرلایه بر روی خواص فیزیکی $\text{MoO}_3$
۴۶	۱-۲-۳-۱ بررسی خواص ساختاری نمونه‌ها
۴۸	۱-۲-۳-۲ بررسی ریخت شناسی سطح نمونه‌ها
۵۰	۱-۲-۳-۳ بررسی خواص نوری نمونه‌ها
۵۱	۲-۲-۳ بررسی اثر غلظت محلول اولیه بر روی خواص فیزیکی $\text{MoO}_3$
۵۲	۱-۲-۳-۱ بررسی خواص ساختاری نمونه‌ها
۵۴	۱-۲-۳-۲ بررسی ریخت شناسی سطح نمونه‌ها
۵۴	۱-۲-۳-۳ بررسی خواص نوری نمونه‌ها
۵۶	۳-۲-۳ بررسی اثر آهنگ لایه نشانی بر روی خواص فیزیکی $\text{MoO}_3$
۵۸	۱-۳-۲-۳ بررسی خواص ساختاری نمونه‌ها
۵۹	۱-۳-۲-۳ بررسی ریخت شناسی سطح نمونه‌ها
۵۹	۱-۳-۲-۳-۳ بررسی خواص نوری نمونه‌ها
۶۱	۴-۲-۳ بررسی اثر حجم محلول اولیه بر روی خواص فیزیکی $\text{MoO}_3$
۶۲	۱-۴-۲-۳ بررسی خواص ساختاری نمونه‌ها

۶۴.....	۲-۴-۲-۳ بروزی ریخت شناسی سطح نمونه‌ها
۶۴.....	۳-۴-۲-۳ بروزی خواص نوری نمونه‌ها
۶۷.....	۵-۲-۳ بروزی اثر آلایش Sn با درصد های مختلف بر روی خواص فیزیکی MoO <sub>3</sub>
۶۷.....	۱-۵-۲-۳ بروزی خواص ساختاری نمونه‌ها
۶۸.....	۲-۵-۲-۳ بروزی ریخت شناسی سطح نمونه‌ها
۷۰ .....	۳-۵-۲-۳ بروزی خواص نوری نمونه‌ها
۷۲.....	۳-۳ اثر پارامترهای مختلف رشد لایه نازک MoO <sub>3</sub> به روش هیدرоторمال
۷۳.....	۳-۳ بروزی اثر مدت زمان فرآیند هیدرоторمال
۷۳.....	۱-۱-۳-۳ بروزی خواص ساختاری نمونه‌ها
۷۴.....	۲-۱-۳-۳ بروزی ریخت شناسی سطح نمونه‌ها
۷۶ .....	۲-۳-۳ بروزی اثر افزودن پایدار کننده
۷۶.....	۱-۲-۳-۳ بروزی خواص ساختاری نمونه‌ها
۷۸.....	۲-۲-۳-۳ بروزی ریخت شناسی سطح نمونه‌ها
۷۹ .....	۳-۳-۳ بروزی اثر زیرلایه با غلظت های مختلف
۷۹.....	۱-۳-۳-۳ بروزی خواص ساختاری نمونه‌ها
۸۱.....	۲-۳-۳-۳ بروزی ریخت شناسی سطح نمونه‌ها
۸۲ .....	۴-۳-۳ بروزی اثر زیرلایه با حجم های مختلف

۱-۳-۳ بررسی خواص ساختاری نمونه‌ها.....	۸۳
۲-۳-۳ بررسی ریخت شناسی سطح نمونه‌ها.....	۸۳
۴-۳ جمع بندی.....	۸۶
<b>فصل چهارم نتیجه گیری و پیشنهادات.....</b>	<b>۸۷</b>
۱-۴ مقدمه.....	۸۸
۲-۴ بررسی اثر دمای زیرلایه در روش اسپری پایرولیزیز.....	۸۸
۳-۴ بررسی اثر غلظت محلول اولیه در روش اسپری پایرولیزیز.....	۸۹
۴-۴ بررسی اثر آهنگ لایه نشانی در روش اسپری پایرولیزیز.....	۸۹
۵-۴ بررسی اثر حجم محلول اولیه در روش اسپری پایرولیزیز.....	۹۰
۶-۴ بررسی اثر آلایش Sn با استفاده از روش اسپری پایرولیزیز.....	۹۱
۷-۴ بررسی اثر مدت زمان در روش هیدروترمال.....	۹۲
۸-۴ بررسی اثر افزودن پایدارکننده SDS در روش هیدروترمال.....	۹۳
۹-۴ بررسی اثر زیرلایه با غلظتهای مختلف در روش هیدروترمال.....	۹۳
۱۰-۴ بررسی اثر زیرلایه با حجم محلول مختلف در روش هیدروترمال.....	۹۴
۱۱-۴ پیشنهادات برای کارهای آتی.....	۹۵
<b>مراجع.....</b>	<b>۹۷</b>

# فهرست شکل‌ها

شکل ۱-۱: نمایش ساختار بلوری: (A) و (B) راست گوشه $\alpha\text{-MoO}_3$ و (C) و (D) شش گوشی $\text{h-MoO}_3$	۴
شکل ۲-۱: الگوهای XRD لایه‌های نازک $\text{MoO}_3$ در دماهای زیرلایه متفاوت	۶
شکل ۳-۱: تصاویر SEM نمونه‌ها تهیه شده در دمای زیرلایه (a) $420\text{ K}$ ، (b) $520\text{ K}$ و (c) $670\text{ K}$	۷
شکل ۴-۱: تغییرات ضخامت نمونه‌ها بر حسب حجم محلول	۸
شکل ۵-۱: الگوهای XRD نمونه‌های $\text{MoO}_3$ برای حجم‌های مختلف	۸
شکل ۶-۱: مقادیر اندازه بلورک و نیم‌پهنا قله در راستای صفحه ( $0^{\circ}20$ )	۹
شکل ۷-۱: تصاویر SEM برای لایه‌ها با حجم محلول اولیه (a) $30\text{ mL}$ ، (b) $40\text{ mL}$ ، (c) $50\text{ mL}$ و (d) $60\text{ mL}$ برای نمونه با حجم محلول FESEM	۱۰
شکل ۸-۱: طیفهای (a) جذبی (b) عبوری نوری برای لایه‌های نازک اکسید مولیبدن	۱۱
شکل ۹-۱: منحنی مقاومت الکتریکی نمونه‌ها بر حسب تابعی از دما	۱۲
شکل ۱۰-۱: الگو XRD لایه نازک اکسید مولیبدن تهیه شده به روش اسپری	۱۳
شکل ۱۱-۱: تصاویر SEM لایه نازک اکسید مولیبدن	۱۳
شکل ۱۲-۱: طیف جذبی لایه نازک اکسید مولیبدن	۱۴
شکل ۱۳-۱: نمودار I-V نمونه	۱۴
شکل ۱۴-۱: نمودار تغییرات رسانندگی بر حسب دما	۱۵
شکل ۱۵-۱: الگو XRD نانو نوارهای $\text{MoO}_3$ به روش هیدروترمال	۱۶
شکل ۱۶-۱: تصاویر (a) TEM و (b,c,d) HRTEM نانونوارهای $\text{MoO}_3$ تهیه شده به روش هیدروترمال	۱۷

- شکل ۱۷-۱: الگوی XRD نانومیله‌های  $\text{MoO}_3$  ..... ۱۸
- شکل ۱۸-۱: تصاویر SEM مربوط به نانومیله‌های اکسید مولیبدن (a) نمونه ۱ و (b) نمونه ۲ ..... ۱۹
- شکل ۱۹-۱: (a) تصویر HRTEM و (b) الگوی SAED نانومیله‌های  $\alpha\text{-MoO}_3$  ..... ۱۹
- شکل ۲۰-۱: الگوی پراش پرتو X نمونه‌های  $\text{MoO}_3$  با درصدهای آلایش مختلف ..... ۲۱
- شکل ۲۱-۱: تصاویر SEM نمونه‌های  $\text{MoO}_3$  با درصد آلایش مختلف Nb ..... ۲۲
- شکل ۲۲-۱: نمودار  $(\alpha h\nu)^2$  بر حسب انرژی فوتون ( $h\nu$ ) برای نمونه‌های مختلف ..... ۲۲
- شکل ۲۳-۱: الگوی پراش پرتو X برای نمونه  $\text{MoO}_3$  بدون آلایش و با درصد آلایش مختلف Li ..... ۲۴
- شکل ۲۴-۱: تصاویر SEM نمونه‌های  $\text{MoO}_3$  با آلایش (a) ۰ wt%، (b) ۲ wt%， (c) ۴ wt% لیتیوم ..... ۲۴
- شکل ۲۵-۱: (a) نمودار درصد عبوری نور بر حسب طول موج و (b) نمودار  $(\alpha h\nu)^2$  بر حسب انرژی فوتون برای نمونه های  $\text{MoO}_3$  با درصدهای مختلف آلایش لیتیوم ..... ۲۵
- شکل ۲۶-۱: الگوی پراش پرتو X برای نمونه نانو ترکیب  $\text{Ag}/\text{MoO}_3$  با درصدهای مختلف نقره ..... ۲۷
- شکل ۲۷-۱: تصاویر SEM نانوکمرندهای  $\text{MoO}_3$  با درصدهای وزنی مختلف نانوذرات Ag (a) ۰.۱ wt%， (b) ۰.۵ wt%， (c) ۱ wt%， (d) ۱۰ wt% ..... ۲۷
- شکل ۲۸-۱: (a) تصویر SEM، طرح EDS به ترتیب برای عناصر (b) مولیبدن، (c) اکسیژن و (d) نقره مربوط به نانو ترکیب  $\text{Ag}/\text{MoO}_3$  با درصد وزنی ۱۰٪ Ag ..... ۲۸
- شکل ۲-۱: (الف) دستگاه اسپری پایرولیزیز مدل (Spray Coating System.S.C.S.86) ..... ۳۲
- استفاده شده در این تحقیق موجود در دانشگاه صنعتی شاهروド (ب) طرح شماتیک از دستگاه اسپری پایرولیزیز ..... ۳۲
- شکل ۲-۲: محلول اولیه آمونیوم مولیبدات تتراهیدرات تهیه شده برای لایه نشانی به روش ..... ۳۲

۳۳	..... اسپری پایرولیزیز.
۳۵	..... شکل ۲-۳: کاربردهای صنعتی مهم روش هیدروترمال در قرن بیست و یک.
۳۵	..... شکل ۴-۲: تفاوت تشکیل ذرات در روش هیدروترمال و سایر روش‌های مرسوم دیگر.
۳۶	..... شکل ۵-۲: محلول اولیه و نحوه قرار گرفتن زیرلايه در محلول.
..... شکل ۶-۲: الف) دستگاه میکروسکوپ الکترونی روشنی گسیل میدانی (FESEM) مدل Hitachi S-41600 مورد استفاده در این پایان نامه ، (ب) تصویر طرحوار از اجزای داخلی دستگاه ...	
۳۹	..... شکل ۷-۲: طرح الگووار از صفحات بلوری و صفحات بازتاب شده از صفحات متوالی .....
..... شکل ۸-۲: (الف) تصویری از دستگاه پراش پرتو ایکس مدل (Unisance S300) موجود در دانشگاه شاهroud که در این پایان نامه از آن استفاده شده است، (ب) محل قرار گرفتن نمونه‌ها.	
۴۰	..... شکل ۹-۲: (الف) دستگاه طیف سنجی مدل (Shimadzo UV-Vis 1800) موجود در دانشگاه شاهroud که در این پایان نامه از آن استفاده شده است، جایگاه قرار گیری نمونه‌های مرچع و شاهد برای تعیین (ب) درصد عبور (ج) درصد بازتاب.
۴۲	..... شکل ۱۰-۲: دستگاه اندازه گیری ضخامت سطحی لایه‌ها.
۴۳	..... شکل ۱-۳: الگوی پراش پرتو X برای نمونه‌ها با دمای زیرلايه °C ۴۰۰، ۳۵۰، ۳۰۰، ۲۵۰ و ۲۰۰.
۴۷	..... شکل ۲-۳: تصاویر FESEM با مقیاس‌های به ترتیب $50\text{ }\mu\text{m}$ و $5\text{ }\mu\text{m}$ ۱ نمونه‌های (الف) و (ب).
۴۹	..... شکل ۳-۳: (الف) طیف عبوری و (ب) بازتابی نمونه‌های اکسید مولیبدن با دمای زیرلايه °C ۴۰۰، ۳۵۰، ۳۰۰ و ۲۵۰.
۵۰	..... شکل ۴-۳: نمودار ضریب جذب نوری بر حسب طول موج برای نمونه‌ها با دمای زیرلايه °C ۴۰۰، ۳۵۰، ۳۰۰ و ۲۵۰.
۵۱	..... شکل ۵-۳: نمودار تغییرات گاف نواری بای نمونه‌های (الف) ST۲۵۰، (ب) ST۳۰۰، (ج) ST۳۵۰: نمودار تغییرات گاف نواری بای نمونه‌های (الف) ST۲۵۰، (ب) ST۳۰۰، (ج)

۵۲ ..... ST۴۵۰ و (ه) ST۴۰۰.

شکل ۳-۶: الگوی پراش پرتو X برای نمونه‌ها با غلظت‌های ۱، ۰/۰۲، ۰/۰۵ و ۰/۱ M

شکل ۷-۳: تصاویر FESEM با مقیاس‌های به ترتیب ۵۰ μm و ۱ μm نمونه‌های (الف) و (ب)

۵۵ ..... SM۴، (پ) و (ت)، SM۳، (ج) و (چ).

شکل ۸-۳: (الف) طیف عبوری و (ب) بازتابی نمونه‌های اکسید مولیبدن با غلظت‌های ۱، ۰/۰۱

۵۶ ..... ۰/۱ M، ۰/۰۵ و ۰/۰۲ M

شکل ۹-۳: نمودار ضریب جذب اپتیکی بر حسب طول موج برای نمونه‌ها با غلظت‌های ۱، ۰/۰۱

۵۷ ..... ۰/۱ M، ۰/۰۵ و ۰/۰۲ M

شکل ۱۰-۳: نمودار تغییرات گاف نواری برای نمونه‌های (الف) SM۱، (ب) SM۲، (ج) SM۳ و

۵۷ ..... (د) SM۴

شکل ۱۱-۳: الگوی پراش پرتو X برای نمونه‌ها با آهنگ لایه‌نشانی ۵ و ۲۰ mL/min

شکل ۱۲-۳: تصاویر FESEM با مقیاس‌های به ترتیب ۵۰ μm و ۱ μm نمونه‌های (الف) و (ب)

۶۰ ..... SR۲۰، (ج) و (د)

شکل ۱۳-۳: طیف (الف) عبوری و (ب) بازتاب نمونه‌ها با آهنگ‌های لایه نشانی ۵، ۱۰

۶۰ ..... ۲۰ mL/min

شکل ۱۴-۳: نمودار ضریب جذب نمونه‌های اکسید مولیبدن با آهنگ‌های لایه نشانی ۵، ۱۰

۶۱ ..... ۲۰ mL/min

شکل ۱۵-۳: نمودار  $\alpha h\nu^2$  بر حسب  $h\nu$  برای نمونه‌های (الف) SR۵، (ب) SR۱۰ و (ج)

۶۲ ..... SR۲۰

شکل ۱۶-۳: الگوی پراش پرتو X برای نمونه‌ها با حجم محلول ۲۵، ۵۰ و ۷۵ mL

شکل ۱۷-۳: تصاویر FESEM با مقیاس‌های به ترتیب ۵۰ μm و ۱ μm برای نمونه‌های با

حجم‌های (الف) و (ب) ۲۵ mL، (پ) و (ت) ۵۰ mL و (ج) و (چ) ۷۵ mL

- شکل ۱۸-۳: (الف) طیف عبوری و (ب) بازتابی نمونه‌های اکسید مولیبدن با حجم محلول ۲۵، ۶۵ ..... ۷۵ mL و ۵۰
- شکل ۱۹-۳: نمودار ضریب جذب اپتیکی بر حسب طول موج برای نمونه‌ها با حجم محلول ۲۵، ۶۶ ..... ۷۵ mL و ۵۰
- شکل ۲۰-۳ : نمودار  $\alpha h\nu^2$ ) بر حسب  $h\nu$  برای نمونه‌های (الف) SV۲۵ و SV۵۰ و (ب) ۶۶ ..... SV۷۷۵
- شکل ۲۱-۳: الگوی پراش پرتو X برای نمونه‌های  $\text{MoO}_3$  با درصد آلایش مختلف Sn. ۶۸ ..... ۱
- شکل ۲۲-۳: تصاویر FESEM با مقیاس‌های به ترتیب  $5\text{ }\mu\text{m}$  و  $50\text{ }\mu\text{m}$  و ۱ نمونه‌های (الف) و (ب) ۶۹ ..... SnM۱۵ و SnM۱۰ و (د) و (ذ) و (ج) و (ت) و (پ)
- شکل ۲۳-۳: تصاویر FESEM با مقیاس‌های به ترتیب  $5\text{ }\mu\text{m}$  و  $50\text{ }\mu\text{m}$  و ۱ نمونه‌های (الف) و (ب) ۷۰ ..... SnM۵۰ و SnM۲۵
- شکل ۲۴-۳: طیف‌های (الف) عبوری و (ب) بازتابی برای نمونه‌های اکسید مولیبدن با آلایش قلع. ۷۱ ..... ۱
- شکل ۲۵-۳: نمودار ضریب جذب نمونه‌های اکسید مولیبدن با درصد آلایش متفاوت قلع. ۷۱ ..... ۱
- شکل ۲۶-۳: نمودار  $\alpha h\nu^2$ ) بر حسب  $h\nu$  برای نمونه‌های اکسید مولیبدن با آلایش قلع با نسبت‌های مولی  $[\text{Sn}]/[\text{Mo}]$  (الف) ۰/۰ و (ب) ۰/۱۵ و (ج) ۰/۲۵ و (د) ۰/۵۰ و (ه) ۰/۱۰ ..... ۷۲
- شکل ۲۷-۳: الگوی پراش پرتو X برای نمونه‌ها  $\text{MoO}_3$  تهیه شده به روش هیدروترمال با طی زمان‌های ۱۲، ۱۸ و ۲۴ ساعت. ۷۴ ..... ۱
- شکل ۲۸-۳: تصاویر FESEM مربوط به (الف) لایه بذری و (ب)، (ج) و (د) نمونه‌های تهیه شده به روش هیدروترمال با مدت زمان‌های به ترتیب ۱۲، ۱۸ و ۲۴ ساعت. ۷۵ ..... ۱
- شکل ۲۹-۳: الگوی پراش اشعه X برای نمونه‌ها  $\text{MoO}_3$  تهیه شده به روش هیدروترمال با SDS (نمونه HS) و بدون SDS (نمونه HNS). ۷۷ ..... ۱

- شکل ۳۰-۳: تصاویر FESEM مربوط به (الف) لایه بذری، (ب) و (ج) نمونه‌های  $\text{MoO}_3$  تهیه شده به روش هیدروترمال به ترتیب با پایدارکننده SDS و بدون پایدارکننده SDS. ۷۸
- شکل ۳۱-۳: الگوی پراش پرتو X برای نمونه‌های با غلظت‌های مختلف لایه بذری تهیه شده به روش هیدروترمال. ۸۰
- شکل ۳۲-۳: تصاویر FESEM مربوط به نمونه‌های  $\text{MoO}_3$  تهیه شده به روش اسپری با غلظت-های (الف)  $0.05\text{M}$  و (ب)  $0.1\text{M}$  استفاده شده به عنوان لایه بذری در روش هیدروترمال. ۸۱
- شکل ۳۳-۳: تصاویر FESEM مربوط به نمونه‌های  $\text{MoO}_3$  تهیه شده به روش هیدروترمال بر روی لایه‌های بذری با غلظت‌های (الف) ۰ (شیشه) (نمونه HM۰)، (ب)  $0.05\text{M}$  (نمونه HM۵) و (ج)  $0.1\text{M}$  (نمونه HM۱۰). ۸۲
- شکل ۳۴-۳: الگوی پراش پرتو X برای نمونه‌ها با حجم‌های محلول مختلف لایه بذری تهیه شده به روش هیدروترمال. ۸۴
- شکل ۳۵-۳: تصاویر FESEM (الف) و (ب) مربوط به لایه‌های بذری با حجم محلول به ترتیب  $50\text{ mL}$  و  $75\text{ mL}$  (ج) و (د) نمونه‌های  $\text{MoO}_3$  تهیه شده به روش هیدروترمال بر روی لایه بذری به ترتیب با حجم محلول  $50\text{ mL}$  (نمونه HV۵) و  $75\text{ mL}$  (نمونه HV۷۵). ۸۵

## فهرست جداول

جدول ۱-۱: مقادیر گاف نواری و درصد عبور نور لایه‌های نازک MoO <sub>3</sub>	۱۱
جدول ۳-۱: اندازه بلورک، کرنش، چگالی در رفتگی به دست آمده برای نمونه‌ها با دمای زیرلایه ۴۸	۴۵۰ °C و ۴۰۰، ۳۵۰، ۳۰۰، ۲۵۰
جدول ۳-۲: اندازه بلورک، کرنش و چگالی در رفتگی به دست آمده برای نمونه‌ها با غلظت‌های ۵۴	۰/۰۱، ۰/۰۵ و ۰/۰۲ M
جدول ۳-۳: اندازه بلورک، کرنش، چگالی در رفتگی به دست آمده برای نمونه‌ها آهنگ لایه‌نشانی ۵	۲۰ mL/min
جدول ۴-۳: اندازه بلورک، کرنش، چگالی در رفتگی به دست آمده برای نمونه‌ها با با حجم محلول محلول ۶۳	۵۰ و ۷۵ mL
جدول ۵-۳: اندازه بلورک، کرنش و چگالی در رفتگی به دست آمده برای نمونه‌ها با درصد آلایش متفاوت ۶۸	Sn
جدول ۶-۳: اندازه بلورک، کرنش، چگالی در رفتگی به دست آمده برای نمونه‌های HT12، HT24 و HT18	۷۴
جدول ۷-۳: اندازه بلورک، کرنش، چگالی در رفتگی به دست آمده برای نمونه‌های با SDS (نمونه HS) و بدون SDS (نمونه HNS)	۷۷
جدول ۸-۳: اندازه بلورک، کرنش و چگالی در رفتگی به دست آمده برای نمونه‌ها با غلظت‌های مختلف لایه بذری ۸۰	
جدول ۹-۳: اندازه بلورک، کرنش و چگالی در رفتگی به دست آمده برای نمونه‌ها با حجم محلول‌های مختلف لایه بذری ۸۴	

# **فصل اول:**

**کلیات و مروری بر مقالات**

## ۱-۱ مقدمه

علم لایه‌های نازک یکی از قدیمی‌ترین هنرها و در عین حال یکی از جدیدترین علوم پایه می‌باشد. تاریخچه استفاده از لایه نازک به عهد باستان برمی‌گردد. طلاکاری و اکلیل زدن نمونه‌های بارزی از این هنرهاست. اولین لایه‌های نازک امروزی در حدود سال ۱۸۳۸ میلادی به روش الکترولیز به دست آمده است. امروزه تکنولوژی ساخت لایه‌های نازک بسیار گسترده شده و در حال حاضر ساخت لایه‌های نازک با فناوری نانو هم‌سو شده است.

## ۲-۱ تعریف لایه نازک

لایه نازک به پوششی از ماده بر روی یک سطح یا ماده دیگر گفته می‌شود که می‌تواند سبب ایجاد خواص مکانیکی، الکتریکی و نوری جدیدی شود و در حالت کلی نه خصوصیات ماده تشکیل دهنده لایه را دارد و نه خصوصیات سطحی که لایه بر روی آن انباشت شده است و ضخامتی کمتر از میکرومتر دارد.

اگر لایه‌ها دارای خواصی نظیر پایداری شیمیایی در محیط مورد استفاده، چسبندگی خوب لایه به زیرلایه، ضخامت یکنواخت و چگالی ناکاملی‌های بلوری پایین باشند برای کاربردهای مختلف مفید خواهند بود [۱].

## ۳-۱ مولیبدن و اکسید مولیبدن

مولیبدن عنصری با عدد اتمی ۴۲ و نماد Mo در گروه VIB و دوره پنجم جدول تناوبی قرار دارد و دارای جرم اتمی ۹۵/۹۴ gr و ظرفیت‌های ۶، ۵، ۴، ۳، ۲ و هفت ایزوتوپ پایدار است. مولیبدن فلزی خاکستری یا گرد سیاه است که به صورت آزاد در طبیعت یافت نمی‌شود. کانی‌های آن به

صورت مولیبدنیت ( $\text{MoS}_2$ ) در طبیعت یافت می‌شود. مولیبدن در آب نامحلول است و نقطه ذوب و جوش آن به ترتیب  $5560^{\circ}\text{C}$  و  $2610^{\circ}\text{C}$  است. از کاربردهای مولیبدن می‌توان به عامل آلیاژ کننده در فولاد و چدن برای افزایش استحکام و مقاومت آن‌ها، رنگ‌ها و سرامیک‌ها، کاتالیزور، قسمت‌هایی از موشک و هواپیما، راکتورها، پره‌های توربین و باتری‌های لیتیومی نام برد. اکسید مولیبدن دارای نماد  $\text{MoO}_3$  است و شکل ظاهری این ترکیب، جامد زرد یا آبی روشن است [۲].

#### ۴-۱ معرفی اکسید مولیبدن

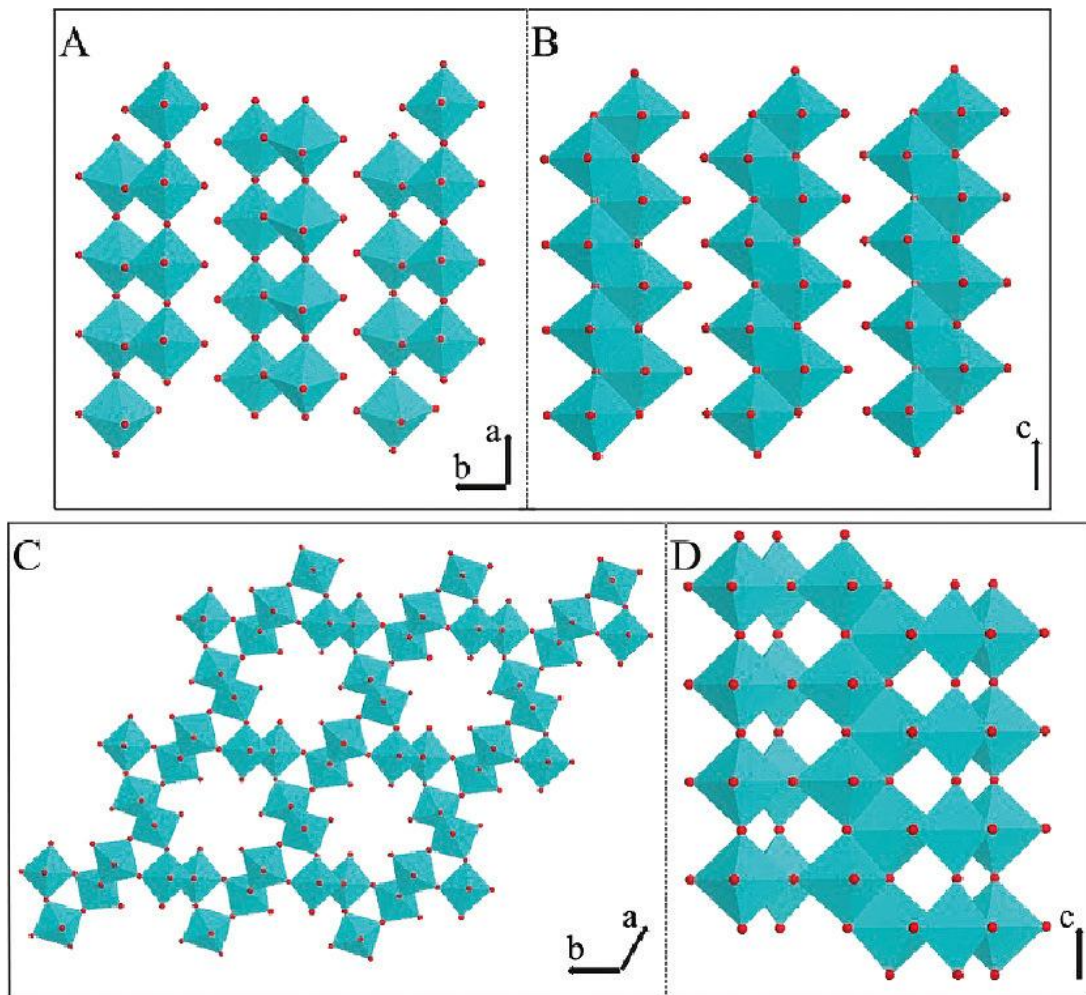
اکسید مولیبدن ( $\text{MoO}_3$ ) در دو فاز مختلف می‌تواند تشکیل شود: فاز آلفا ( $\alpha\text{-MoO}_3$ ) که دارای ساختار راست گوشه<sup>۱</sup> است و فاز ( $\beta\text{-MoO}_3$ ) که دارای ساختار تک میلی<sup>۲</sup> است. این دو فاز دارای تفاوت‌های فیزیکی و شیمیایی بسیاری از جمله ضربی شکست، گاف نواری و سختی مکانیکی هستند. به تازگی نشان داده شده است که فاز ( $\alpha\text{-MoO}_3$ ) از سه لایه بزرگ (در حد چند میکرومتر) تشکیل شده است که این لایه‌ها از لایه‌های ثانویه‌ای با ضخامتی در حدود چند ده نانومتر بوجود آمدند. همچنین این لایه‌های ثانویه از چندین لایه دوگانه (با ضخامت تقریبی هر لایه  $1/4 \text{ nm}$ ) متصل به هم تشکیل شده‌اند و سبب تغییر شکل هشت ضلعی  $\text{MoO}_6$  در ساختار راست گوشه می‌شوند. شکل ۱-۱ (A) و (B) هر یک از لایه‌های دوگانه، از اشتراک یال‌های زیگزاگی در ردیف‌هایی در راستای صفحه [۱۰۰] و اشتراک نقاط گوشه در ردیف‌هایی در راستای صفحه [۰۰۱] تشکیل می‌شود، را نشان می‌دهد. لایه‌های همسایه در راستای [۰۰۱] به وسیله نیروی‌های ضعیف واندروالس<sup>۳</sup> برای تشکیل ساختار لایه‌ای به هم وصل می‌شوند. در هشت ضلعی  $\text{MoO}_6$  که ساختار  $\beta\text{-MoO}_3$  را شکل می‌دهد ردیف‌های زیگزاگی در راستای [۰۰۱] وجود ندارد و لایه‌های دوگانه‌ای مانند فاز  $\alpha\text{-MoO}_3$  شکل نمی‌گیرد (شکل ۱-۱ (C) و (D)). نیروی واندروالسی وجود ندارد زیرا هشت ضلعی‌های

<sup>1</sup> orthorhombic

<sup>2</sup> monoclinic

<sup>3</sup> van der waals

$\text{MoO}_6$  گوشه‌ها را در سه بعد برای تشکیل ساختار تک میلی به اشتراک می‌گذارند. علاوه بر این دو ساختار متدائل، ساختار ممکن دیگری برای  $\text{MoO}_3$  در فاز شش گوشی<sup>۱</sup> (h- $\text{MoO}_3$ ) وجود دارد.[۴۳]



شکل ۱-۱: نمایش ساختار بلوری: (A) و (B) راست گوشه  $\alpha\text{-}\text{MoO}_3$  و (C) و (D) شش گوشی<sup>۱</sup> h- $\text{MoO}_3$ .

## ۱-۵ کاربردهای اکسید مولیبدن

لایه‌های نازک را بیشتر بر اساس خواصی که دارند دسته‌بندی می‌کنند. این لایه‌ها خواص مکانیکی، الکتریکی، مغناطیسی و نوری مختلفی از خود نشان می‌دهند. در سال‌های اخیر اکسیدهای

1 hexagonal

فلزی به دلیل خواص فیزیکی و شیمیایی توجه اکثر محققان را به خود جلب کرده‌اند. خواص ساختاری و الکتریکی قابل توجه این مواد سبب کاربردهای متعدد آن‌ها در تکنولوژی‌های گوناگون شده است. در بین اکسیدهای فلزی، اکسید مولیبدن ( $\text{MoO}_3$ ) نیز به خاطر خواص ساختاری، شیمیایی، الکتریکی و نوری جالب مورد توجه قرار دارد. این ماده دارای ویژگی‌های برجسته‌ای مانند فعالیت الکتروشیمیایی بالا، پایداری بالا و چگالی انرژی بالا می‌باشد که سبب می‌شود گزینه خوبی برای کاربردهای حسگری گاز، کاتالیزوری، الکتروکرومیک و سلول‌های خورشیدی باشد.<sup>[۵-۸]</sup>

در ادامه به مروری بر مقالات معتبر مرتبط با خواص مختلف اکسید مولیبدن تهیه شده به روش‌های مختلف مخصوصاً اسپری پایرولیزیز و هیدرورترمال پرداخته شده است.

## ۱-۶ مرور مقالات در مورد لایه‌های نازک $\text{MoO}_3$ تهیه شده به روش اسپری پایرولیزیز

### ۱-۶-۱ بررسی اثر دمای زیر لایه

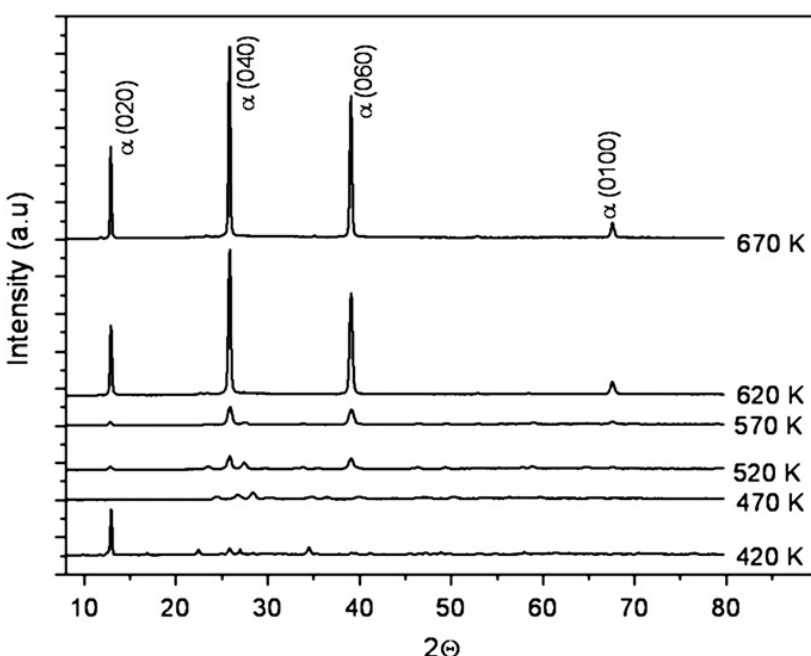
لایه‌های نازک اکسید مولیبدن توسط گروه مارتینز<sup>۱</sup> و همکاران به روش اسپری پایرولیزیز در دماهای زیرلایه بین  $420-670\text{ K}$  تهیه شدند.<sup>[۹]</sup> این لایه‌ها با استفاده از محلول  $\text{M}/1\text{ آمونیوم هپتا مولیبدات تتراهیدرات} (\text{NH}_4)_6\text{Mo}_7\text{O}_{24}\cdot 4\text{H}_2\text{O})$  به عنوان محلول اولیه جهت اسپری آماده شدند، و سپس خواص مختلف آن‌ها مورد بررسی قرار گرفت.

شکل ۲-۱ الگوهای پراش پرتو X را برای نمونه‌های مختلف نشان می‌دهد. در این شکل  $\text{MoO}_3$  دارای دو شکل بلوری متفاوت است. فاز پایدار  $\alpha\text{-}\text{MoO}_3$  دارای ساختار راست گوش است و فاز شبی پایدار  $\beta\text{-}\text{MoO}_3$  دارای ساختار تک میلی است. نمودار XRD وجود هر دو فاز در نمونه‌ها را نشان می‌دهد و همچنین با افزایش دمای زیرلایه از  $420-670\text{ K}$  درصد فاز پایدار  $\alpha\text{-}\text{MoO}_3$  افزایش می‌یابد.

1 Martinez

همچنین نتایج نشان می‌دهد که اندازه بلورک با افزایش دما از K ۴۲۰ تا ۶۷۰ nm از ۱۵ nm تا ۱۱۰ nm افزایش می‌یابد.

شکل ۱-۳ تصاویر SEM نمونه‌ها را نشان می‌دهد. با مشاهده تصاویر ملاحظه می‌شود که نمونه با دمای زیرلایه K ۵۷۰ به صورت اسفنجی رشد پیدا کرده‌اند، و سایر نمونه‌ها دارای تخلخل‌هایی با قطر سطح مقطع بین ۱۰۰ nm تا ۱۰۰  $\mu\text{m}$  هستند. همچنین وجود ساختارهایی در حد ۱۰۰ nm در داخل حفره‌ها مشاهده می‌شود.



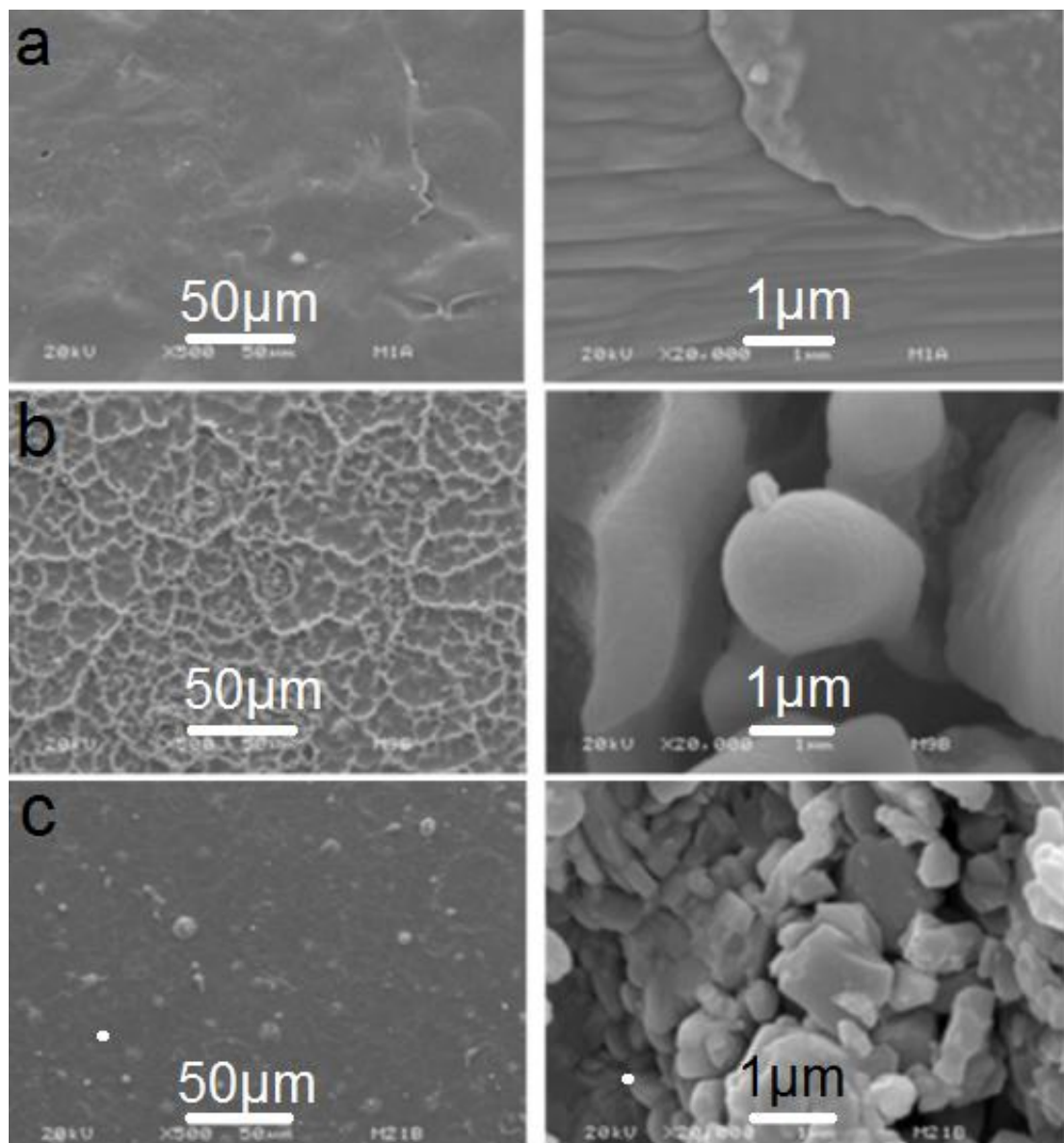
شکل ۱-۳: الگوهای XRD لایه‌های نازک  $\text{MoO}_3$  در دمای زیرلایه متفاوت [۹].

## ۲-۶-۱ بررسی اثر حجم محلول

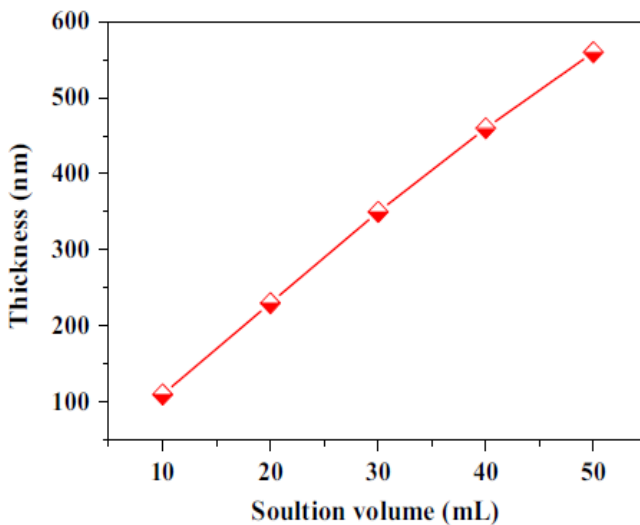
لایه‌های نازک اکسید مولیبدن توسط گروه کنان<sup>۱</sup> و همکاران به روش اسپری پایرولیزیز تهیه شد [۱۰]. در این پژوهه لایه‌های نازک اکسید مولیبدن از محلول ۱M از  $(\text{NH}_4)_6\text{Mo}_7\text{O}_{24} \cdot 4\text{H}_2\text{O}$  به عنوان محلول اولیه بر روی زیرلایه‌های شیشه در دمای زیرلایه  $250^\circ\text{C}$  تهیه و مورد مشخصه‌یابی

<sup>1</sup> Kannan

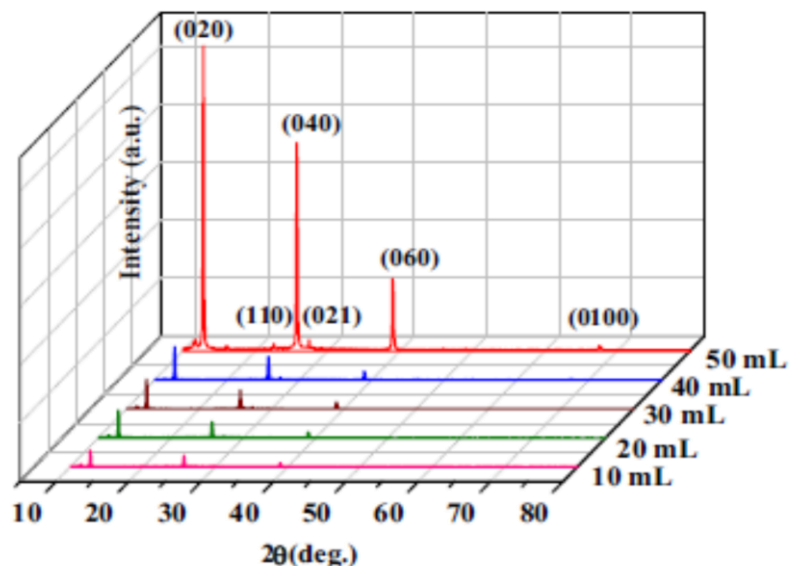
قرار گرفت. لایه‌ها در حجم محلول اولیه بین ۱۰-۵۰ mL سنتز شده‌اند که در ادامه به بررسی خواص فیزیکی آن‌ها پرداخته شده است. ضخامت لایه‌ها با افزایش حجم محلول از ۱۰ mL تا ۵۰ mL از ۱۲۴ nm تا ۵۸۰ nm افزایش می‌یابد. شکل ۱-۱ نمودار ضخامت لایه‌ها بر حسب حجم محلول اولیه را نشان می‌دهد.



شکل ۱-۱: تصاویر SEM نمونه‌ها تهیه شده در دمای زیرلایه (a) ۵۲۰ K، (b) ۴۲۰ K و (c) ۶۷۰ K.



شکل ۱-۴: تغییرات ضخامت نمونه‌ها بر حسب حجم محلول [۱۰].



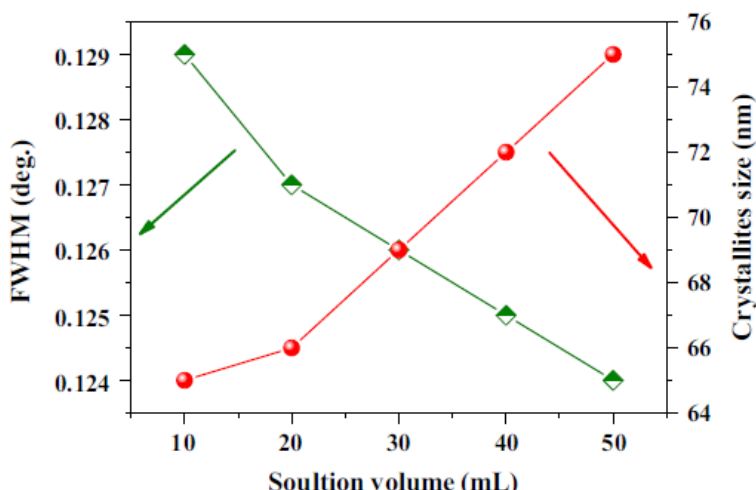
شکل ۱-۵: الگوهای XRD نمونه‌های  $\text{MoO}_3$  برای حجم‌های مختلف [۱۰].

شکل ۱-۵ الگوهای پراش پرتو X را برای نمونه‌های مختلف نشان می‌دهد. قلهای بازتابی قوی در راستای صفحه ( $k=0, k=40, k=60$ ) است که نشان‌دهنده یک ساختار لایه‌ای است. تمام نمونه‌های ساختار راست گوشه هستند و هیچ قله ناشی از آلایش یا ساختارهای دیگر مشاهده نمی‌شود. با افزایش حجم محلول یک جابه‌جایی کوچک در قلهای قوی مشاهده می‌شود ولی در جهت‌گیری بلوری تأثیرگذار نیست. به وضوح دیده می‌شود که حجم محلول اولیه مستقل از جهت‌گیری بلور است.

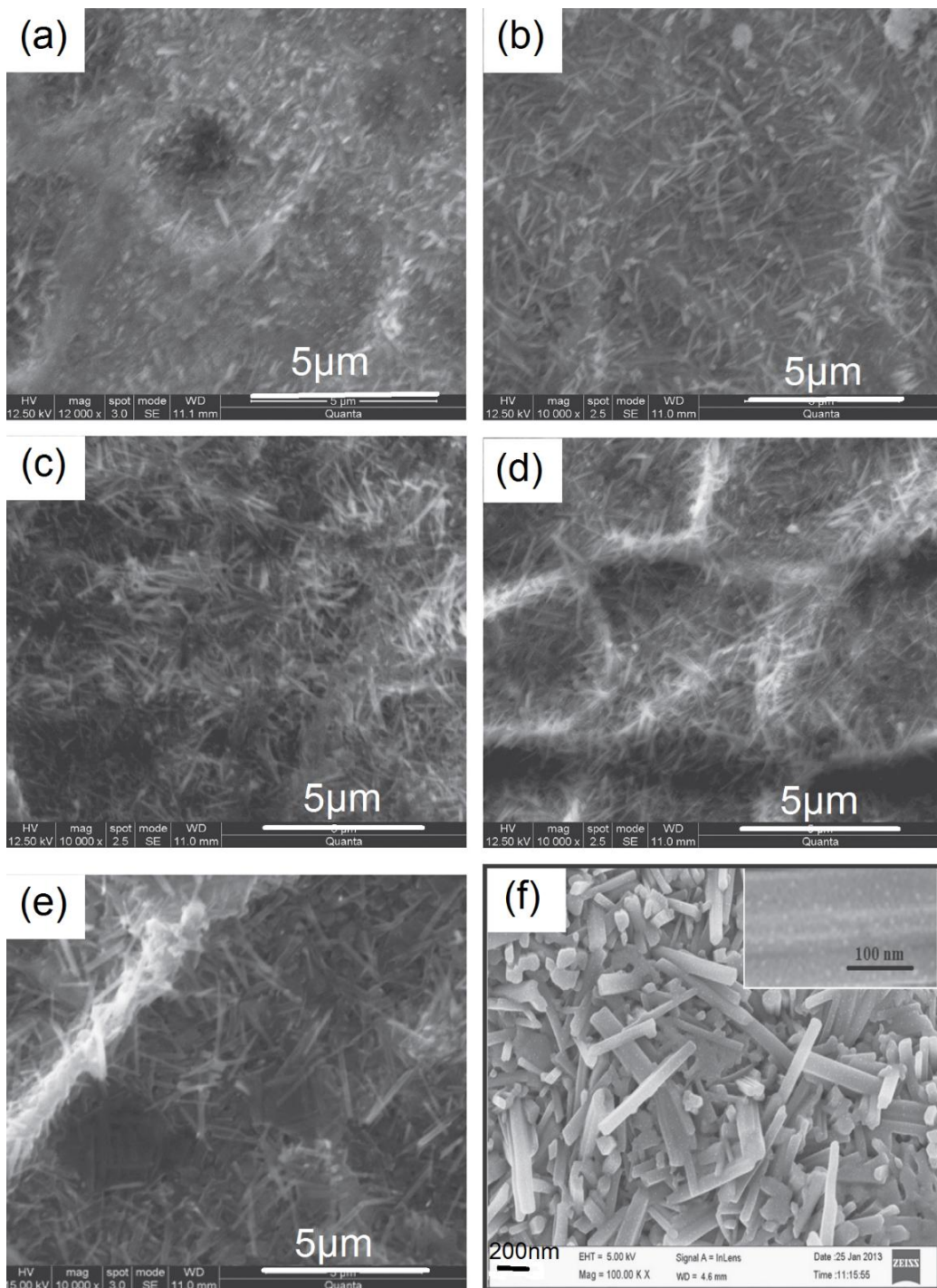
همچنین اندازه بلورک در راستای قله (۰۲۰) محاسبه شده است. مشاهده می‌شود با افزایش حجم محلول اندازه بلورک‌ها افزایش می‌یابد زیرا با افزایش حجم محلول مقدار ماده حل شده بیشتری روی فیلم می‌نشینند. مقادیر اندازه بلورک و نیم‌پهنه‌ای قله (FWHM) بر حسب حجم محلول در شکل ۶-۱ نشان داده شده است.

تصاویر SEM نمونه‌ها در شکل ۷-۱ (a-e) نشان داده شده است. تصاویر نشان می‌دهد نانوبلورهای مستطیلی شکلی به سمت سطح نمونه رشد کرده‌اند و همچنین شکل ۷-۱ (f) تصویر FESEM برای نمونه با حجم محلول اولیه mL ۵۰ را نشان می‌دهد که می‌توان ساختار لایه با لایه نمونه‌ها را از آن نتیجه گرفت.

رنگ ظاهری  $\text{MoO}_3$  لایه نشانی شده به روش اسپری متمایل به آبی دیده شد. خواص نوری نمونه‌ها در بازه طول موج nm ۱۱۰۰-۳۰۰۰ اندازه‌گیری شد. طیف عبوری و جذبی نمونه‌ها در شکل ۸-۱ نشان داده شده است. با توجه به شکل ملاحظه می‌شود هر چه ضخامت لایه نازک افزایش می‌یابد میزان جذب نوری افزایش می‌یابد. با توجه به طیف عبوری مشاهده می‌شود با افزایش حجم محلول شفافیت از ۴۱٪ درصد به ۹٪ کاهش می‌یابد، که می‌توان این کاهش را به ماهیت بس‌بلوری و افزایش ناهمواری‌های سطح نسبت داد.



شکل ۶-۱: مقادیر اندازه بلورک‌ها و نیم‌پهنا قله در راستای صفحه (۰۲۰) [۱۰].



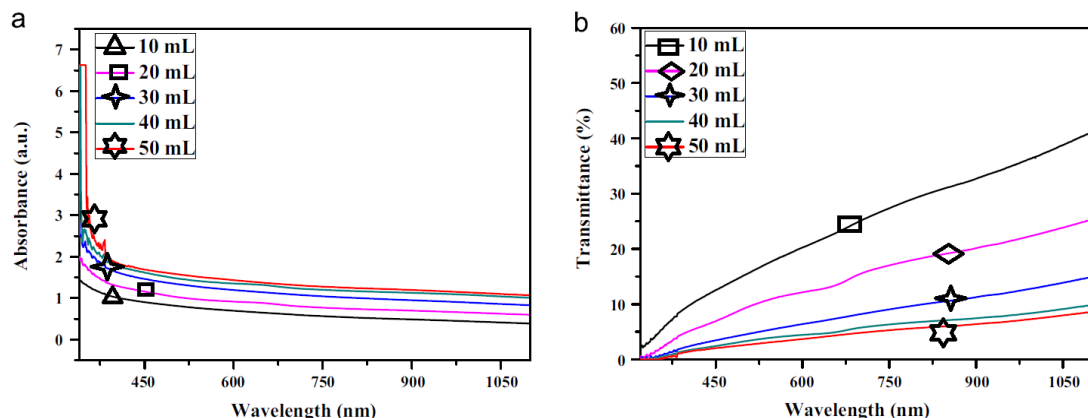
شکل ۱-۷: تصاویر SEM برای لایه‌ها با حجم محلول اولیه (a) ۱۰ mL (b) ۲۰ mL (c) ۳۰ mL (d) ۴۰ mL (e) ۵۰ mL و تصویر FESEM برای نمونه با حجم محلول ۵۰ mL [۱۰].

گاف نواری اپتیکی نمونه‌ها با برونشیابی ناحیه خطی در نمودار  $(\alpha h\nu)^2$  (بر حسب انرژی فوتون)

فروندی به دست می‌آید. گاف نواری نمونه‌ها با افزایش حجم محلول از ۱۰ mL تا ۵۰ mL کاهش

می‌باید که در جدول ۱-۱ آورده شده است. کاهش گاف نواری ناشی از افزایش اندازه بلورکها می‌باشد.

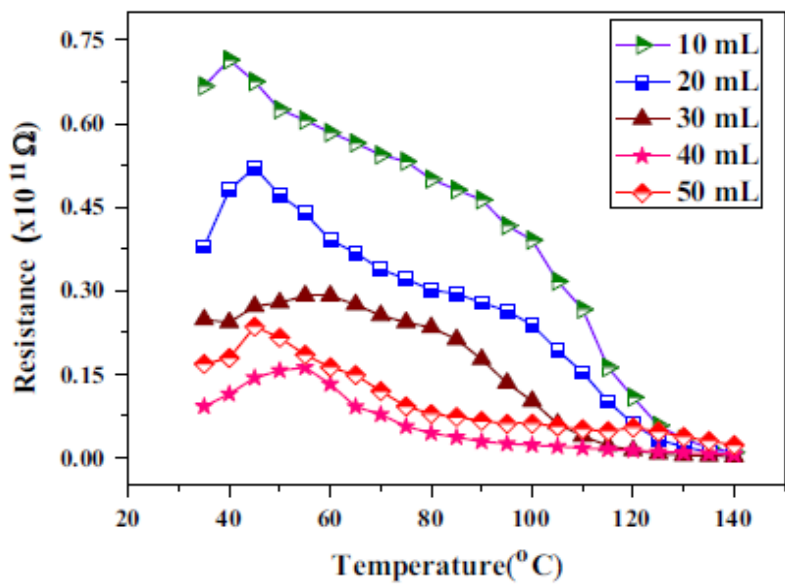
مقاومت الکتریکی سطح لایه‌های نازک در بازه دمایی  $35 - 140^{\circ}\text{C}$  با روش اندازه‌گیری کاوه چهارسوزنی مورد مطالعه قرار گرفت، و نتایج در شکل ۹-۱ نشان داده شده است. با توجه به شکل افزایش مقاومت الکتریکی برای همهٔ نمونه‌ها تا حدود دمای  $50^{\circ}\text{C}$  مشاهده می‌شود که ناشی از پراکندگی حامل‌های بار موجود در لایه‌های نازک است. هرچند برانگیختگی گرمایی حامل‌ها بالاتر از دمای  $50^{\circ}\text{C}$  اتفاق می‌افتد و منجر به کاهش مقاومت الکتریکی لایه‌ها می‌شود. همچنین این نشان می‌دهد که نانوساختارهای  $\text{MoO}_3$  یک گذار از رسانا به ماهیت نیمرسانایی با گاف نواری پهن و مقاومت الکتریکی از مرتبه  $\Omega^{11}$  انجام می‌دهند.



شکل ۹-۱: طیف‌های (a) جذبی (b) عبوری نوری برای لایه‌های نازک اکسید مولیبدن [۱۰].

جدول ۱-۱: مقادیر گاف نواری و درصد عبور نور لایه‌های نازک  $\text{MoO}_3$  [۱۰].

حجم محلول	درصد عبور نور (%)	گاف نواری (eV)
۱۰	۴۱	۳/۳۸
۲۰	۲۵	۳/۳۵
۳۰	۱۵	۳/۲۳
۴۰	۱۰	۳/۱۱
۵۰	۹	۳/۰۳



شکل ۹-۱: منحنی مقاومت الکتریکی نمونه‌ها بر حسب تابعی از دما [۱۰].

### ۳-۶-۱ بررسی دمای بازپخت

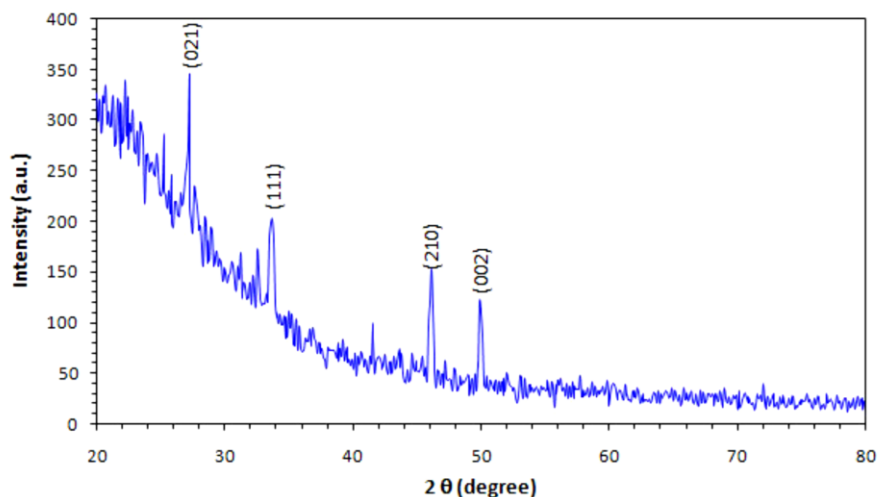
آهایر<sup>۱</sup> و همکاران لایه نازک اکسید مولیبden را به روش اسپری پایرولیزیز لایه نشانی کردند[۱۱]. برای تهیه محلول اولیه آن‌ها ابتدا پودر اکسید مولیبden را در محلول آمونیاک به طور جداگانه حل کردند تا آمونیوم مولیبدات تشکیل شود. سپس این محلول روی زیر لایه شیشه در دمای ۳۵۰ °C لایه نشانی شد. و در آخر، لایه‌ها در دما ۵۵۰ °C به مدت ۳۰ min در هوا مورد بازپخت و مشخصه یابی قرار گرفتند.

شکل ۱۰-۱ الگوی پراش پرتو X نمونه را نشان می‌دهد. ملاحظه می‌شود الگوی پراش نمونه با کارت‌های استاندارد مطابقت دارد. همچنین اندازه بلورک‌ها برای قله‌های اصلی با استفاده از رابطه شر محاسبه شد و مقدار ۱۲۴ nm به دست آمد.

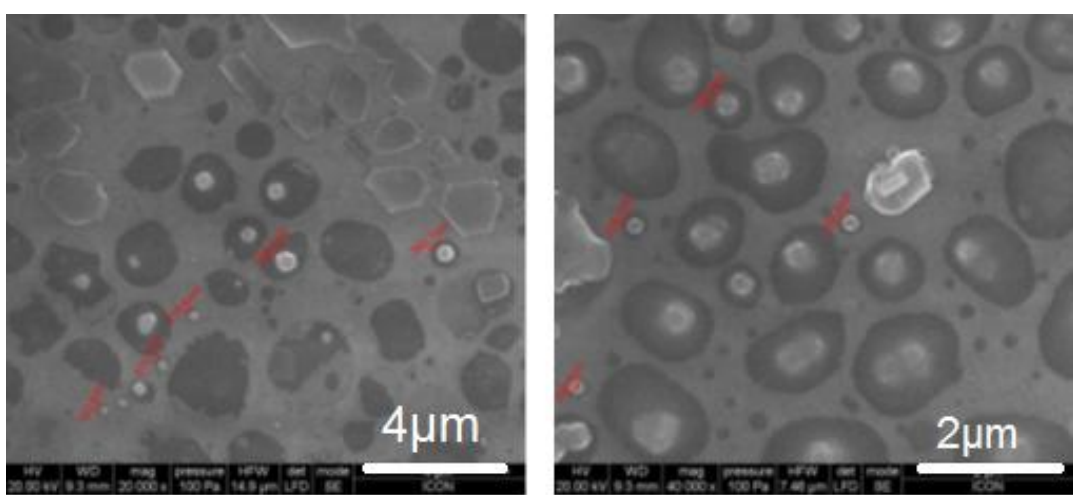
ریخت شناسی سطح نمونه‌ها توسط تصاویر SEM مشخص شده در شکل ۱۱-۱، مورد ارزیابی قرار گرفت، با توجه به شکل مشاهده می‌شود زیرلایه به خوبی توسط ذرات ششگوشی و کروی

پوشیده شده است. همچنین مشاهده شد در برخی نقاط رسوبی از محلول اولیه بر روی زیرلایه قرار گرفته است که می‌تواند به خاطر عدم بھینه‌سازی آهنگ اسپری باشد.

طیف جذبی نور نمونه در دمای اتاق و بازه طول موج  $1100-290\text{ nm}$  ثبت شده است (شکل ۱۲-۱). لبه تیز طیف نشان‌دهنده وجود یک فاز در شکل‌گیری ساختار است. مقدار گاف نواری نمونه با استفاده از طیف جذبی محاسبه شد که گافی پهن محسوب می‌شود.



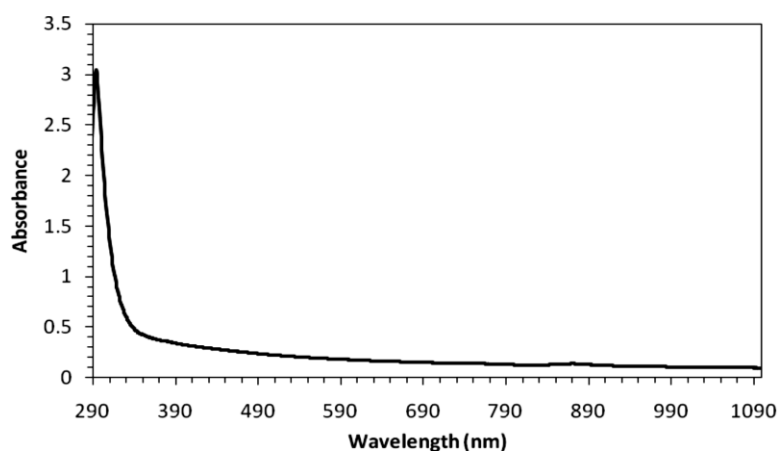
شکل ۱۰-۱: الگو XRD لایه نازک اکسید مولیبدن تهیه شده به روش اسپری [۱۱].



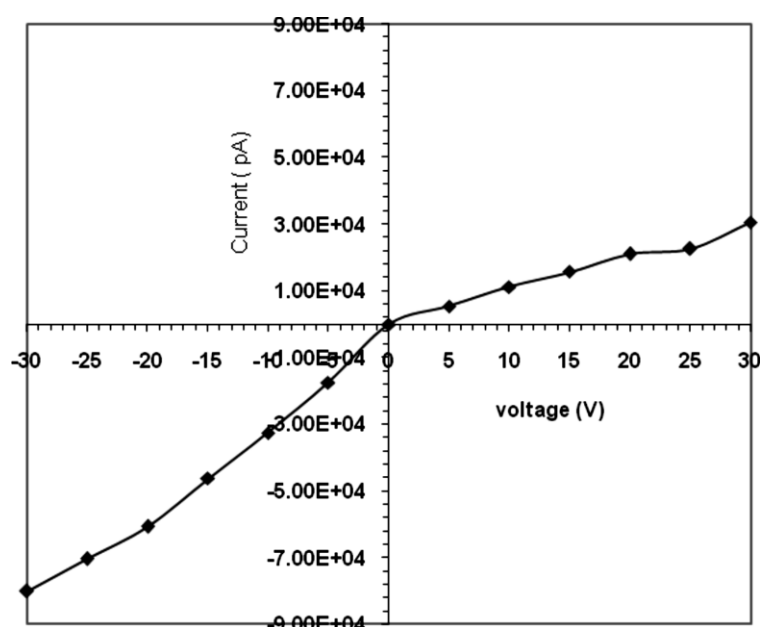
شکل ۱۱-۱: تصاویر SEM لایه نازک اکسید مولیبدن [۱۱].

شکل ۱۳-۱ نمودار I-V نمونه اکسید مولیبدن اندازه‌گیری شده در دمای اتاق را نشان می‌دهد.

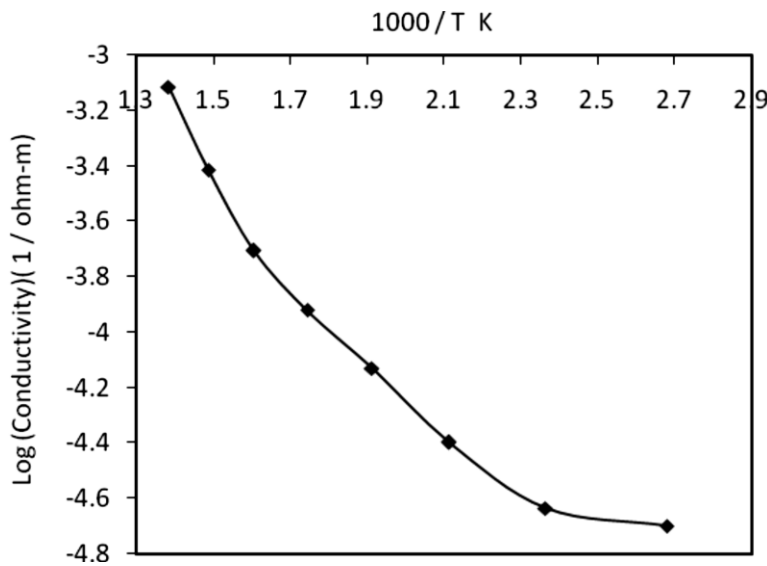
با توجه به شکل، ماهیت تقارنی نمودار نشان‌دهنده رفتار اهمی اتصال‌ها است. همچنین شکل ۱۴-۱ نمودار تغییرات رسانندگی بر حسب دما را نشان می‌دهد، ملاحظه می‌شود با افزایش دما رسانندگی نیز افزایش می‌یابد که نشان‌دهنده ضریب گرمایی مقاومت، منفی است. این رفتار ماهیت نیمرسانایی را نمایش می‌دهد.



شکل ۱۲-۱: طیف جذبی لایه نازک اکسید مولیبدن [۱۱].



شکل ۱۳-۱: نمودار I-V نمونه [۱۱].



شکل ۱۴-۱: نمودار تغییرات رسانندگی بر حسب دما [۱۱].

## ۷-۱ تهیه پودر $\text{MoO}_3$ به روش هیدروترمال

ژیانژونگ زنگ<sup>۱</sup> و همکاران نانونووارهای  $\text{MoO}_3$  را به روش هیدروترمال تهیه کردند [۱۲]. آن‌ها برای تهیه نانونووارها از مواد اولیه مولیبدیک اسید ( $\text{MoO}_3 \cdot \text{H}_2\text{O}$ ) و اگزالیک اسید ( $\text{C}_2\text{H}_2\text{O}_4$ ) به عنوان حلول و مقدار کمی  $\text{HNO}_3$  استفاده کردند. آن‌ها ابتدا  $50 \text{ mmol}$  از اگزالیک اسید را در  $50 \text{ mL}$  آب دیونیزه حل کردند و سپس  $25 \text{ mmol}$  مولیبدیک اسید به آن اضافه کردند تا سوسپانسیونی سفید رنگ تشکیل شود. سوسپانسیون را در دمای اتاق و به مدت یک شبانه روز روی همزن قرار دادند. محلول به‌دست آمده را تا حجم  $250 \text{ mL}$  رقیق نموده و سپس  $60 \text{ mL}$  از این محلول را با  $3 \text{ mL}$  نیتریک اسید  $4 \text{ M}$  حل کردند. محلول به‌دست آمده را داخل اتوکلاو با شرایط دمایی  $180^\circ\text{C}$  به مدت  $24 \text{ h}$  قرار دادند. پودر سفید به‌دست آمده را به وسیله سانتریفیوژ جمع‌آوری کرده و در دمای  $80^\circ\text{C}$  به مدت  $12 \text{ h}$  تحت خلاً خشک کردند.

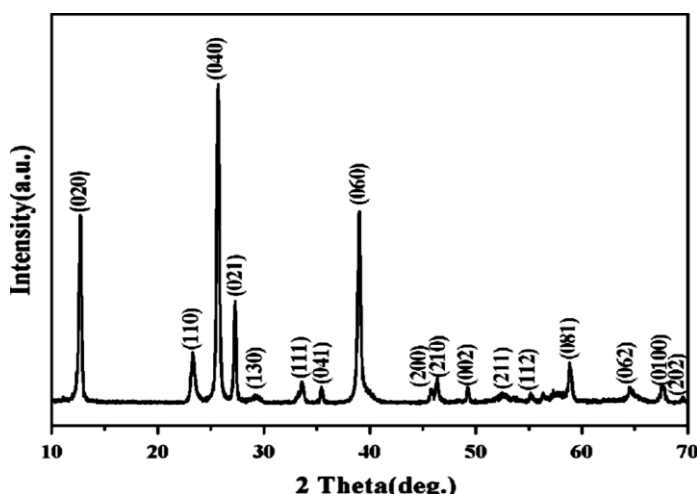
الگوی پراش پرتو X نمونه‌ها در شکل ۱۵-۱ نشان داده شده است. تمام قله‌های بازتاب شده

<sup>1</sup> Xianzhong Zeng

نشان‌دهنده فاز  $\alpha$ -MoO<sub>3</sub> با ساختار راست گوشه است. نبودن قله مربوط به سایر ساختارها وجود یک ساختار با خلوص بالا را نمایان می‌سازد. علاوه بر این شدت قله‌های قوی در راستاهای (۰۲۰)، (۰۴۰) و (۰۶۰) به تشکیل نانونوارهای MoO<sub>3</sub> به صورت ناهمسانگرد اشاره دارد.

FESEM ریخت‌شناسی و ساختار سطحی نمونه‌ها در شکل ۱۶-۱ نشان داده شده است. تصویر FESEM نمونه (شکل ۱۶-۱ a) بیانگر این است که نمونه به طور کامل از نانونوارها تشکیل شده است و ناحیه وسیعی از نانونوارها به صورت تصادفی دارای اتصال عرضی و اشتراک هستند. تصاویر TEM (شکل ۱۶-۱ b,c) یک نمای کلی از نانونوارها نشان می‌دهد، مشاهده می‌شود نانونوارها دارای عرضی در حدود ۳۰۰-۱۰۰ nm و طولی در حد میکرومتر هستند. تصویر HRTEM (شکل ۱۶-۱ d) یک نانونوار MoO<sub>3</sub> نشان می‌دهد که دو لبه موازی با فاصله‌های ۳۵/۰ nm و ۳۸/۰ nm که به ترتیب مربوط به صفحات (۱۰۰) و (۱۰۱) هستند.

یان وانگ<sup>۲</sup> و همکاران با هدف بررسی اثر بازپخت، نانو میله‌های  $\alpha$ -MoO<sub>3</sub> را با روش هیدرترمال تهیه کردند[۱۳]. در مقاله آن‌ها نانو میله‌ها با استفاده از مواد اولیه سدیم مولیبدات ۴۳ mL HCl و (Na<sub>2</sub>MoO<sub>4</sub>.4H<sub>2</sub>O) تهیه شدند. بدین ترتیب ابتدا ۱۰ mmol سدیم مولیبدات را در

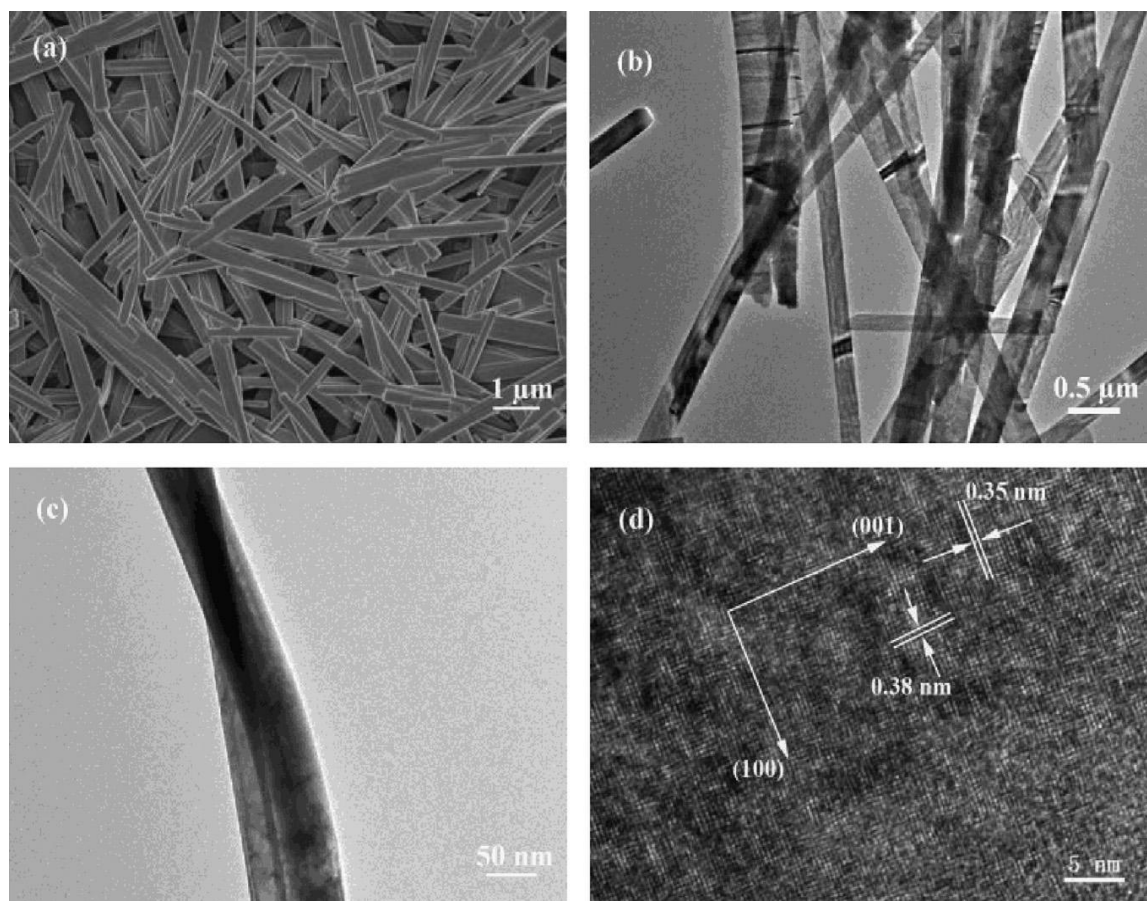


شکل ۱۵-۱: الگو XRD نانو نوارهای MoO<sub>3</sub> به روش هیدرоторمال [۱۲].

<sup>1</sup> High Resolution Transmission Electron Microscopy  
<sup>2</sup> Yan Wang

آب مقطر حل کرده و سپس ۲ mL هیدروکلریک اسید به صورت آهسته و قطره قطره به محلول قبلی اضافه شده و پیوسته محلول هم زده می‌شود، هنگامی که محلول زرد کم رنگی پدیدار شد آن را به حجم ۶۰ mL می‌رسانند. محلول به دست آمده در اتوکلاو در دمای  $120^{\circ}\text{C}$  و به مدت  $h$  ۱۸ قرار داده می‌شود. محصول به دست آمده از صافی عبور داده شده و با آب دیونیزه و اتانول شستشو داده می‌شود و در نهایت در دمای  $60^{\circ}\text{C}$  خشک می‌شود (نمونه ۱). بعد از خشک کردن در دمای  $500^{\circ}\text{C}$  به مدت ۲h تحت باز پخت قرار می‌گیرد (نمونه ۲).

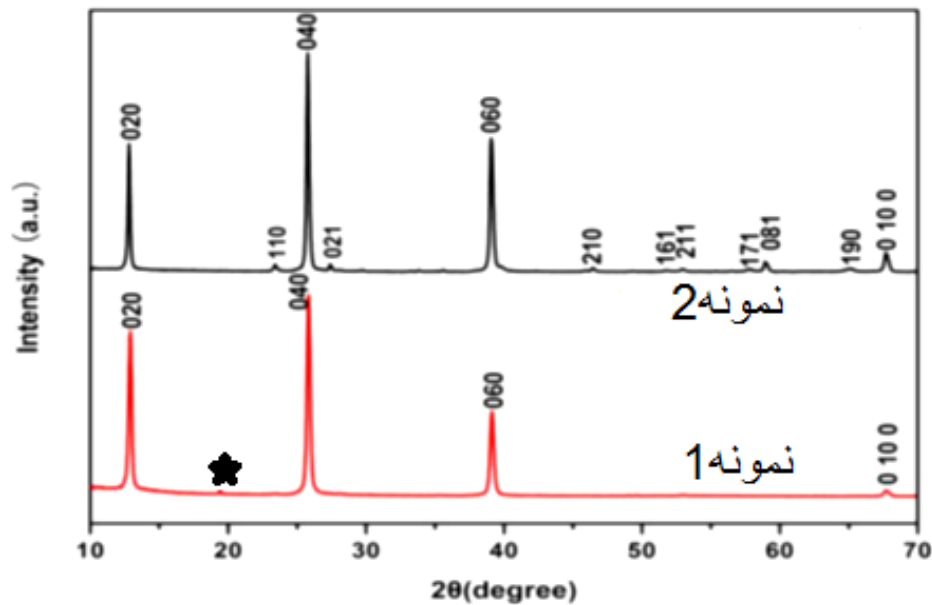
الگوی پراش پرتو X نمونه‌ها در شکل ۱۷-۱ نشان داده شده است. الگوی پایینی مربوط به نمونه قبل از بازپخت و الگوی بالایی در شکل مربوط به نمونه بعد از بازپخت است.



شکل ۱۶-۱ تصاویر HRTEM (d) و TEM (b,c ، FESEM (a) تهیه شده به روش هیدروترمال [۱۲].

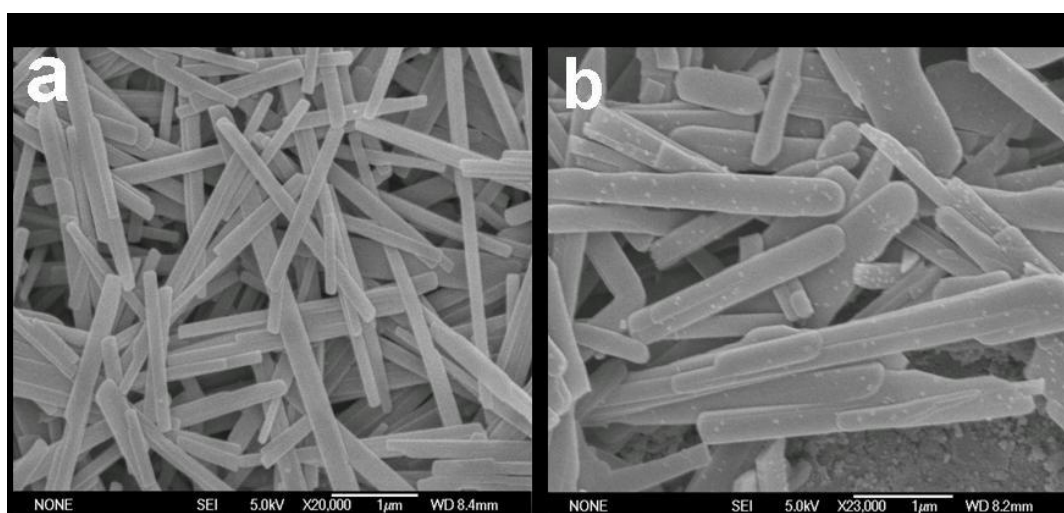
دو الگو تشکیل فاز  $\alpha$ -MoO<sub>3</sub> با ساختار بلوری راست گوشه را نشان می‌دهند. جهت گیری ارجح در جهت صفحه (۰۱۰) بیانگر این است که محصول به دست آمده دارای ساختار یک بعدی است. شدت قله‌های بازتابی در الگوی پراش نمونه قبل از بازپخت بیشتر اوج گرفته‌اند که نشان می‌دهد نانومیله‌های  $\alpha$ -MoO<sub>3</sub> پس از بازپخت کوچکتر می‌شوند. همچنین قبل از بازپخت یک قله ناخالصی در الگوی پراش (که با \* مشخص شده است) مشاهده می‌شود، این قله مربوط به ساختار H6Mo5.35O19.35 است (JCPDSCard No. 47-0872). این قله بعد از بازپخت از بین رفته است. ممکن است این قله به دلیل پیوندهای Mo-OH<sub>2</sub> باشد که در حین بازپخت شکسته شده‌اند.

تصاویر SEM نمونه قبل از بازپخت (شکل ۱۸-۱a) نانو میله‌هایی با شعاع تقریبی ۲۰۰ nm و طول ۳  $\mu$ m را نشان می‌دهد. همچنین پس از بازپخت (شکل ۱۸-۱b) نانومیله‌هایی با شعاع و طول ۱~۲  $\mu$ m مشاهده می‌شود، که اندازه آن‌ها نسبت به قبل از بازپخت به طور قابل ملاحظه‌ای کاهش یافته است.

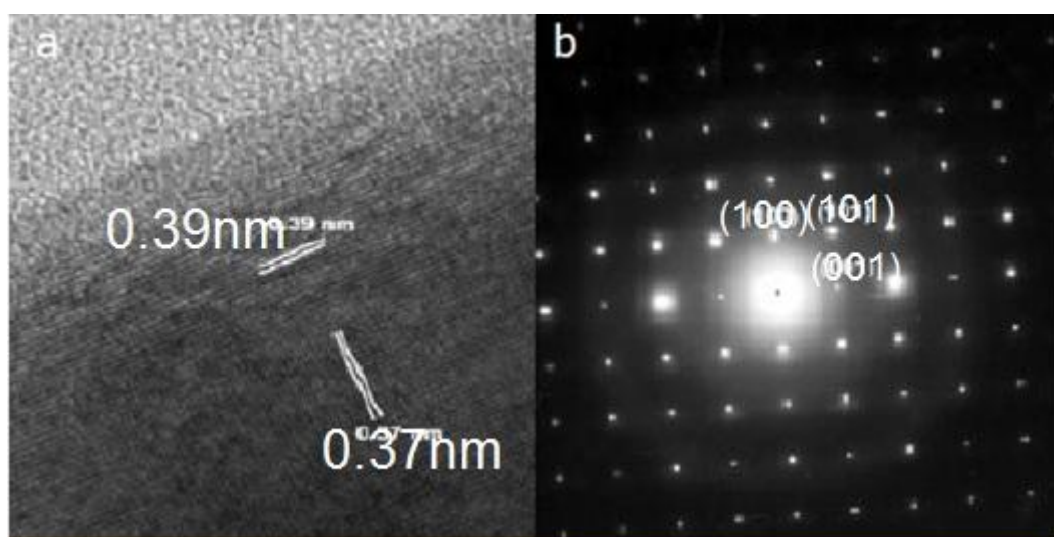


شکل ۱۷-۱: الگوی XRD نانومیله‌های MoO<sub>3</sub> [۱۳].

تصویر HRTEM و الگوی وابسته<sup>۱</sup> SAED از نانومیله‌ها به ترتیب در شکل ۱۹-۱ مشخص شده‌اند. فواصل بین شبکه  $\frac{0}{39}$  nm و  $\frac{0}{37}$  nm اندازه‌گیری شد که به ترتیب سازگار با فاصله بین صفحات (۱۰۰) و (۱۰۰) در ساختار  $\alpha\text{-MoO}_3$  است. الگوی SAED در راستای  $<0\bar{1}0>$  تایید کننده وجود یک ساختار بلوری برای نمونه‌ها می‌باشد.



شکل ۱۸-۱: تصاویر SEM مربوط به نانومیله‌های اکسید مولیبدن (a) نمونه ۱ و (b) نمونه ۲ [۱۳].



شکل ۱۹-۱: (a) تصویر HRTEM و (b) الگوی SAED نانومیله‌های  $\alpha\text{-MoO}_3$  [۱۳]

## ۱-۸-۱ بررسی خواص فیزیکی لایه‌های نازک $\text{MoO}_3$ آلایش یافته با مواد مختلف

### ۱-۸-۱-۱ تهیه و بررسی خواص لایه نازک $\text{MoO}_3$ با آلایش Nb

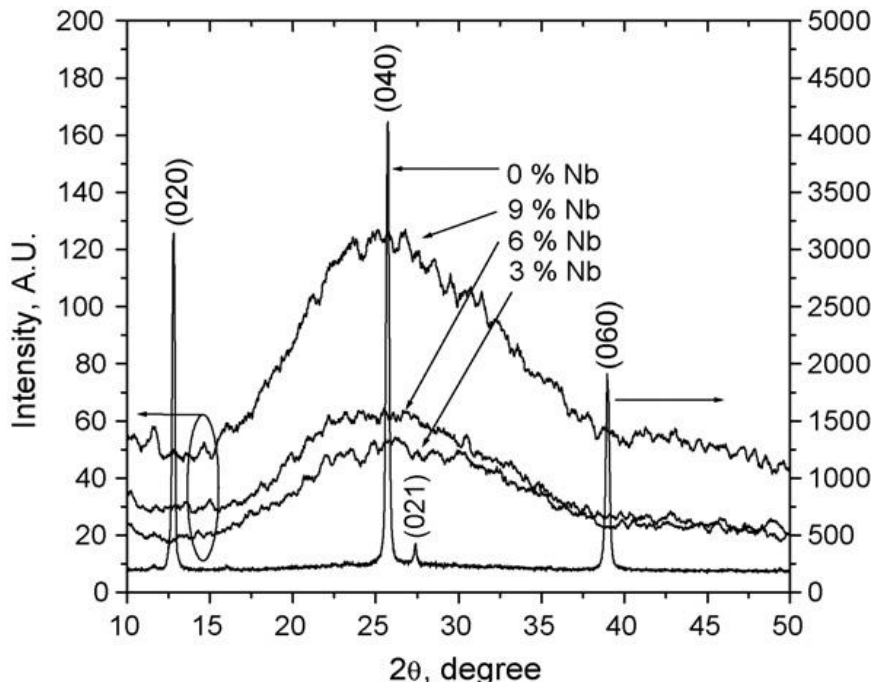
ماهاجان<sup>۱</sup> و همکاران لایه‌های نازک اکسید مولیبدن با آلایش Nb را با درصدهای اتمی مختلف به روش اسپری پایرولیزیز تهیه کردند[۱۴]. آن‌ها برای تهیه محلول اولیه جهت اسپری به صورت زیر عمل کردند:

محلول (۱): پودر  $\text{MoO}_3$  در آمونیاک حل کرده و سپس به وسیله آب دیونیزه رقیق می‌شود.

محلول (۲): پودر نیوبیوم پنتوکساید ( $\text{Nb}_2\text{O}_5$ ) با پتانسیم پایروسولفات ( $\text{K}_2\text{O}_7\text{S}_2$ ) ترکیب کرده و در دمای  $500^{\circ}\text{C}$  قرار می‌دهند. محصول به‌دست آمده را با اسید تارتاریک ( $\text{C}_4\text{H}_6\text{O}_6$ ) حل می‌کنند. در نهایت برای رسیدن به غلظت  $5\text{ mM}$  به آن اسید تارتاریک به مقدار لازم اضافه می‌شود.

محلول‌های (۱) و (۲) به مقدار لازم برای رسیدن به نسبت‌های مورد نظر با هم ترکیب می‌شوند.  $20\text{ mL}$  از محلول به‌دست آمده را در دمای  $350^{\circ}\text{C}$  اسپری می‌کنند. زمان لایه نشانی  $5\text{ min}$  و آهنگ رشد لایه‌ها  $1/0.4\text{ nm}$  در نظر گرفته شد. نمونه‌ها  $\text{MoO}_3$  با آلایش Nb با درصدهای اتمی  $0.0\%$ ،  $0.3\%$  و  $0.6\%$  به ترتیب با نامهای  $\text{MN}_0$ ،  $\text{MN}_3$ ،  $\text{MN}_6$  و  $\text{MN}_9$  نامگذاری شد، و ضخامت این لایه‌ها به ترتیب  $312$ ،  $345$ ،  $380$  و  $412\text{ nm}$  به‌دست آمد.

الگوی پراش پرتو X نمونه‌ها در شکل ۲۰-۱ نشان داده شده است. الگوی XRD نمونه  $\text{MN}_0$  ماهیت بس‌بلوری نمونه با ساختار راست گوشه را نشان می‌دهد. برای نمونه با  $3\%/\text{آلایش} (\text{MN}_3)$  تغییر شدیدی در ساختار بلوری مشاهده می‌شود، که نشان دهنده ماهیت آمورف نمونه‌ها می‌باشد و هیچ قله‌ای مربوط به  $\text{Nb}_2\text{O}_5$  یا  $\text{MoO}_3$  مشاهده نمی‌شود. افزودن Nb سبب حذف ساختار بس‌بلوری  $\text{MoO}_3$  و تشکیل ساختار آمورف می‌شود. الگوهای مشابهی نیز برای نمونه‌های  $\text{MN}_6$  و  $\text{MN}_9$  مشاهده می‌شود.

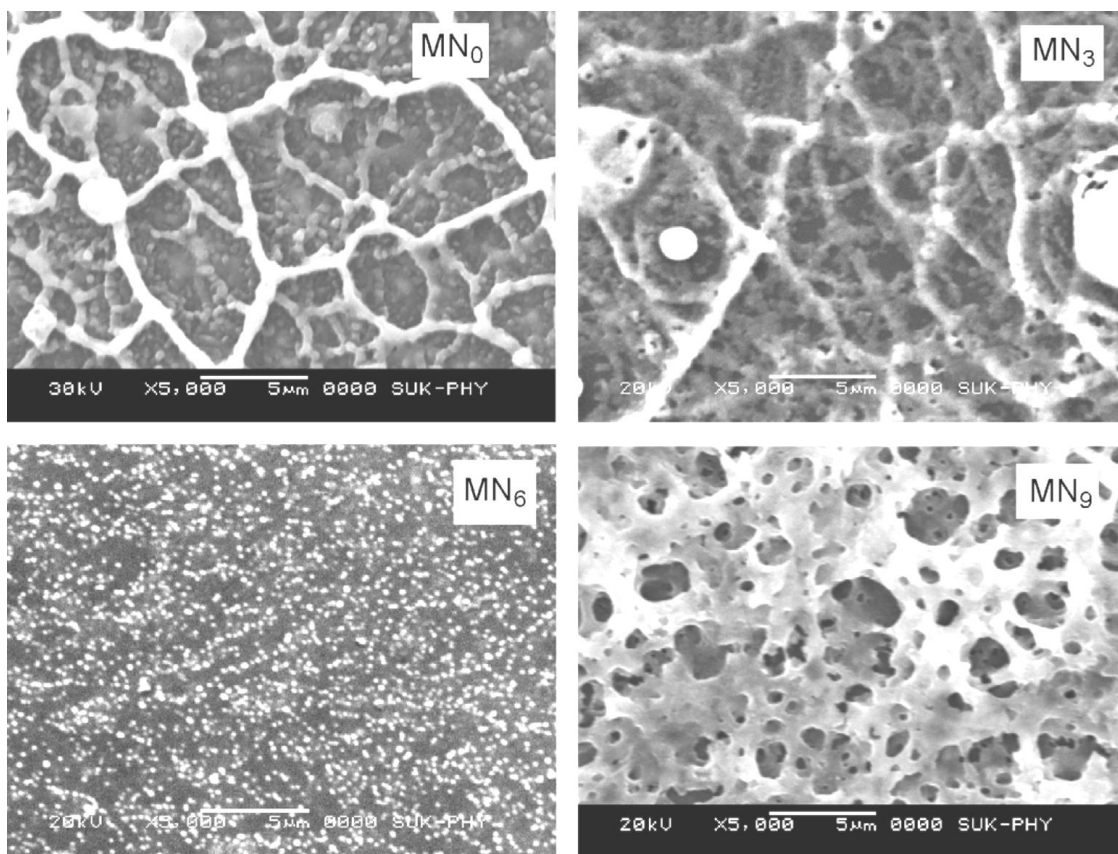


شکل ۲۰-۱: الگوی پراش پرتو X نمونه‌های  $\text{MoO}_3$  با درصدهای آالایش مختلف [۱۴].

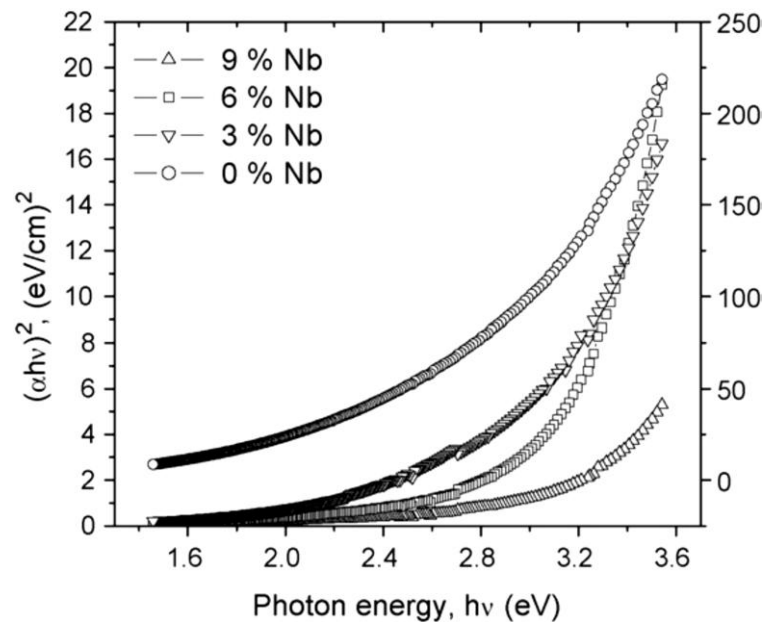
شکل ۲۱-۱ تصاویر SEM نمونه‌ها را نشان می‌دهد. تصویر SEM نمونه بدون آالایش ( $\text{MN}_0$ )

نشان می‌دهد که سطح نمونه دارای رگه‌های برجسته‌ای است که یک شکل مشبک را به وجود آورده است. این رگه‌ها از دانه‌هایی به ابعاد  $1\text{-}2 \mu\text{m}$  تشکیل شده است. برای نمونه‌های  $\text{MN}_3$  و  $\text{MN}_6$  به وضوح دیده می‌شود که شکل مشبک نمونه خالص شروع به تخریب می‌کند و این میزان تخریب با افزایش درصد آالایش افزایش می‌یابد. برای نمونه  $\text{MN}_9$  نیز شکل اسفنجی با تخلخل‌های زیادی قابل مشاهده است.

در شکل ۲۲-۱ نمودار  $(\alpha h\nu)^2$  بر حسب انرژی فوتون ( $h\nu$ ) نمونه‌ها نشان داده شده است. رفتار نمودار گاف نواری مستقیم نمونه‌ها را نشان می‌دهد. با برونویایی خطی می‌توان گاف نواری مستقیم نمونه‌ها را به طور تقریبی تخمین زد، که با افزایش درصد آالایش Nb مقدار گاف نواری از  $3/0\text{~}4 \text{ eV}$  تا  $3/25 \text{ eV}$  افزایش می‌یابد.



شکل ۲۱-۱: تصاویر SEM نمونه‌های  $\text{MoO}_3$  با درصد آلایش مختلف Nb [۱۴].



شکل ۲۲-۱: نمودار  $(\alpha h\nu)^2$  بر حسب انرژی فوتون ( $h\nu$ ) برای نمونه‌های مختلف [۱۴].

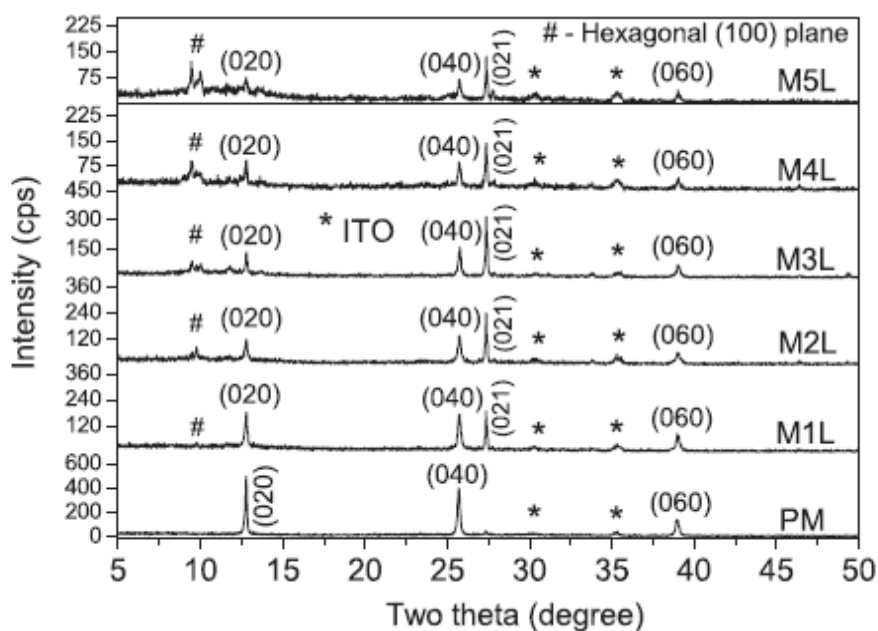
## ۲-۸-۱ تهیه و بررسی خواص لایه نازک $\text{MoO}_3$ با آلایش لیتیوم (Li)

کاوندهان<sup>۱</sup> و همکاران لایه‌های نازک  $\text{MoO}_3$  را با آلایش Li به روش اسپری پایرولیزیز بر روی زیرلایه‌های ITO در دمای  $325^{\circ}\text{C}$  نشانی کردند[۱۵]. درصدهای آلایش ۱ تا ۵ درصد وزنی در نظر گرفته شد. برای تهیه محلول اولیه جرم‌های مناسب از مولیبden کلرید ( $\text{MoCl}_5$ ) و لیتیوم کلرید (LiCl) در آب دوبار تقطیر حل شد و برای تهیه محلول مناسب چند قطره HCl به آن اضافه می‌شود. نمونه‌های بدون آلایش  $\text{MoO}_3$  و با آلایش‌های ۱-۵ %wt لیتیوم به ترتیب با نامهای M1L، PM، M2L، M3L، M4L، M5L و M1L نامگذاری شد. ضخامت نمونه‌ها به ترتیب با افزایش درصد آلایش ۴۰۵، ۴۱۶، ۵۷۷، ۹۲۱ و ۹۱۱ nm به دست آمد.

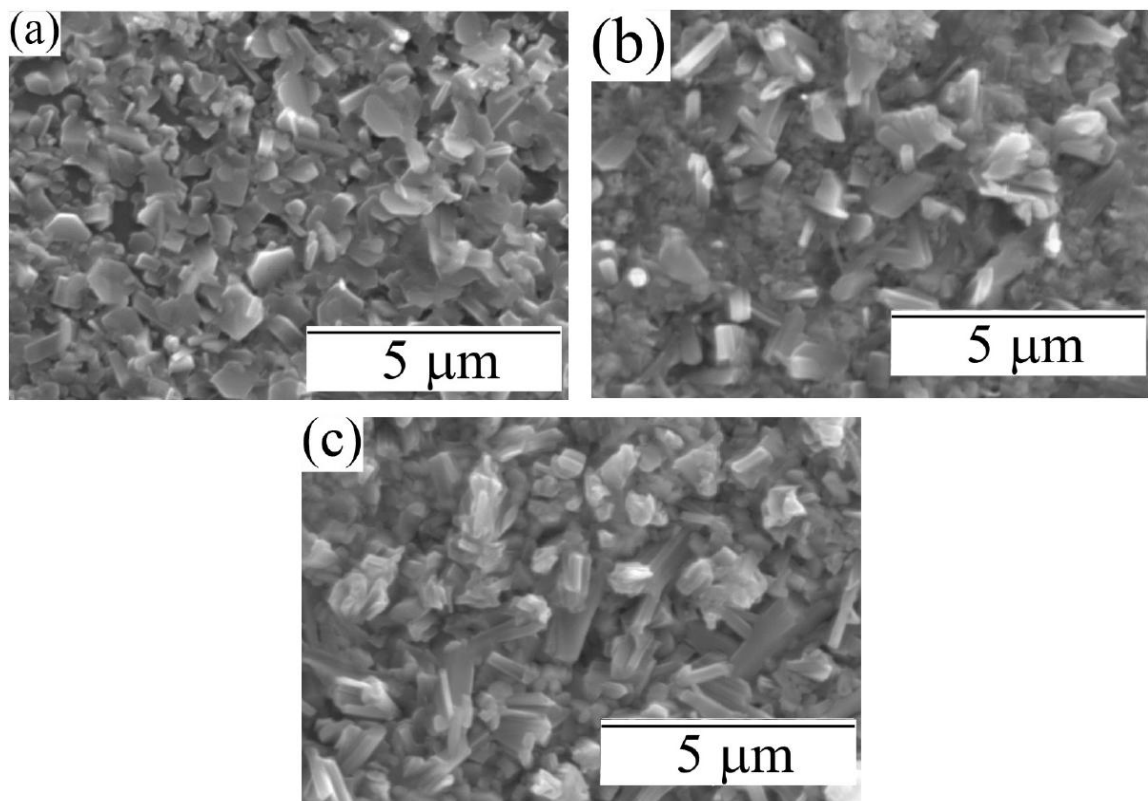
الگوی پراش پرتو X نمونه‌ها در شکل ۲۳-۱ نشان داده شده است. قله‌های بازتاب مربوط به نمونه بدون آلایش در جهت (۰k<sub>۰</sub>) هستند که حالت ترمودینامیکی پایدار  $\alpha\text{-}\text{MoO}_3$  را نشان می‌دهد. با وارد کردن آلایش شرایط برای تشکیل صفحه (۰۲۱) مهیا می‌شود، با افزایش درصد آلایش شدت صفحات (۰۰۲)، (۰۰۴)، (۰۰۶) و (۰۰۴۰) مربوط به فاز  $\alpha\text{-}\text{MoO}_3$  کاهش می‌یابد. با توجه به الگوی به دست آمده مشاهده می‌شود که علاوه بر فاز  $\alpha\text{-}\text{MoO}_3$  یک فاز شش گوشی h-MoO<sub>3</sub> برای نمونه‌های با آلایش ۵-۵ %wt نیز مشاهده می‌شود. اندازه بلورک نمونه‌ها در راستای صفحات مربوط به  $\alpha\text{-}\text{MoO}_3$  با استفاده از رابطه دبای شر برای نمونه بدون آلایش ۵۵ nm به دست آمد که با افزایش درصد آلایش تا ۱۳۰ nm افزایش یافت.

ریخت شناسی سطح نمونه‌ها را با استفاده از تصاویر میکروسکوپ الکترونی روبشی SEM (شکل ۲۴-۱) می‌توان بررسی کرد. نمونه بدون آلایش (شکل ۲۴-۱(a)) از صفحات کوچکی که دارای جهت‌گیری‌های تصادفی هستند، تشکیل شده‌اند. تصاویر نمونه‌ها با آلایش ۲ و ۴ درصد وزنی لیتیوم به ترتیب در شکل ۲۴-۱(b) و (c) نشان داده شده است. این تصاویر یک ساختار مختلط از صفحات ریز و ذرات هرمی شکل را نشان می‌دهد که ممکن است به خاطر ایجاد فاز شش گوشی باشد.

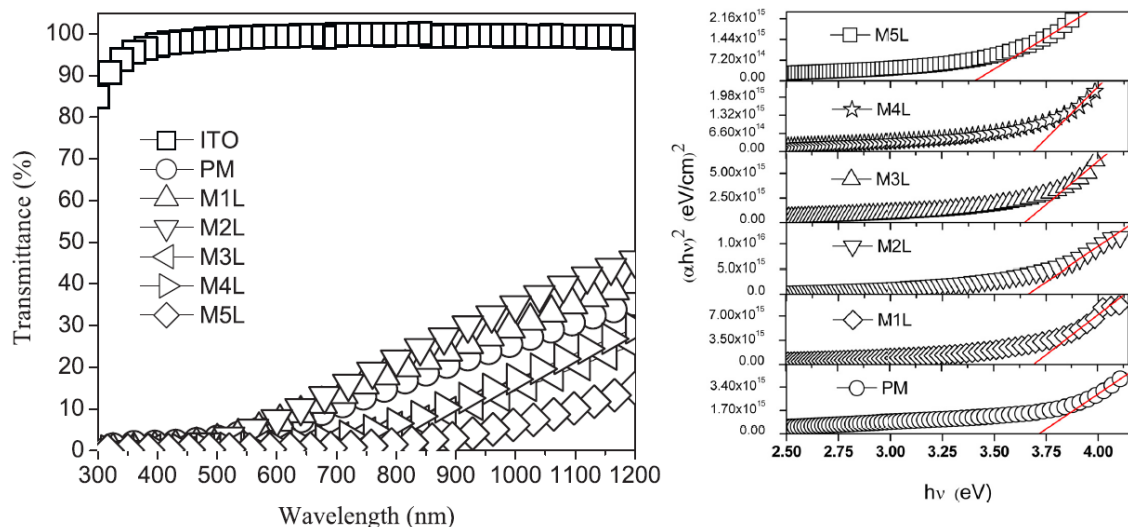
<sup>۱</sup> kovendhan



شکل ۱-۲۳: الگوی پراش پرتو X برای نمونه MoO<sub>3</sub> بدون آلایش و با درصد آلایش مختلف Li.[۱۵]



شکل ۱-۲۴: تصاویر SEM نمونه‌های MoO<sub>3</sub> با آلایش ۰، ۲ و ۴ wt% (a, b, c) و لیتیوم [۱۵].



شکل ۱-۲۵: (a) نمودار درصد عبوری نور بر حسب طول موج و (b) نمودار  $(\alpha h v)^2$  بر حسب انرژی فوتون برای نمونه های  $\text{MoO}_3$  با درصد های مختلف آلایش لیتیوم [۱۵].

نمودار درصد عبوری نور بر حسب طول موج (شکل ۱-a, ۲۵-۱) نشان می دهد که درصد عبور نمونه ها در ناحیه مادون قرمز حدود ۴۰٪ و شفافیت در ناحیه مرئی حدود ۱۰-۵٪ می باشد. همچنین گاف نواری مستقیم نمونه ها با استفاده از برازش خطی و برونویابی نمودار  $(\alpha h v)^2$  بر حسب انرژی فوتون به دست می آید (شکل ۱-b, ۲۵-۱). گاف مستقیم نوری برای نمونه بدون آلایش ۳/۷۲ eV است و این مقدار با افزایش درصد آلایش تا ۳/۴۱ eV ۳/۴۱ کاهش می یابد که این کاهش گاف نواری را می توان به افزایش اندازه بلورک های نمونه ها نسبت داد.

### ۱-۸-۳- تهیه و مشخصه یابی ترکیب نانوکمربندهای $\text{MoO}_3$ و نانوذرات Ag

هاتایی سینایم<sup>۱</sup> و همکارانش نانوکمربندهای  $\text{MoO}_3$  را با روش هیدروترمال در دمای  $180^\circ\text{C}$  به مدت ۲۴ h تهیه کردند، و سپس نانو ترکیب Ag/MoO<sub>3</sub> را سنتز کردند[۱۶]. برای تهیه نانوکمربندهای  $\text{MoO}_3$  ابتدا ۰/۰۰۵ مول آمونیوم مولیبدات تتراهیدرات را در ۲۰ mL آب دوبار تقطیر به مدت ۳۰ min با استفاده از همزن مغناطیسی حل کرده و پس از آن ۱۵ mL محلول اسید نیتریک (HNO<sub>3</sub>) با غلظت ۲ مولار به محلول شفاف به دست آمده اضافه کردند و به مدت ۳۰ min دیگر هم

<sup>1</sup> Hathai Sinaim

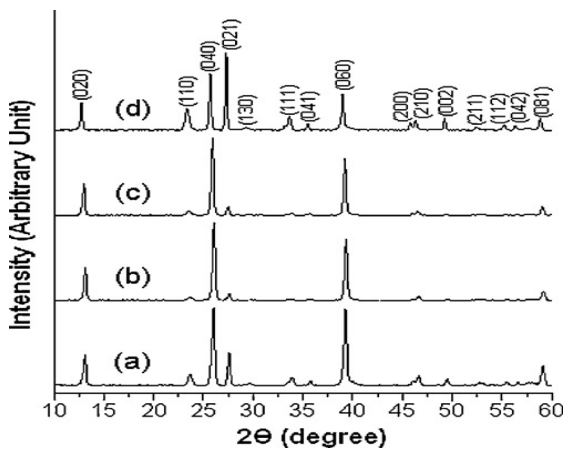
زدند. محلول به دست آمده به اتوکلاو در دمای  $180^{\circ}\text{C}$  به مدت ۲۴ h منتقل شد. در نهایت رسوب آبی روشن تهیه شده و با استفاده از صافی جداسازی شد و به وسیله آب مقطر و اتانول جهت حذف یون‌های اضافه شسته شد، و برای خشکسازی محصول نهایی در کوره با دمای  $80^{\circ}\text{C}$  و به مدت ۲۴ h قرار داده شد.

برای تهیه نانو ترکیب  $\text{Ag/MoO}_3$  مقادیر مختلف از  $\text{AgNO}_3$  و ۱ gr از نانوکمرندهای  $\text{MoO}_3$  در ۵۰ mL پروپان‌دیول ( $\text{C}_3\text{H}_8\text{O}_2$ ) به وسیله همزن مغناطیسی حل کردند، محلول بعد از اضافه کردن ۳۰ mL اتانول شروع به تهنشین شدن می‌کند. محصول به دست آمده را با آب دوبار نقطیر و اتانول شستشو داده شده، و به مدت ۲۴ h در دمای  $80^{\circ}\text{C}$  خشک می‌شود. و در نهایت محصولات به دست آمده مشخصه‌یابی شدند.

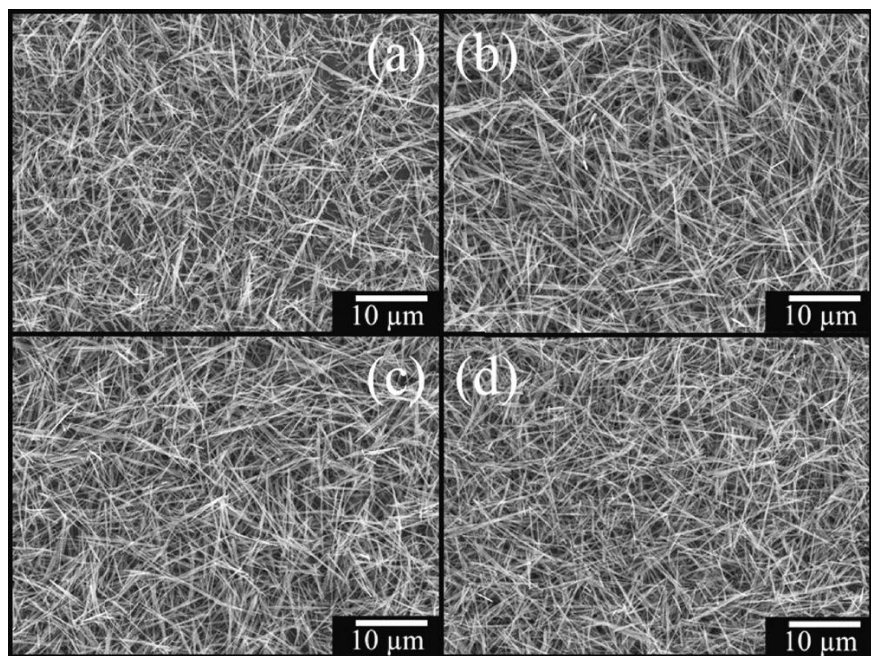
شکل ۲۶-۱ الگوی پراش پرتو X نمونه‌ها با ترکیب‌های مختلف را نشان می‌دهد. تمام قله‌های مشخص شده برای تمام ترکیب‌ها با فاز  $\alpha\text{-MoO}_3$  در توافق است (JCPDS No. 05-0508). قله‌های بازتاب مربوط به صفحات  $\{0\bar{k}0\}$  که در آن  $k=2, 4$  است بلور با ساختار لایه‌ای را نشان می‌دهد. قله‌های بازتاب مربوط به  $\text{Ag}$  به طور جزئی وجود دارد که قابل تشخیص نیست. قله بازتاب مربوط به صفحه (111) در زاویه  $2\theta=38/78^{\circ}$  مربوط به ساختار مکعبی مرکز سطحی  $\text{Ag}$  است (JCPDS No. 03-0931) که با قله مربوط به صفحه (060) از فاز  $\alpha\text{-MoO}_3$  تداخل پیدا کرده است. بنابراین تمام قله‌های مشخص شده در نمونه‌های نانو ترکیب  $\text{Ag/MoO}_3$  در توافق با  $\text{MoO}_3$  خالص است که نشان دهنده این است که نانوذرات  $\text{Ag}$  وارد شبکه بلوری  $\text{MoO}_3$  نشده است، بلکه فقط به عنوان نانوذرات  $\text{Ag}$  روی سطح قرار گرفته‌اند.

ریخت شناسی، اندازه و ساختارهای ریز نمونه‌ها با تصاویر SEM (شکل ۲۷-۱ و شکل a-۲۸-۱) مورد بررسی قرار گرفته است. شکل ۲۷-۱(a) نانوکمرندهای  $\alpha\text{-MoO}_3$  خالص را نشان می‌دهد، که دارای طول  $10\mu\text{m}$ ، عرض  $150\text{nm}$  و ضخامت  $20\text{nm}$  هستند. نانوذرات  $\text{Ag}$  که روی سطح قرار گرفته‌اند در شکل ۲۷-۱(b-d) نشان داده شده است. نانوکمرندهای  $\alpha\text{-MoO}_3$  با اندازه بدون ناخالصی

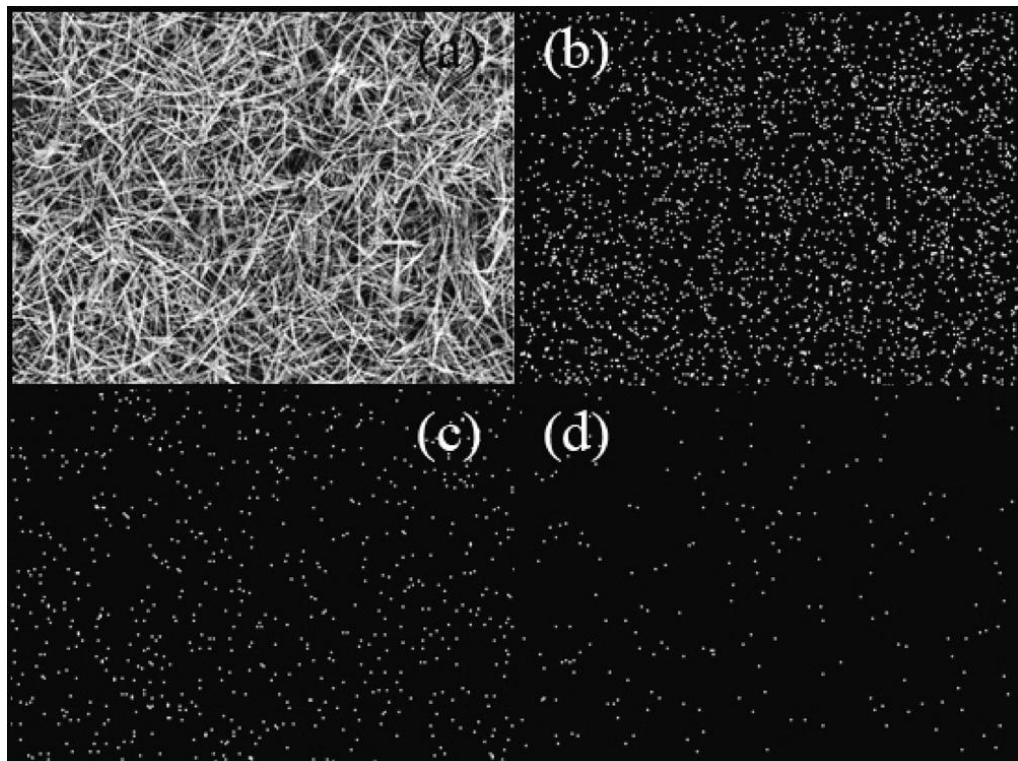
یکی است. اندازه نانوذرات Ag بسیار کوچک هستند و بنابراین قابل تشخیص با تصاویر SEM نیستند، اما با آنالیز EDS مقادیر ترکیب این مواد مشخص می‌شود. الگو EDS (شکل ۲۸-۱) وجود عناصر مولیبden، اکسیژن و نقره را برای نانو ترکیب Ag/MoO<sub>3</sub> با درصد وزنی ۱۰٪ را نشان داده است. عنصر Ag روی سطح به شکل پراکنده قرار گرفته است و بر روی نانو کمرندهای MoO<sub>3</sub> (به عنوان زیر لایه) توزیع شده‌اند.



شکل ۲۶-۱: الگوی پراش پرتو X برای نمونه نانو ترکیب Ag/MoO<sub>3</sub> با درصدهای مختلف نقره ۰.۱٪ (b)، ۰.۵٪ (c)، ۱٪ (d) و ۱۰٪ (a) [۱۶].



شکل ۲۷-۱: تصاویر SEM نانو کمرندهای MoO<sub>3</sub> با درصدهای وزنی مختلف نانوذرات Ag (a) ۰.۱٪ (b)، (c) ۰.۵٪ (d) و (d) ۱٪ (e) [۱۶].



شکل ۲۸-۱: (a) تصویر SEM، طرح EDS به ترتیب برای عناصر (b) مولیبدن، (c) اکسیژن و (d) نقره مربوط به نانوترکیب  $\text{Ag}/\text{MoO}_3$  با درصد وزنی ۱۰٪  $\text{Ag}$  [۱۶].

## ۹-۱ جمع بندی

در این فصل ابتدا به معرفی اکسید مولیبدن  $\text{MoO}_3$ ، خواص و کاربردهای آن در زمینه‌های مختلف پرداخته شده است. در ادامه چند مقاله در مورد روش تهیه لایه‌های نازک نanosاختارهای  $\text{MoO}_3$  و بررسی خواص گوناگون این ماده با استفاده از روش‌های اسپری پایرولیزیز و هیدروترمال مورد مطالعه قرار گرفت. ملاحظه شد در اکثر موارد اکسید مولیبدن در فاز پایدار راست گوشه رشد پیدا کرده است و دارای یک ساختار لایه‌ای می‌باشد که تصاویر SEM نمونه‌ها نیز این ساختار را تایید می‌کند. در نهایت به بررسی آلایش چند ماده با  $\text{MoO}_3$  پرداخته شد و خواص ساختاری، نوری و ریخت‌شناسی سطح آن‌ها مورد بررسی قرار گرفت.

## فصل دوم:

روش تهیه و مشخصه یابی نمونه ها

## ۱-۲ مقدمه

در سال‌های اخیر روش‌های رشد لایه‌های نازک به طور وسیعی گسترش یافته‌اند، به طوری که از جمله عوامل مؤثر بر کیفیت، ریخت شناسی و خواص فیزیکی لایه‌ها محسوب می‌شود. امروزه روش‌های لایه نشانی در موارد زیادی از قبیل کاربردهای الکتروکرومیک، فوتوکرومیک، کاتالیزور، حسگرهای گازی و غیره نقش مهمی دارد. قابلیت بررسی خواص فیزیکی ماده و ارتباط بین پارامترهای تجربی و خواص به دست آمده از ماده، به تجهیزات و روش‌های مشخصه یابی فیزیکی وابسته است. امروزه بررسی خواص فیزیکی و شیمیایی مواد با پیشرفت علم لایه‌های نازک بیشتر مورد توجه قرار گرفته است. در این فصل به مطالعه انواع روش‌های لایه‌نشانی و برخی از روش‌های مشخصه یابی از جمله میکروسکوپ الکترونی روبشی گسیل میدانی<sup>۱</sup> (FESEM)، پراش پرتو ایکس<sup>۲</sup> (XRD) و طیف نگاری نوری (UV-VIS) پرداخته می‌شود.

## ۲-۲ روش‌های رشد لایه‌های نازک

روش لایه‌نشانی از عوامل مؤثر بر خواص فیزیکی و کیفیت لایه‌های نازک است. به طور کلی روش‌های لایه‌نشانی را می‌توان با توجه به فرآیند جدا شدن مولکول‌ها از مواد اولیه و نشستن بر روی زیرلایه به دو دسته تقسیم کرد که عبارتند از: ۱) روش‌های شیمیایی و ۲) روش‌های فیزیکی. از جمله روش‌های لایه نشانی شیمیایی می‌توان به روش‌های اسپری پایرولیزیز، هیدروترمال، سل-ژل، پوشش دهی چرخشی و غوطه وری، لایه نشانی بخار شیمیایی و روآراستی با لایه اتمی اشاره کرد. همچنین مهمترین روش‌های لایه نشانی فیزیکی عبارتند از: تبخیر حرارتی فیزیکی، کندوپاش، روآراستی با پرتو مولکولی<sup>۳</sup>، سایش لیزری و غیره. با استفاده از روش‌هایی مانند انباست بخار شیمیایی

1 Field Emission Scanning Electron Microscope

2 X-ray diffraction

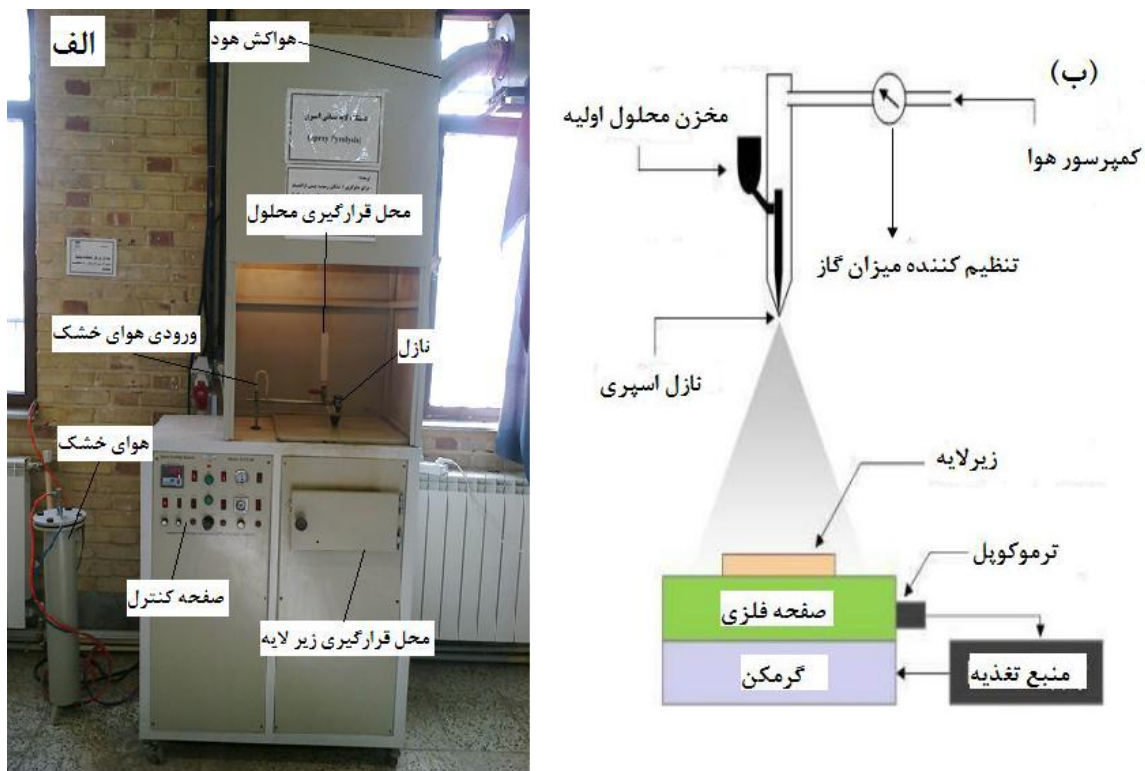
3 Molecular Beam Epitaxy

و روآرستی پرتو مولکولی می‌توان لایه‌هایی با کیفیت بسیار بالا تهیه کرد، اما پیچیدگی دستگاه و پرهزینه بودن مشکل اصلی این روش‌ها می‌باشد. همچنین روش‌هایی مانند سل-ژل، تبخیر حرارتی، اسپری پایرولیزیز و غیره روش‌هایی ساده و کم هزینه هستند اما عدم امکان کنترل مناسب بر پارامترهای لایه نشانی ایجاد اصلی بر این روش‌ها است. در ادامه به معرفی روش اسپری پایرولیزیز و هیدرورترمال و جزئیات این روش‌ها برای تهیه لایه‌های نازک اکسید مولیبدن می‌پردازیم [۱۷].

### ۳-۲ دستگاه اسپری پایرولیزیز

شکل ۱-۲ طرح الگووار و دستگاه اسپری پایرولیزیز مورد استفاده در این پروژه را نشان می‌دهد. در این روش برای تهیه لایه‌های نازک از محلول‌های شیمیایی استفاده می‌شود. امکانات ویژه‌ای در این دستگاه برای کنترل پارامترهای لایه نشانی وجود دارد. تکنولوژی ساده‌تر، عدم نیاز به محیط خلاء، ارزان بودن، زمان لایه نشانی کوتاه، چسبندگی بالا، یکنواخت بودن نسبی لایه‌ها را می‌توان از مهمترین مزیت‌های این روش دانست.

محفظه‌ی اسپری که عایق‌بندی شده است شامل افسانه و گرماده زیرلایه است. در این دستگاه محلول توسط کمپرسور هوای خشک موجود در دستگاه به ازای فشار تنظیم شده از استوانه بالایی نازل خارج و به صورت پودر بر سطح زیرلایه اسپری می‌شود. دمای زیرلایه نیز از طریق تغییر میزان جریان الکتریکی عبوری از المنشآت تنظیم می‌شود. به دلیل بالا بودن دمای زیرلایه عمل تجزیه حرارتی پس از اسپری محلول بر اثر دما رخ داده و لایه مورد نظر بر روی زیرلایه تشکیل می‌شود. از جمله پارامترهای قابل تنظیم در این دستگاه عبارتند از: دمای زیرلایه، آهنگ لایه نشانی، فشار گاز حامل، سرعت چرخش گرمکن زیرلایه، سرعت چرخش نازل، فاصله‌ی نازل تا زیرلایه می‌باشد. از این روش در کارهای تحقیقاتی و صنعتی از جمله ساخت حسگرهای سلول‌های خورشیدی، آشکارسازها و غیره استفاده می‌شود.



شکل ۱-۲: (الف) دستگاه اسپری پایرولیزیز مدل (Spray Coating System.S.C.S.86) استفاده شده در این تحقیق موجود در دانشگاه صنعتی شهرورد (ب) طرح شماتیک از دستگاه اسپری پایرولیزیز.

### ۱-۳-۲ آماده سازی زیرلايه

در تکنولوژی لایه نشانی لایه های نازک، تمیز کردن زیرلايه از هر ناخالصی امری مهم می باشد.

در این پروژه از زیرلايه شیشه استفاده شده است که نحوه تمیز کردن آن به ترتیب زیر می باشد:

۱. شستشوی زیرلايهها با آب مقطر و مایع ظرفشویی.
۲. جوشاندن زیرلايهها با آب مقطر.
۳. قرار دادن زیرلايهها در محلول استون، اتانول و آب مقطر در دستگاه التراسونیک به مدت ۴۸۰ ثانیه.
۴. خشک کردن زیرلايهها در معرض هوا.

### ۲-۳-۲ تهیه محلول اولیه

برای تهیه لایه‌های نازک اکسید مولیبدن، از پودر آمونیوم هپتامولیبدات تتراهیدرات ( $(\text{NH}_4)_6\text{Mo}_7\text{O}_{24} \cdot 4\text{H}_2\text{O}$ ) که در آب دوبار تقطیر به وسیله همزن مغناطیسی در دمای محیط حل می‌شود، استفاده شده است. فرآیند کلی واکنش و تشکیل اکسید مولیبدن با رابطه (۱-۲) داده شده است.

است [۱۰].



محلول اولیه به دست آمده محلولی بی‌رنگ و کاملاً شفاف است، که جهت اسپری مناسب است.

شکل ۲-۲ محلول آمونیوم مولیبدات تتراهیدرات تهیه شده جهت اسپری را نشان می‌دهد.



شکل ۲-۲: محلول اولیه آمونیوم مولیبدات تتراهیدرات تهیه شده برای لایه نشانی به روش اسپری پایرولیزیز.

### ۳-۳-۲ پارامترهای لایه نشانی

در این پژوهه به بررسی عوامل گوناگون بر خواص فیزیکی لایه‌ها پرداخته شد، که عبارتند از:

الف) دمای زیر لایه:  $250^\circ\text{C}$ ,  $300^\circ\text{C}$ ,  $350^\circ\text{C}$ ,  $400^\circ\text{C}$ ,  $450^\circ\text{C}$ .

ب) غلظت محلول اولیه:  $0.01\text{ M}$ ,  $0.02\text{ M}$ ,  $0.05\text{ M}$ .

ج) آهنگ لایه نشانی: ۵، ۱۰، ۲۰ mL/min.

د) اثر حجم محلول: ۷۵، ۵۰، ۲۵ mL.

۵) آلایش قلع: نسبت مولی  $[Sn]/[Mo]$ : ۰، ۰/۰۵، ۰/۱۵، ۰/۲۵، ۰/۵۰.

لازم به ذکر است که در تمام حالت‌های فوق همواره پارامترهای زیر ثابت در نظر گرفته شده‌اند

که عبارتند از:

۱. فاصله بین نازل و زیرلایه برابر ۳۵ cm در نظر گرفته شد.

۲. فشار گاز حامل هوای خشک ۲/۵ bar قرار داده شد.

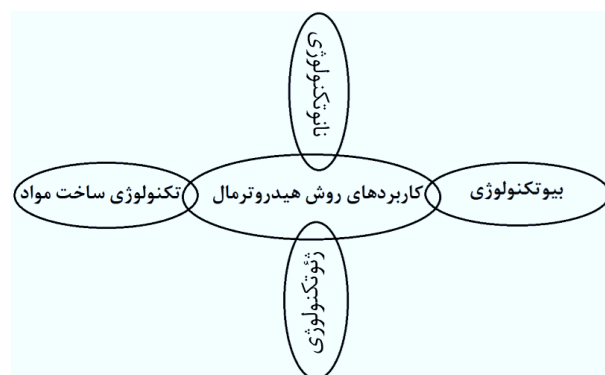
۳. سرعت دوران صفحه داغ برابر با ۲۰ rev/min در نظر گرفته شد.

## ۴-۲ روش هیدروترمال بهبود یافته

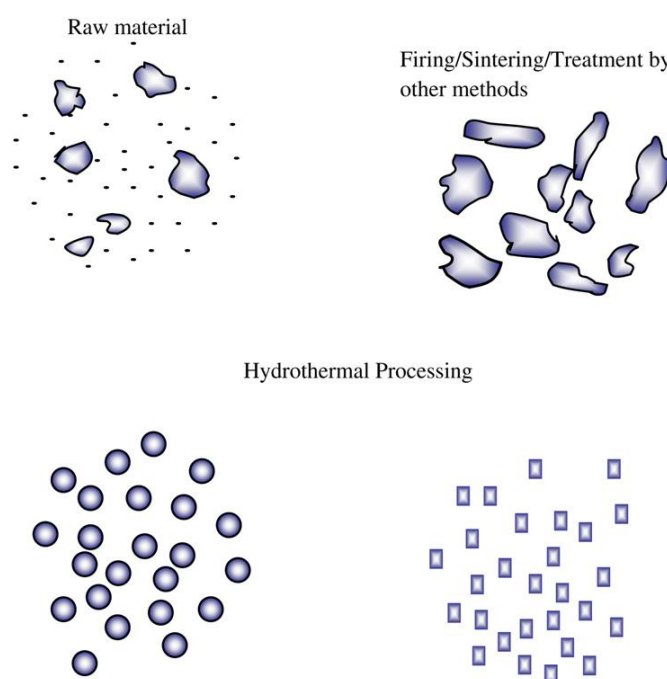
هیدروترمال روشی مهم برای تولید نانومواد است، که کاربردهای وسیعی در صنعت از جمله صنایع الکترونیکی، اپتوالکترونیکی، کاتالیزوری، سرامیک‌ها، دستگاه‌های ذخیره‌سازی مغناطیسی اطلاعات، بیوپزشکی و غیره دارد. روش هیدروترمال در اوایل قرن بیستم به دلیل عدم وجود تجهیزات آزمایشگاهی مناسب برای کنترل متغیرهای ترمودینامیکی متوقف شد. اما در قرن اخیر و با ساخت دستگاه اتوكلاو که قابلیت تنظیم فشار و دما را دارد این روش پیشرفت زیادی داشته است. در قرن بیست و یک روش هیدروترمال در صنایع مهم مانند نانوتکنولوژی، بیوتکنولوژی، ژئوتکنولوژی و تکنولوژی ساخت مواد نقش مهمی ایفا می‌کند (شکل ۳-۲) [۱۸]. روش هیدروترمال نه تنها به تهیه نانوترکیب‌ها با یکنواختی بالا و پراکندگی یکسان کمک می‌کند بلکه یک روش سودمند برای تهیه نانوکامپوزیت‌ها می‌باشد. فرآیند هیدروترمال هر واکنش ناهمگن در حضور محلول آبی یا معدنی تحت شرایط فشار و دمای بحرانی برای تشکیل بلور ماده مدنظر می‌باشد. روش هیدروترمال از دو بخش

تهیه محلول و شرط بحرانی دما تشکیل شده است. فرآیند هیدروترمال برای تهیه مواد دارای تأثیرات مخرب زیست محیطی نمی‌باشد، همچنین برای تولید نانومواد این روش به دلیل کنترل بالای ضریب پخش محلول و قرار دادن محلول در محفظه کاملاً بسته مورد توجه اکثر محققین قرار گرفته است.

شکل ۴-۲ تفاوت تشکیل نانومواد با روش هیدروترمال و روش‌های مرسوم دیگر مانند آسیاب‌کاری و غیره را نشان می‌دهد [۱۸و ۱۹].



شکل ۳-۲: کاربردهای صنعتی مهم روش هیدروترمال در قرن بیست و یک [۱۸].



شکل ۴-۲: تفاوت تشکیل ذرات در روش هیدروترمال و سایر روش‌های مرسوم دیگر [۱۸].

در این تحقیق از روش هیدروترمال بهبود یافته استفاده شده است. در این روش هدف اصلی رشد ترجیحی نانوساختارها بر روی زیرلایه‌ای است که توسط نگهدارندهای از جنس تفلون در محلول قرار داده شده است. در این تحقیق زیرلایه‌های مختلف به عنوان لایه بذری و زمان‌های مختلف انجام فرایند هیدروترمال مورد بررسی قرار گرفت.

#### ۱-۴-۲ تهیه محلول اولیه

برای تهیه محلول اولیه برای روش هیدروترمال از پودر آمونیوم هپتامولیبیدات تتراهیدرات (NH<sub>4</sub>)<sub>6</sub>Mo<sub>7</sub>O<sub>24</sub>.4H<sub>2</sub>O) به عنوان ماده اولیه و از آب دوبار تقطیر و اسید نیتریک (۶۵٪) به عنوان حلال استفاده می‌شود [۲۰]. سپس محلول تهیه شده به شیشه‌ای سربسته منتقل شده و زیرلایه را توسط نگهدارنده تفلونی داخل آن قرار داده می‌شود و در نهایت شیشه را در کوره با دمای ۹۰ °C قرار داده می‌شود. شکل ۵-۲ محلول اولیه و نحوه قرار گرفتن زیرلایه در شیشه را نشان می‌دهد.



شکل ۵-۲: محلول اولیه و نحوه قرار گرفتن زیرلایه در محلول.

## ۲-۴-۲ پارامترهای لایه نشانی شده

در این روش پارامترهای گوناگونی جهت رسیدن به یک ساختار مناسب بررسی شد که عبارتند

از:

الف) اثر مدت زمان: در این حالت زمان‌های مختلف ۱۲، ۱۸ و ۲۴ ساعت حضور محلول در

کوره در دمای  $90^{\circ}\text{C}$  مورد بررسی قرار گرفت.

ب) اثر نوع زیرلایه: در این حالت زیرلایه‌های مختلف از جمله شیشه، لایه اسپری شده با غلظت

محلول اولیه  $0/0.5$  و  $1/0\text{ M}$  و همچنین زیرلایه اسپری شده با حجم محلول اولیه  $25$ ،  $50$  و  $75\text{ mL}$

مورد بررسی قرار گرفت.

ج) اثر افزودن پایدارکننده SDS: در این حالت ماده<sup>۱</sup> SDS به عنوان پایدار کننده با نسبت  $1$  به

$3$  نسبت به پودر اولیه به محلول اضافه شد.

## ۵-۲ میکروسکوپ الکترونی روبشی گسیل میدانی (FESEM)

در شکل ۲-۶ یک نوع میکروسکوپ الکترونی روبشی گسیل میدانی (FESEM) به همراه طرح

شماتیکی از آن نشان داده شده است. در میکروسکوپ‌های الکترونی اثر میدانی از اعمال یک میدان

الکتریکی قوی برای تولید پرتو الکترون بر اساس پدیده تونل زنی استفاده می‌شود. اعمال میدان

الکتریکی قوی بر سطح فلز باعث کاهش سد پتانسیل الکترون شده و احتمال پدیده تونل زنی از سطح

فلز افزایش یافته و شار بزرگی از الکترون‌ها ایجاد می‌شود. مقدار بار گسیل شده به بزرگی میدان

الکتریکی وابسته است. برای تولید باریکه الکترونی مناسب می‌توان الکترون‌های تولید شده را به کمک

میدان‌های مغناطیسی کانونی کرد. در برخورد باریکه الکترونی با سطح نمونه پرتوهای مختلفی گسیل

1 Sodium Dodecyl Sulfate

می‌شود که باعث یونیزه شدن اتم‌های نمونه می‌شود و باعث شکسته شدن پیوند الکترون‌ها و گسیل آن‌ها می‌شود که این الکترون‌ها را الکترون‌های ثانویه می‌گویند. این الکترون‌ها به دلیل انرژی کمی که دارند فقط از چند نانومتری سطح نمونه فرار می‌کنند و حاوی اطلاعات خوب و واضحی از سطح نمونه هستند [۲۱]. به طور معمول سطح نمونه‌هایی که رسانندگی الکتریکی پایینی دارند را با لایه نازکی از Pt یا Au پوشش می‌دهند تا از تجمع الکترون‌ها روی سطح جلوگیری به عمل آمده تصاویر شفافی از سطح حاصل شود.



شکل ۶-۲: (الف) دستگاه میکروسکوپ الکترونی روبشی گسیل میدانی (FESEM) مدل Hitachi S-41600 مورد استفاده در این پایان نامه، (ب) تصویر طرح‌وار از اجزای داخلی دستگاه [۲۲].

## ۶-۲ مطالعه پرتو ایکس (XRD)

پرتو ایکس روشی بسیار کارآمد برای مطالعه ساختار بلوری مواد است که اولین بار در سال ۱۹۱۳ به کار گرفته شد. در این دستگاه از خواص موجی پرتو ایکس استفاده می‌شود. خواص الکتریکی و اپتیکی لایه‌ها تحت تأثیر طبیعت بلوری لایه‌ها قرار می‌گیرند. شبکه بلوری یک مجموعه از صفحات موازی را تشکیل می‌دهد. هنگامی که امواج پرتو ایکس بر روی شبکه بلوری فرود می‌آید، هر

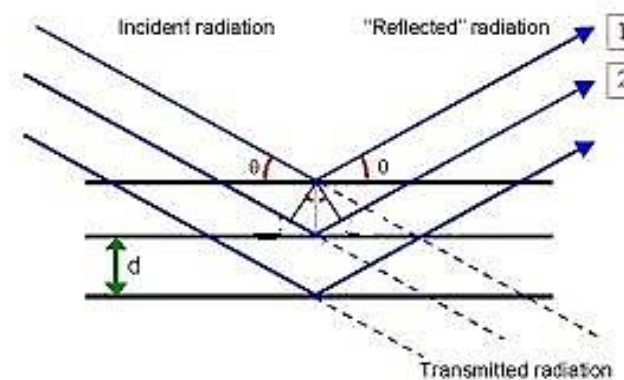
اًتم به عنوان یک منبع پراکننده عمل می‌کند. در صورتی که مسیر متفاوت بین دو موج بازتاب شده از دو صفحه متفاوت مضرب درستی از  $\lambda$  باشد، شدت پرتو بازتابیده در زوایای خاصی بیشینه می‌شود.

این شرط به قانون برآگ موسوم بوده و توسط رابطه زیر ارائه می‌گردد:

$$2d_{hkl} \sin \theta = n\lambda \quad (2-2)$$

که در آن  $d$  فاصله بین صفحات موازی متواالی در راستای  $hkl$  (شکل ۷-۲)،  $\lambda$  طول موج پرتو ایکس،  $n$  مرتبه پراش و  $\theta$  زاویه برآگ است.

در فیزیک لایه‌های نازک از الگو پراش پرتو ایکس اطلاعاتی راجع به ساختار بلوری، جهت ترجیه‌ی، ابعاد بلورک‌ها، فازهای بلوری و همچنین شناسایی مواد مختلف را می‌توان با استفاده از بانک‌های اطلاعاتی موجود نظیر کارت‌های استاندارد JCPDS به دست آورد. شکل ۸-۲ نمونه‌ای از دستگاه پراش پرتو ایکس مدل S300 (Unisance) را نشان می‌دهد. لایه‌های مورد نظر در محل مشخص شده قرار می‌گیرند و پرتویی با خط Cu K $\alpha$  برابر با طول موج  $1/540.56 \text{ \AA}$  به سطح نمونه فرود می‌آید. از آنجایی که نگهدارنده لایه قابل چرخش است، پرتوی فروودی می‌تواند در محدوده زاویه‌ای  $(\theta - 70^\circ) \text{--} (10^\circ)$  سطح لایه نازک را جاروب کند. متوسط اندازه بلورک‌ها می‌تواند با استفاده از رابطه (۳-۲) موسوم به فرمول دبای شر محاسبه شود [۲۳]:



شکل ۷-۲: طرح الگوار از صفحات بلوری و صفحات بازتاب شده از صفحات متواالی [۲۴].

$$D = \frac{S\lambda}{\beta \cos \theta} \quad (3-2)$$

که در آن  $D$  اندازه بلورک بر حسب nm،  $\lambda$  طول موج پرتو ایکس بر حسب nm،  $\beta$  بزرگی تمام پهنا در نیم بیشینه بر حسب rad،  $\theta$  زاویه پراش برآگ و  $S$  فاکتور ریخت و تقریباً برابر با  $9/0$  است. همچنین با توجه به داده‌های مربوط به آنالیز ساختاری می‌توان کمیت‌های دیگری مانند کرنش  $\epsilon$  و چگالی در رفتگی  $\delta$  بر حسب  $(nm)^{-2}$  را محاسبه کرد. کمیت کرنش ( $\epsilon$ ) که از بزرگی تمام پهنا در نیم بیشینه قله‌های متعلق به الگوهای پراش نمونه‌ها به دست می‌آید، که با رابطه (4-۲) بیان می‌شود [۲۵]:

$$\epsilon = \frac{\beta \cos \theta}{4} \quad (4-2)$$

همچنین چگالی در رفتگی  $\delta$  که به عنوان طول خطوط در رفتگی در واحد حجم بلور تعریف می‌شود از رابطه (۵-۲) به دست می‌آید، که در آن  $(nm)$  اندازه بلورک نمونه می‌باشد [۲۵]:

$$\delta = \frac{1}{D^2} \quad (5-2)$$



شکل ۸-۲: (الف) تصویری از دستگاه پراش پرتو ایکس مدل (Unisance S300) موجود در دانشگاه شاهرود که در این پایان نامه از آن استفاده شده است، (ب) محل قرار گرفتن نمونه‌ها.

## ۷-۲ مشخصه یابی نوری

### ۱-۷-۲ طیف سنج UV-Vis

دستگاه طیف سنج دستگاهی است که جهت اندازه‌گیری طیف عبوری، جذبی و بازتابی نمونه‌ها مورد استفاده قرار می‌گیرد. دستگاه طیف سنج که برای مشخصه یابی نمونه‌ها در این پایان نامه استفاده شده است در شکل ۹-۲ نشان داده شده است. این دستگاه شامل دو جایگاه است که اولی برای نمونه لایه‌نشانی شده (مرجع) و دیگری زیرلایه به تنها بی (شاهد) می‌باشد. این دستگاه در گستره طول موجی nm ۳۰۰-۱۱۰۰ با گام‌های ۱ نانومتری اندازه‌گیری را انجام می‌دهد. پس از اندازه‌گیری، دستگاه درصد عبور و بازتاب و میزان جذب نمونه مرجع را بر حسب نمونه شاهد نشان می‌دهد. با استفاده از داده‌های مربوط به طیف عبور و بازتاب می‌توان برخی ویژگی‌های ماده از جمله ضریب جذب، ضریب خاموشی، ضریب شکست و گاف نوری نمونه‌ها را به دست آورد. همچنین طیف‌های عبوری و بازتابی اطلاعات خوبی در مورد میزان عبور و بازتاب نمونه‌ها در ناحیه‌های مختلف طول موجی را ارائه می‌کنند.

### ۲-۷-۲ ضریب جذب

هنگامی که پرتو الکترومغناطیسی به جسم برخورد می‌کند، بخشی از پرتو از جسم عبور می‌کند، بخشی بازتاب می‌شود و بقیه به نسبت بزرگی ضریب جذب ماده ( $\alpha$ ) جذب جسم می‌شود. برای تعیین ضریب جذب لایه‌های نازک از رابطه (۶-۲) می‌توان استفاده کرد [۲۶]:

$$\alpha = \frac{1}{d} \ln \left[ \frac{(1-R)^2}{T} \right] \quad (6-2)$$

که در این رابطه  $d$  ضخامت لایه بر حسب cm،  $T$  و  $R$  به ترتیب میزان عبور و بازتاب نمونه‌ها را نشان می‌دهد.



شکل ۹-۲: (الف) دستگاه طیف سنجی مدل (Shimadzo UV-Vis 1800) موجود در دانشگاه شاهروд که در این پایان نامه از آن استفاده شده است، جایگاه قرار گیری نمونه‌های مرجع و شاهد برای تعیین (ب) درصد عبور (ج) درصد بازتاب.

### ۳-۷-۲ تعیین انرژی گاف نواری

اگر انرژی فوتون فرودی ( $h\nu$ ) از انرژی گاف نواری بیشتر یا برابر باشد، فوتون‌ها جذب می‌شوند و الکترون‌ها از نوار ظرفیت به حالت‌های خالی در نوار رسانش برانگیخته می‌شوند، اما اگر انرژی فوتون فرودی کمتر از انرژی گاف نواری باشد، عبور می‌کنند. فرآیند جذب در نیمرسانانها به نوع گاف نواری (مستقیم یا غیرمستقیم) ماده بستگی دارد. رابطه ضریب جذب ( $\alpha$ ) با گاف نواری  $Eg$  ماده طبق فرمول

(۷-۲) بیان می‌شود.

$$(\alpha h\nu) = A(h\nu - E_g)^m \quad (7-2)$$

که در این رابطه  $A$  عددی ثابت،  $m=2$  اگر گاف نواری ماده غیرمستقیم باشد و  $m=0/5$  در صورتی که گاف نواری ماده مستقیم باشد. با توجه به معادله فوق می‌توان با رسم منحنی  $(\alpha h\nu)^m$  بر حسب  $(h\nu)$  و برونویابی نمودار در ناحیه خطی و انرژی‌های بالا مقدار گاف نواری برای هر نمونه را به دست آورد [۲۷].

## ۸-۲ ضخامت سنجی نمونه‌ها

برای اندازه‌گیری ضخامت نمونه‌ها از دستگاه اندازه‌گیری سطحی سورترونیک<sup>۱</sup> استفاده شد. برای استفاده از این دستگاه، ابتدا قسمتی از سطح یکی از زیرلایه‌ها توسط شیشه پوشیده می‌شود و سپس برای لایه‌نشانی مورد استفاده قرار می‌گیرد. با برداشتن شیشه بعد از لایه نشانی یک پله تیز در سطح مشترک بین قسمت لایه نشانی شده و زیرلایه به وجود می‌آید. با قرار دادن پروب دستگاه بر روی زیرلایه، پروب شروع به حرکت کرده و در پله تیز اختلاف ارتفاع را اندازه‌گیری می‌کند. داده‌های حاصل با نرم افزار دستگاه تحلیل می‌شود و با توجه به آن می‌توان ضخامت نمونه‌ها را با دقت ۲۰ nm به دست آورد. شکل ۱۰-۲ دستگاه اندازه‌گیری سطحی سورترونیک در دانشگاه صنعتی شاهroud را نشان می‌دهد.



شکل ۱۰-۲: دستگاه اندازه‌گیری ضخامت سطحی لایه‌ها.

---

<sup>1</sup> Sorteronic

## ۹-۲ جمع بندی

در این فصل روش‌های اسپری پایرولیزیز و هیدروترمال مورد مطالعه قرار گرفت. در ابتدا مقدمه‌ای بر روش‌های لایه نشانی اسپری و هیدروترمال بیان شد و سپس روش تهیه محلول اولیه و کمیت‌های متغیر در این روش‌ها مورد بررسی قرار گرفت. در نهایت نیز مروری بر برخی روش‌های مشخصه‌یابی و دستگاه‌های مورد استفاده در این پایان نامه انجام شد. در این فصل توضیح مختصری درباره الگوی پراش پرتو X، تصاویر FESEM و مشخصه‌یابی نوری نمونه‌ها و نحوه به‌دست آوردن برخی کمیت‌های مهم از جمله اندازه بلورک و گاف نواری داده شده است.

## **فصل سوم:**

**نتایج کارهای انجام شده و بحث در مورد**

**رشد لایه‌های نازک اکسید مولیبدن**

## ۱-۳ مقدمه

در این فصل به کارهای تجربی انجام شده در ارتباط با این پایان نامه پرداخته می‌شود. تعیین مشخصات ساختاری، اپتیکی و ریخت شناسی سطح لایه‌های نازک از اهمیت زیادی برخوردار است. در این فصل به بررسی و تفسیر خواص فیزیکی لایه‌های نازک اکسید مولیبden تهیه شده با روش‌های اسپری پایرولیزیز و هیدروترمال با پارامترهای مختلف پرداخته شده است.

## ۲-۳ اثر پارامترهای مختلف در رشد لایه‌های نازک $\text{MoO}_3$ به روش اسپری

### پایرولیزیز

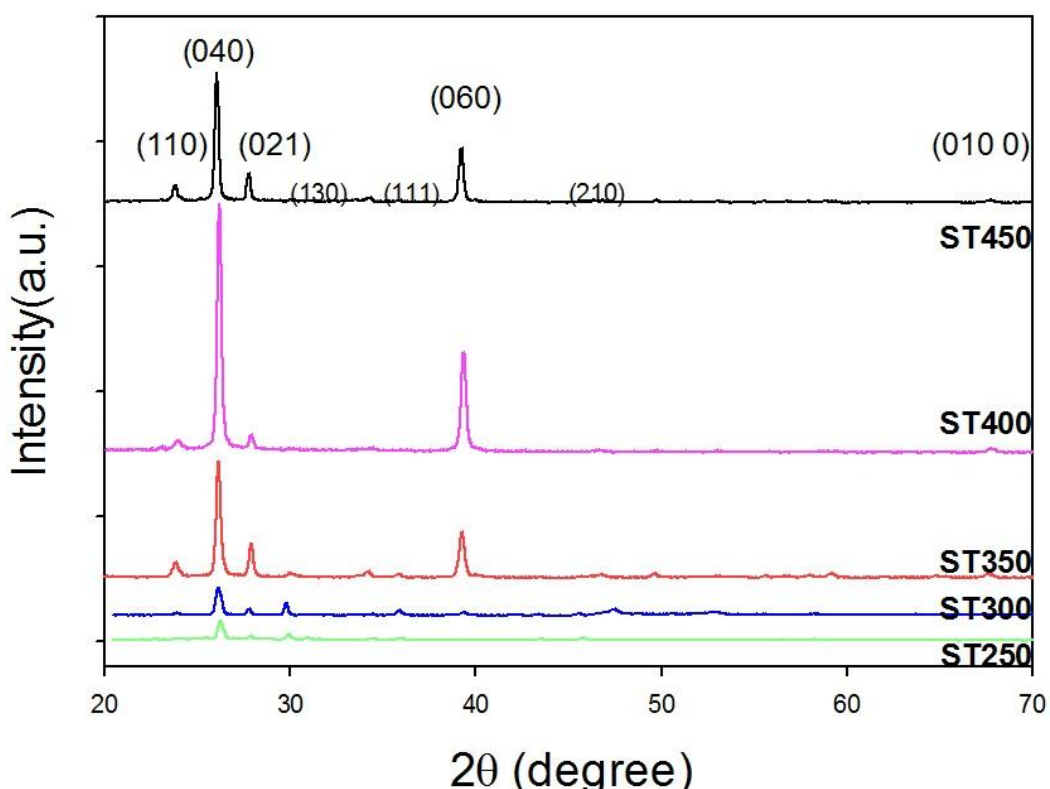
#### ۳-۲-۱ بررسی اثر دمای زیرلایه بر روی خواص فیزیکی $\text{MoO}_3$

در این بخش به مطالعه خواص فیزیکی شامل ریخت شناسی سطح با استفاده از تصاویر FESEM، خواص ساختاری نمونه‌ها با استفاده از الگوی پراش پرتو X و بررسی خواص نوری نمونه‌ها با استفاده از طیف‌های عبوری و بازتاب پرداخته شده است. نمونه‌های اکسید مولیبden از محلول اولیه آمونیوم هپتامولیبدات تتراهیدرات بر روی زیرلایه‌های شیشه‌ای با دماهای متفاوت اسپری گردید، تهیه شدند. نمونه‌های تهیه شده در دماهای زیرلایه ۲۵۰، ۳۰۰، ۳۵۰، ۴۰۰ و ۴۵۰ °C را به ترتیب با نامهای ST۲۵۰، ST۳۰۰، ST۳۵۰، ST۴۰۰ و ST۴۵۰ نام‌گذاری شده‌اند.

#### ۱-۲-۳ بررسی خواص ساختاری نمونه‌ها

شکل ۱-۳ الگوی پراش پرتو X (XRD) نمونه‌های مختلف را نشان می‌دهد. نتایج به دست آمده از این شکل نشان می‌دهد تمام نمونه‌ها در فاز ترمودینامیکی  $\alpha\text{-}\text{MoO}_3$  و در ساختار بلوری راست

گوشه رشد یافته‌اند، که دارای ابعاد شبکه  $a=3/962 \text{ \AA}$  و  $b=13/898 \text{ \AA}$  و  $c=3/697 \text{ \AA}$  است (JCPDS Card No.005-0508) که در کارهای دیگران نیز گزارش شده است [۱۰۹، ۱۰۵]. رشد نمونه‌ها در راستاهای ترجیحی  $(0\bar{4}0)$ ،  $(0\bar{6}0)$  و  $(0\bar{1}00)$  تشکیل یک ساختار لایه‌ای برای نمونه‌ها را نشان می‌دهد. مشاهده می‌شود با افزایش دمای زیرلايه شدت نسبی قله‌های ترجیحی افزایش یافته است. با توجه به رابطه دبای شرر  $(3-2)$  و رابطه‌های  $(4-2)$  و  $(5-2)$  می‌توان به ترتیب اندازه بلورک، کرنش و چگالی درفتگی نمونه‌ها را در راستای ترجیحی  $(0\bar{4}0)$  محاسبه کرد. نتایج در جدول ۱-۳ نشان داده شده است. مشاهده می‌شود مقادیر اندازه بلورک از حدود  $68 \text{ nm}$  برای نمونه ST250 به  $78 \text{ nm}$  برای نمونه ST450 رسیده است. همچنین با توجه به نتایج مربوط به کرنش و چگالی درفتگی مشاهده می‌شود با افزایش دمای زیرلايه مقادیر کرنش و چگالی درفتگی بلوری کاهش یافته است که نشان دهنده بهبود ساختار بلوری با افزایش دمای زیرلايه می‌باشد.



شکل ۱-۳: الگوی پراش پرتو X برای نمونه‌ها با دماهای زیرلايه  $250^\circ\text{C}$ ،  $300^\circ\text{C}$ ،  $350^\circ\text{C}$ ،  $400^\circ\text{C}$  و  $450^\circ\text{C}$

جدول ۱-۳: اندازه بلورک، کرنش، چگالی در رفتگی به دست آمده برای نمونه‌ها با دمای زیرلایه  $300^\circ\text{C}$ ،  $250^\circ\text{C}$  و  $400^\circ\text{C}$ .

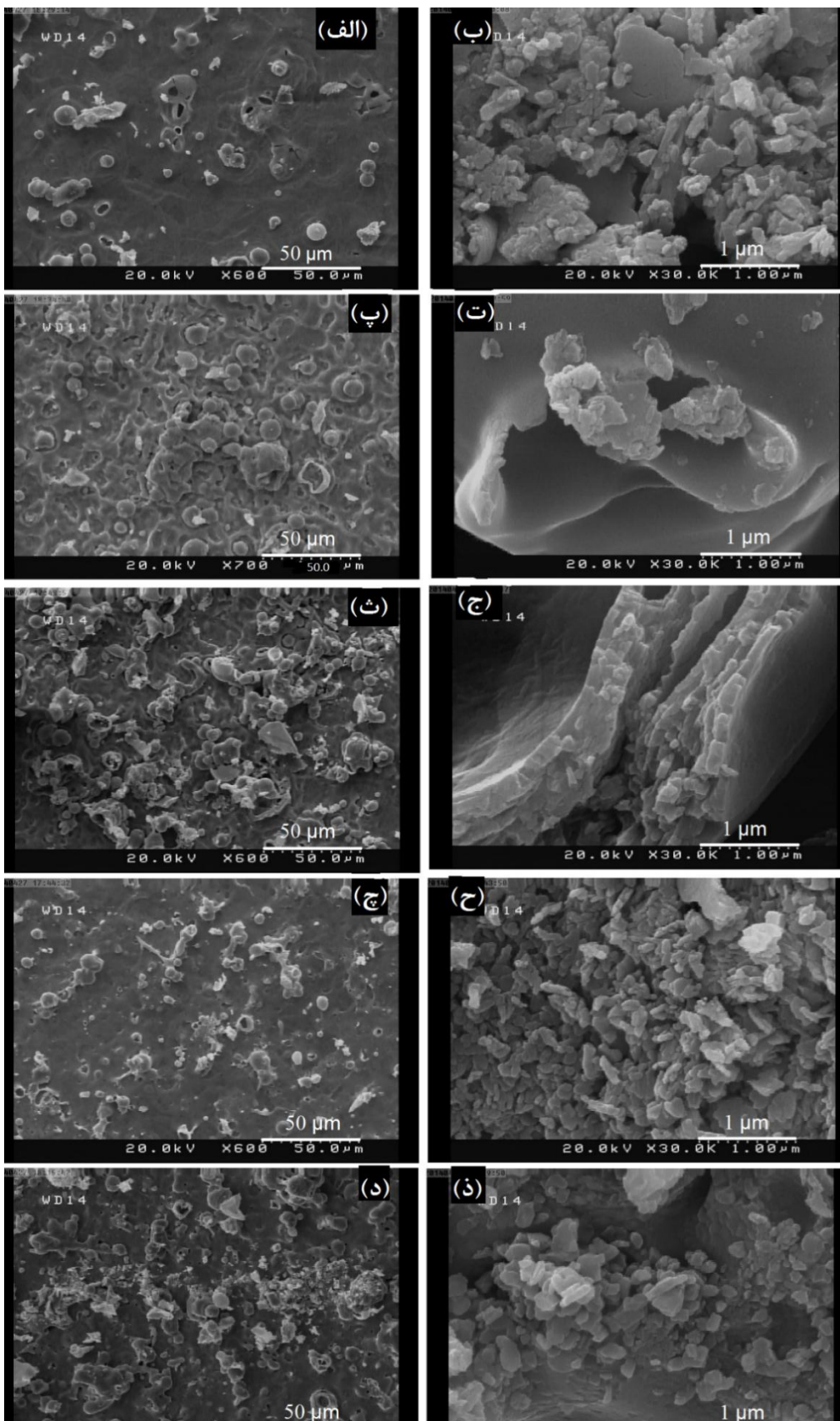
نمونه‌ها	$2\theta$ (degree)	FWHM (rad) $(10^{-3})$	D(nm)	$\epsilon(10^{-4})$	$\delta(10^{-4})$ (nm) $^{-2}$
ST250	۲۵/۷۹	۲/۰۸	۶۸/۱۰	۵/۰۸	۲/۱۵
ST300	۲۵/۷۴	۲/۰۰	۷۰/۱۰	۴/۸۸	۱/۹۸
ST350	۲۶/۶۳	۲/۰۱	۷۳/۸۳	۴/۸۹	۱/۹۹
ST400	۲۶/۱۸	۱/۹۲	۷۳/۹۱	۴/۶۸	۱/۸۳
ST450	۲۶/۰۴	۱/۸۰	۷۸/۸۸	۴/۳۹	۱/۶۰

### ۲-۱-۲-۳ بررسی ریخت شناسی سطح نمونه‌ها

به منظور مطالعه ریخت شناسی سطح نمونه‌ها از تصاویر FESEM استفاده گردید. شکل ۲-۳ تصاویر به دست آمده از نمونه‌های مختلف را در دو مقیاس  $1 \mu\text{m}$  و  $50 \mu\text{m}$  نشان می‌دهد. ملاحظه می‌شود که ساختار سطح نمونه‌ها از توزیع تقریباً یکنواختی از کره‌هایی با قطر  $2 \mu\text{m}$  رشد پیدا می‌کند و دارای تخلخل‌هایی در حد میکرو می‌باشد. رشد چنین ساختارهایی در کارهای دیگران نیز گزارش شده است [۲۸ و ۲۹]. با افزایش دمای زیرلایه این کره‌ها شروع به فروپاشی می‌کنند. همانطور که در تصویر با مقیاس کمتر دیده می‌شود خود کره‌ها به صورت لایه لایه بوده و قطر هر کدام از پوسته‌ها در حدود  $60\text{ nm}$ - $30\text{ nm}$  می‌باشد. افزایش بیشتر دما تا  $450^\circ\text{C}$  از هم پاشیده شدن بیشتر میکرو کره‌ها و تشکیل نانوذراتی به شکل پودر در ابعاد روی سطح را به نمایش می‌کشد. همچنین در تصاویر با مقیاس  $1 \mu\text{m}$  ۱ ذرات راست گوشه را می‌توان دید.

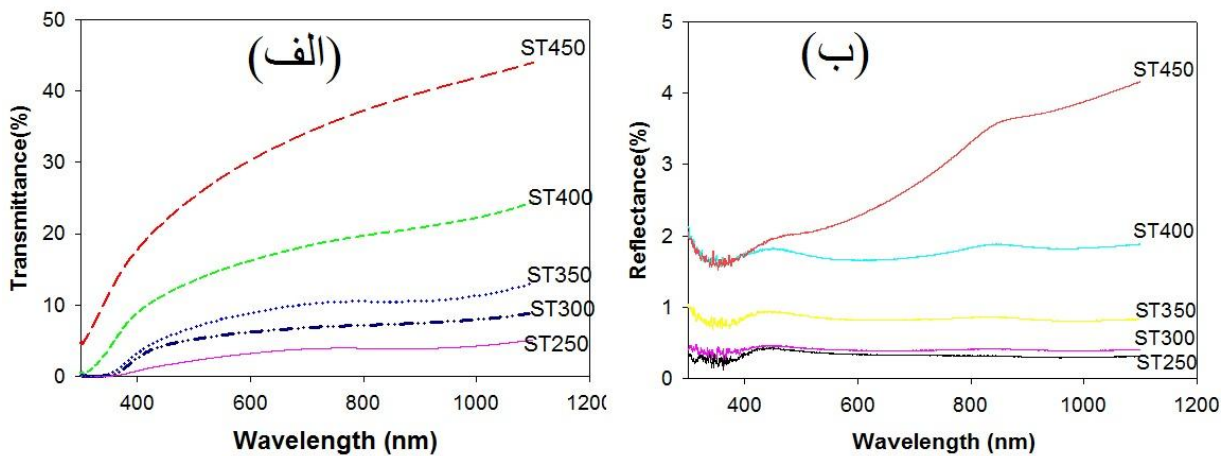
### ۳-۱-۲-۳ بررسی خواص نوری نمونه‌ها

طیف‌های عبوری و بازتابی نمونه‌ها حاصل از طیف سنج نوری در بازه طول موج  $1100\text{ nm}$ - $300\text{ nm}$  در شکل ۳-۳ نشان داده شده است. نتایج به دست آمده بیانگر این است که با افزایش دمای زیرلایه نمونه‌ها شفافتر شده‌اند.



شکل ۳-۲: تصاویر FESEM با مقیاس‌های به ترتیب  $50\text{ }\mu\text{m}$  و  $1\text{ }\mu\text{m}$  نمونه‌های (الف) و (ب) ST $_{45}^0$ ، (پ) و (ت)، ST $_{35}^0$ ، ST $_{40}^0$ ، (چ) و (ج)، ST $_{30}^0$ ، ST $_{25}^0$ ، (ث) و (ذ) و (د).

درصد عبور نور در طول موج ۵۵۰ nm (میانه ناحیه مرئی) از ۲/۷ درصد در نمونه ST۲۵۰ به ST۳۰۰ ۲۷/۸ درصد در نمونه ST۴۵۰ افزایش یافته است. درصد عبور به ترتیب در نمونه‌های ST۴۰۰ و ST۳۵۰ برابر ST۴۰۰، ۸/۰، ۱۴/۹ است. همچنین درصد بازتاب نور در این طول موج برای نمونه‌های ST۲۵۰، ST۳۰۰، ST۳۵۰ و ST۴۰۰ به ترتیب در حدود ۰/۴۰، ۰/۳۶، ۰/۸۳ و ۱/۶۷ و ۲/۱۲ بدست آمد. افزایش شفافیت نمونه‌ها ناشی از بهبود کیفیت ساختار بلوری است. ضخامت نمونه‌ها با استفاده از دستگاه زبری سنج بهدست آمد. ضخامت تمام نمونه‌ها در بازه ۴۵۰ nm محاسبه شد. با داشتن مقادیر ضخامت و با استفاده از رابطه (۶-۲) می‌توان ضریب جذب نمونه‌ها رابر حسب طول موج در بازه ۱۱۰۰-۳۰۰ nm بدست آورد (شکل ۳-۳). نتایج نشان می‌دهد که نمونه‌ها از جذب بالایی در ناحیه فرابنفش برخوردارند و با افزایش دمای زیرلایه این میزان کاهش می‌یابد.



شکل ۳-۳: (الف) طیف عبوری و (ب) بازتابی نمونه‌های اکسید مولیبدن با دماهای زیرلایه ۲۵۰، ۳۰۰، ۳۵۰، ۴۰۰ و ۴۵۰ °C.

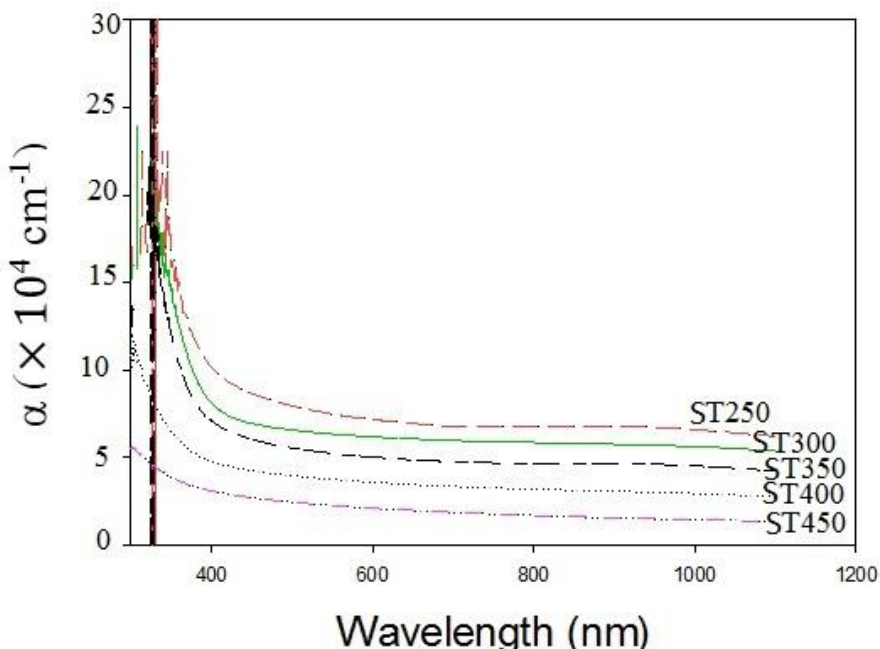
برای تعیین گاف نواری نمونه‌ها بر اساس رابطه (۷-۲)، و با رسم منحنی  $\alpha(hv)^2$  بر حسب  $hv$  و برونویابی نمودار در ناحیه خطی و تقاطع آن با محور افقی، مقدار گاف نواری برای هر نمونه به دست می‌آید. شکل ۳-۵ نمودار  $\alpha(hv)^2$  بر حسب  $hv$  برای نمونه‌های مختلف را نشان می‌دهد. با

توجه به شکل ملاحظه می‌شود با افزایش دمای زیرلايه مقدار گاف نواری نمونه‌ها افزایش یافته است.

گاف نواری برای نمونه‌های ST<sub>250</sub>، ST<sub>300</sub>، ST<sub>350</sub> و ST<sub>400</sub> به ترتیب ۲/۹۳، ۳/۰۹، ۳/۱۴

و ۳/۴۵ eV ۳/۳۴، ۳/۱۴ به دست آمد. که این افزایش می‌تواند به دلیل شفافیت قابل توجه نمونه‌ها و

پرشدگی جزئی تهی جاهای اکسیژن باشد [۲۷].



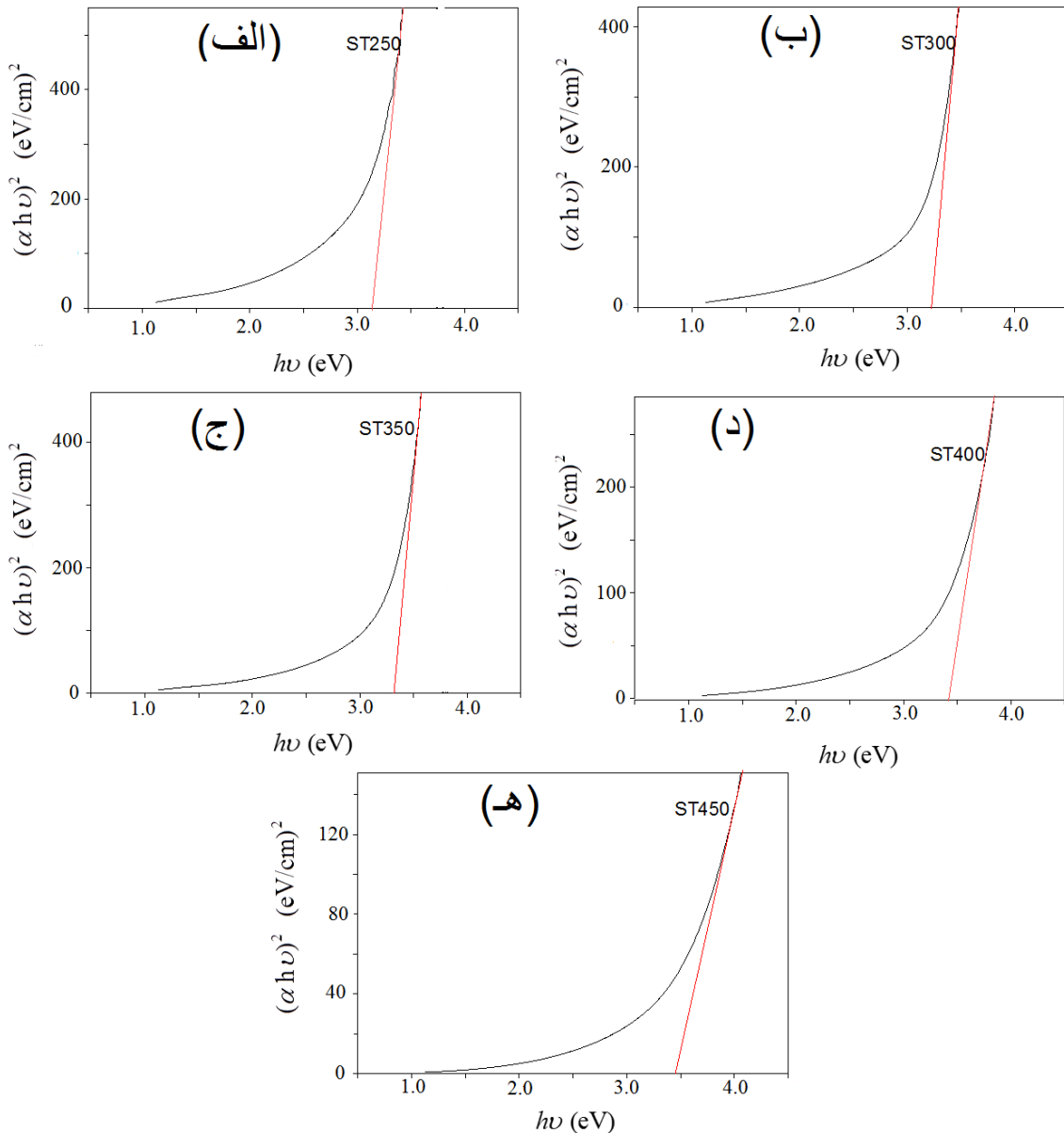
شکل ۴-۳: نمودار ضریب جذب نوری بر حسب طول موج برای نمونه‌ها با دمای زیرلايه ۲۵۰، ۳۰۰، ۳۵۰، ۴۰۰ و ۴۵۰ °C.

### ۲-۲-۳ بررسی اثر غلظت محلول اولیه بر روی خواص فیزیکی $\text{MoO}_3$

برای بررسی اثر غلظت محلول اولیه، محلول آمونیوم مولیبدات تتراهیدرات با غلظت‌های ۰/۰۱، ۰/۰۲

و ۰/۰۵ M در دمای زیرلايه ۴۵۰ °C بر روی زیرلايه‌های شیشه‌ای لایه‌نشانی شد. نمونه‌ها

به ترتیب SM<sub>1</sub>، SM<sub>2</sub>، SM<sub>3</sub> و SM<sub>4</sub> نام‌گذاری شدند.



شکل ۳-۵: نمودار تغییرات گاف نواری برای نمونه‌های (الف) ST۲۵۰، (ب) ST۳۰۰، (ج) ST۳۵۰، (د) ST۴۰۰ و (ه) ST۴۵۰

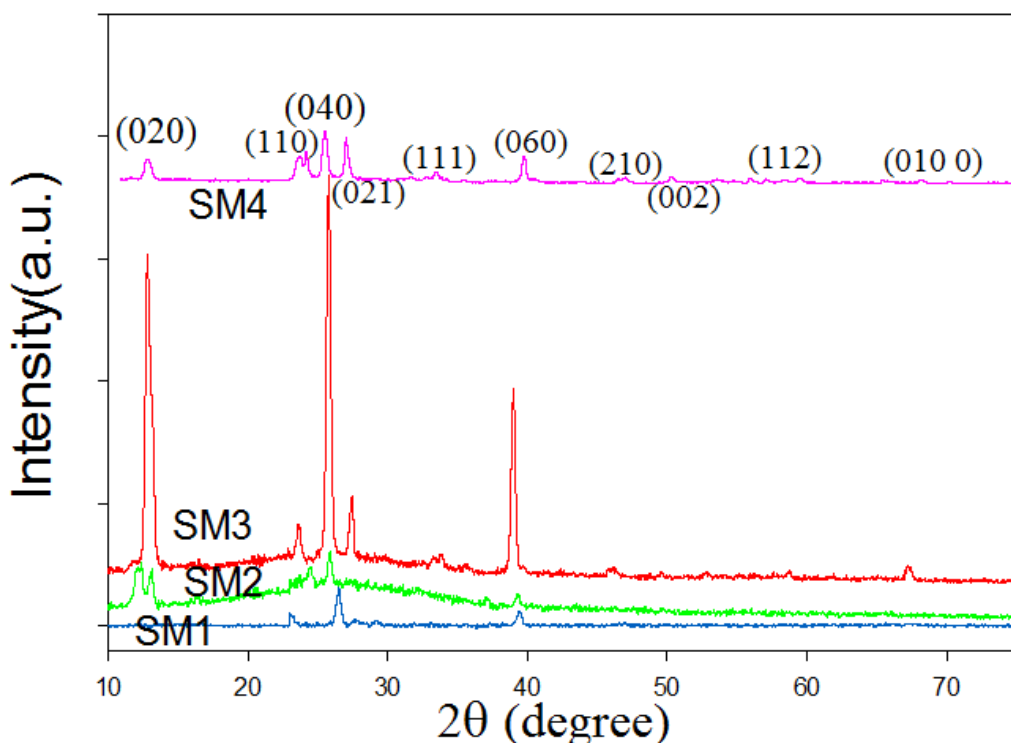
### ۱-۲-۲-۳ بررسی خواص ساختاری نمونه‌ها

الگوهای پراش پرتو X (XRD) لایه‌های نازک اکسید مولیبدن برای نمونه‌ها با غلظت‌های

متفاوت در شکل ۳-۶ نشان داده شده است. قله‌های بازتاب قوی ساختار بلوری راست گوش و فاز  $\alpha$ -

$\text{MoO}_3$  را نشان می‌دهند که دارای ابعاد شبکه  $a = ۳/۹۶۲ \text{ \AA}$ ،  $b = ۱۳/۸۹۸ \text{ \AA}$  و  $c = ۳/۶۹۷ \text{ \AA}$  است

بیشتری است و همچنین قله‌های مربوط صفحات  $\{0k0\}$  و  $k=2, 4$  با افزایش غلظت تا  $M_{0.05}$  شدت بیشتری دارد که می‌تواند نشان‌دهنده تشکیل ساختار لایه‌ای برای این نمونه باشد [۱۰۹]. همچنین با توجه به رابطه‌های  $(3-2)$ ,  $(2-4)$  و  $(5-2)$  می‌توان به ترتیب اندازه بلورک، کرنش و چگالی دررفتگی نمونه‌ها را در راستای ترجیحی  $(040)$  محاسبه کرد. نتایج بدست آمده در جدول ۲-۳ نشان داده شده است، ملاحظه می‌شود با افزایش غلظت اندازه بلورک در راستای صفحه  $(040)$  افزایش در حدود  $10 \text{ nm}$  داشته است. افزایش اندازه بلورک می‌تواند به دلیل افزایش غلظت محلول اولیه، باعث انباست مقدار ماده بیشتری روی زیرلایه شیشه‌ای برای تشکیل لایه نازک شود، بنابراین نیروی الکترواستاتیکی بین ذرات محلول افزایش می‌یابد در نتیجه ذرات بیشتری در کنار هم قرار می‌گیرند و بلورک‌ها بزرگتر می‌شوند [۲۹].



شکل ۳-۶: الگوی پراش پرتو X برای نمونه‌ها با غلظت‌های  $0.01$ ,  $0.02$ ,  $0.05$  و  $M_{0.05}$ .

جدول ۲-۳: اندازه بلورک، کرنش و چگالی در رفتگی به دست آمده برای نمونه‌ها با غلظت‌های ۰/۰۱، ۰/۰۲ و ۰/۰۵ M

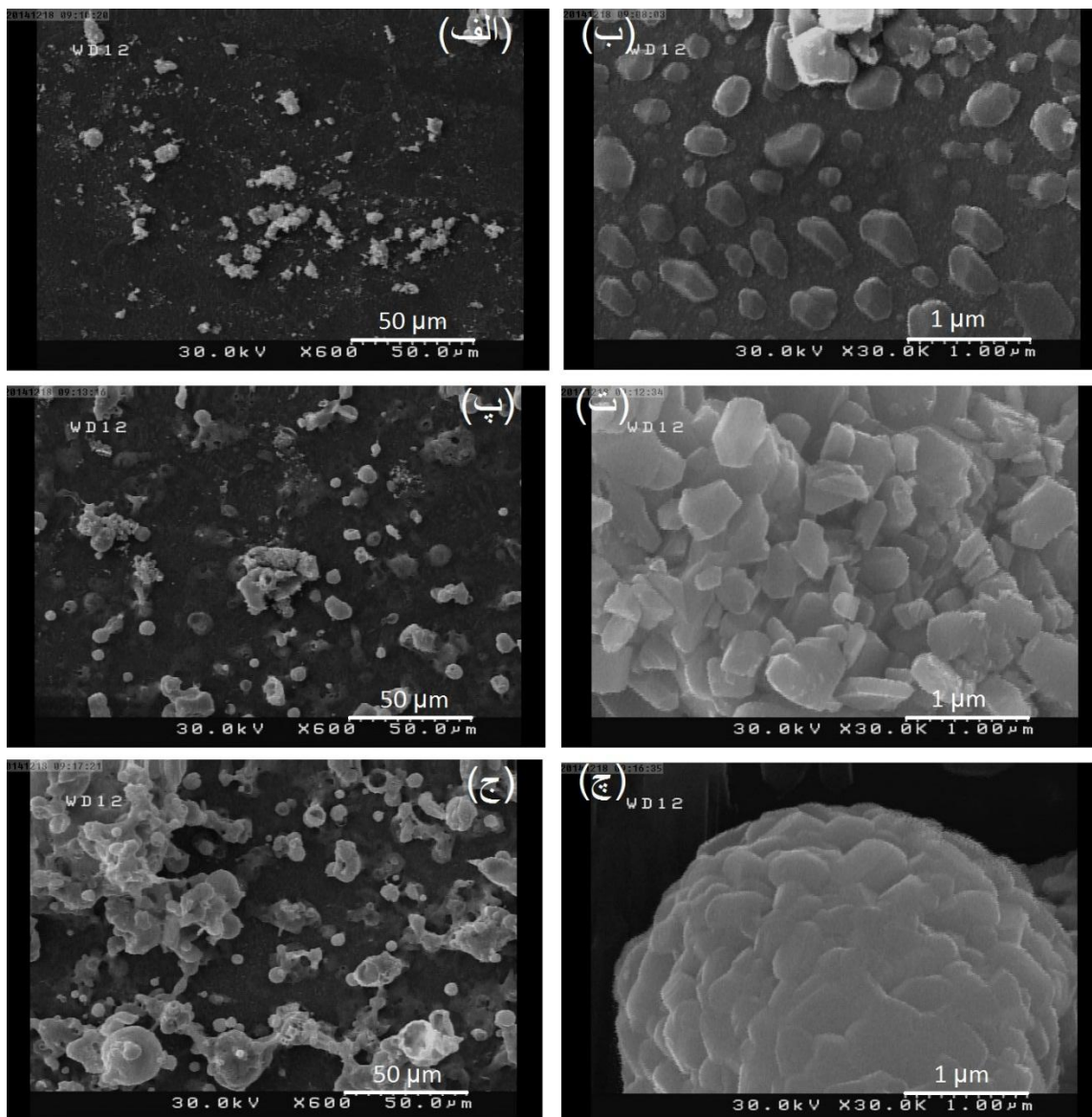
نمونه‌ها	$2\theta$ (degree)	FWHM (rad) ( $10^{-3}$ )	D(nm)	$\epsilon (10^{-4})$	$\delta (10^{-4}) (\text{nm})^{-2}$
SM1	۲۵/۸۳	۲/۶۴	۵۳/۶۸	۶/۴۵	۳/۴۷
SM2	۲۵/۶۵	۲/۶۱	۵۴/۴۱	۶/۳۷	۳/۳۷
SM3	۲۵/۷۰	۲/۵۴	۵۸/۷۹	۵/۸۹	۲/۸۹
SM4	۲۵/۹۲	۲/۲۷	۶۲/۶۳	۵/۵۳	۲/۵۴

### ۲-۲-۲-۳ بررسی ریخت شناسی سطح نمونه‌ها

شکل ۷-۳ تصاویر FESEM به دست آمده از نمونه‌های SM1، SM3 و SM4 را در مقیاس‌های ۱ و  $۵۰ \mu\text{m}$  نشان می‌دهد. ملاحظه می‌شود که ساختار سطح نمونه‌ها با توزیع تقریباً یکنواختی از کره‌هایی با قطر  $۲\mu\text{m}$  رشد پیدا می‌کند [۱۰ و ۲۸]. در تصاویر با مقیاس پایین دیده می‌شود که کره‌ها از ذراتی راست گوشه با ابعادی در حدود  $۵۰-۷۰ \text{ nm}$  می‌باشد. با افزایش بیشتر غلظت نمونه‌ها میکروکره‌های بیشتری در سطح نمونه شکل گرفته است. در نمونه SM1 به دلیل غلظت کم هنوز ساختار لایه‌ای به خوبی تشکیل نشده و همچنین با افزایش غلظت محلول اولیه تا  $۱/۰ \text{ M}$  در نمونه SM4 مشاهده می‌شود که تجمع ذرات روی سطح افزایش پیدا می‌کند.

### ۳-۲-۲-۳ بررسی خواص نوری نمونه‌ها

ضخامت نمونه‌ها با استفاده از دستگاه زبری سنج و با ایجاد پله در هنگام اسپری اندازه‌گیری شد. ضخامت برای نمونه‌های SM1 تا SM4 به ترتیب  $۱۴۰$ ،  $۱۶۰$ ،  $۴۱۰$  و  $۷۲۰ \text{ nm}$  به دست آمد. شکل ۸-۳ طیف عبوری و بازتاب نمونه‌ها را در بازه  $۱۱۰۰-۳۰۰ \text{ nm}$  نشان می‌دهد. مشاهده می‌شود که میزان شفافیت و درصد عبور نمونه‌ها با افزایش غلظت کاهش می‌یابد که می‌تواند به خاطر افزایش ضخامت و پودری شدن سطح نمونه‌ها باشد.



شکل ۷-۳: تصاویر FESEM با مقیاس‌های به ترتیب  $50\text{ }\mu\text{m}$  و  $1\text{ }\mu\text{m}$  نمونه‌های (الف) و (ب) و (پ) و (ت) و (چ) و (ج)

برای نمونه‌های SM<sub>1</sub> تا SM<sub>4</sub> درصد عبور نور در طول موج  $550\text{ nm}$  به ترتیب برابر با ۵۸/۱۷، ۵۸/۹۲، ۲۱/۹۵ و ۱۱/۵۹ و درصد بازتاب نیز به ترتیب برابر با ۰/۷۰، ۰/۹۹، ۲/۸۴، ۲/۶۷ و ۰/۵۹ است. نمودار ضریب جذب نمونه‌ها با توجه به رابطه (۶-۲) به دست می‌آید. شکل ۹-۳ نمودار تغییرات ضریب جذب نمونه‌ها بر حسب طول موج را نشان می‌دهد. مشاهده می‌شود به طور کلی با افزایش غلظت میزان ضریب جذب در بازه طول موجی مرئی کاهش می‌یابد. نتایج نشان می‌دهد که نمونه‌ها از جذب

بالایی در ناحیه فرابنفش برخوردارند و با افزایش درصد غلظت محلول اولیه این میزان افزایش می‌یابد.

شکل ۳-۱۰ نمودار  $\alpha h\nu^2$  بر حسب  $h\nu$  برای نمونه‌های مختلف را نشان می‌دهد. شکل

۳-۱۰(الف) تا (د) به ترتیب گاف نواری نمونه‌های SM۱، SM۲، SM۳ و SM۴ را نشان می‌دهد. با

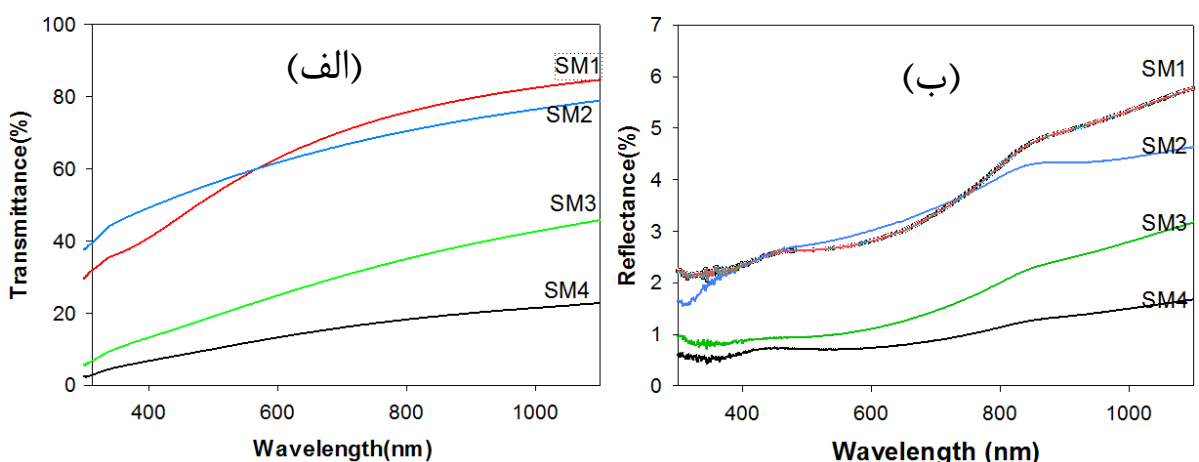
توجه به شکل ملاحظه می‌شود با افزایش غلظت از M۰/۰۱ تا M۰/۰۱۰ گاف نواری نمونه‌ها از ۳/۲۰ eV

تا ۳/۱۷ eV به ترتیب دو نمونه SM۲ و SM۳ می‌باشد. همچنین گاف نواری SM۱ و SM۴ کاهش می‌یابد.

ملاحظه می‌شود با افزایش غلظت محلول اولیه مقدار گاف نواری نمونه‌ها کاهش می‌باشد.

یابد که این کاهش را می‌توان به افزایش ضخامت نمونه‌ها و افزایش اندازه بلورک نمونه‌ها نسبت

داد [۲۹].



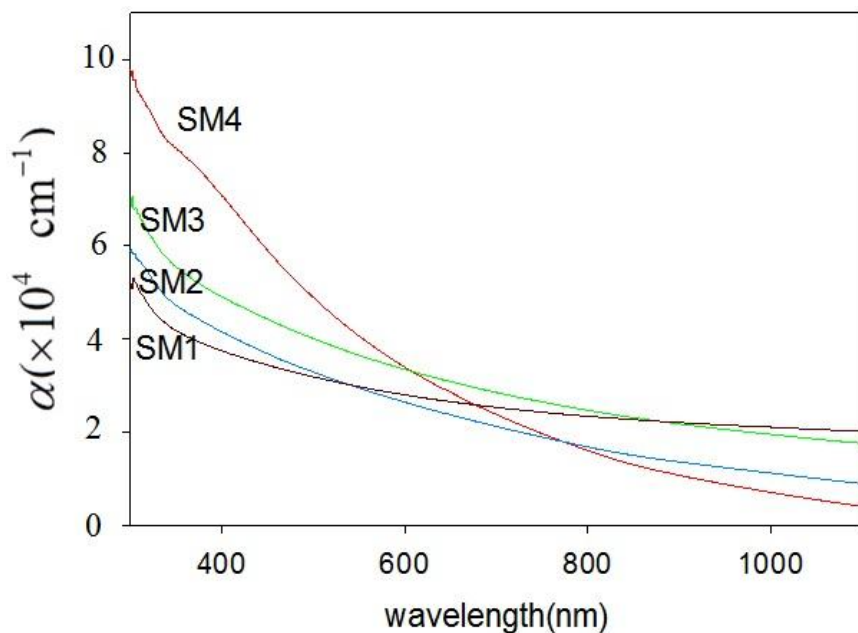
شکل ۳-۸: (الف) طیف عبوری و (ب) بازتابی نمونه‌های اکسید مولیبدن با غلظت‌های ۰/۰۱، ۰/۰۲، ۰/۰۵ و ۰/۰۱ M.

### ۳-۲-۳ بررسی اثر آهنگ لایه نشانی بر روی خواص فیزیکی $\text{MoO}_3$

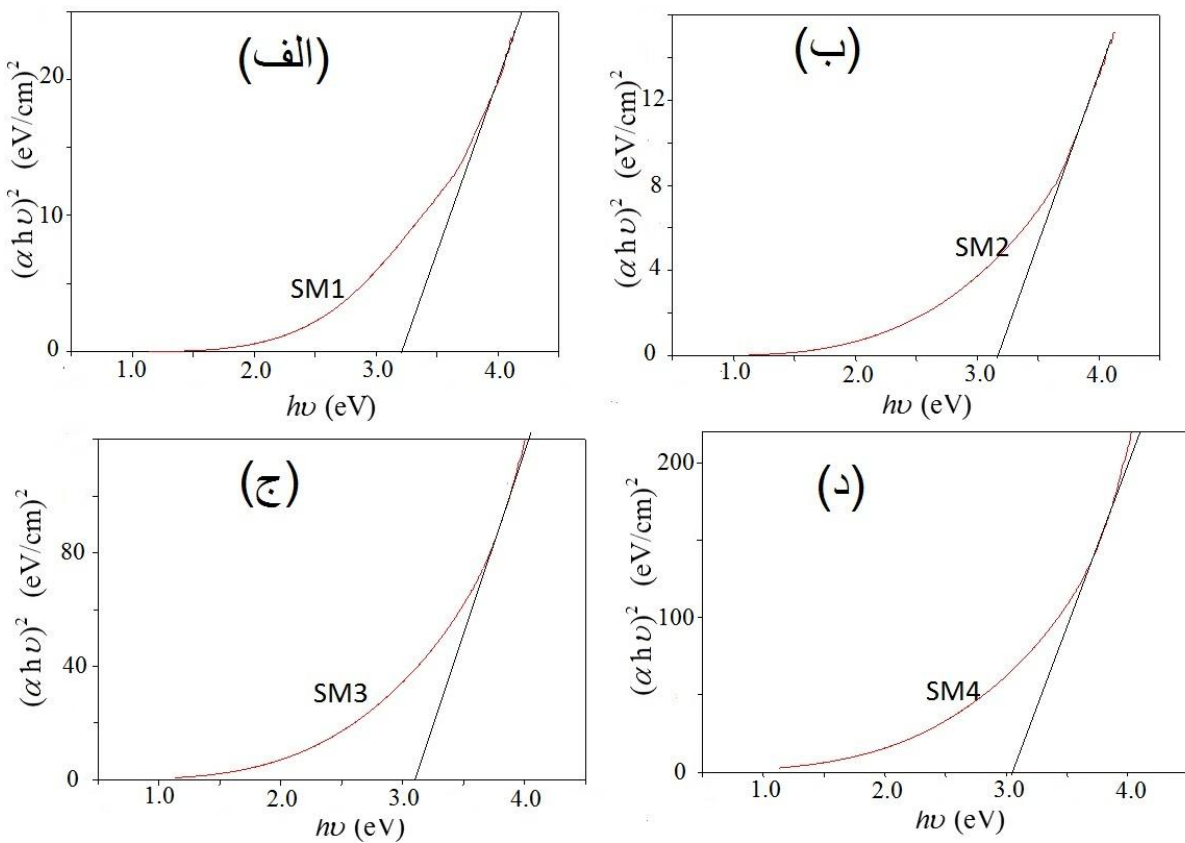
برای بررسی اثر آهنگ لایه نشانی ، محلول آمونیوم مولیبدات تتراهیدرات با غلظت ۰/۰۵ مولار

در دمای زیرلایه ۴۵۰ °C و با آهنگ‌های ۵، ۱۰، ۲۰ mL/min، بر روی زیرلایه‌های شیشه لایه‌نشانی

شد. نمونه‌ها به ترتیب SR۵، SR۱۰ و SR۲۰ نام‌گذاری شدند.



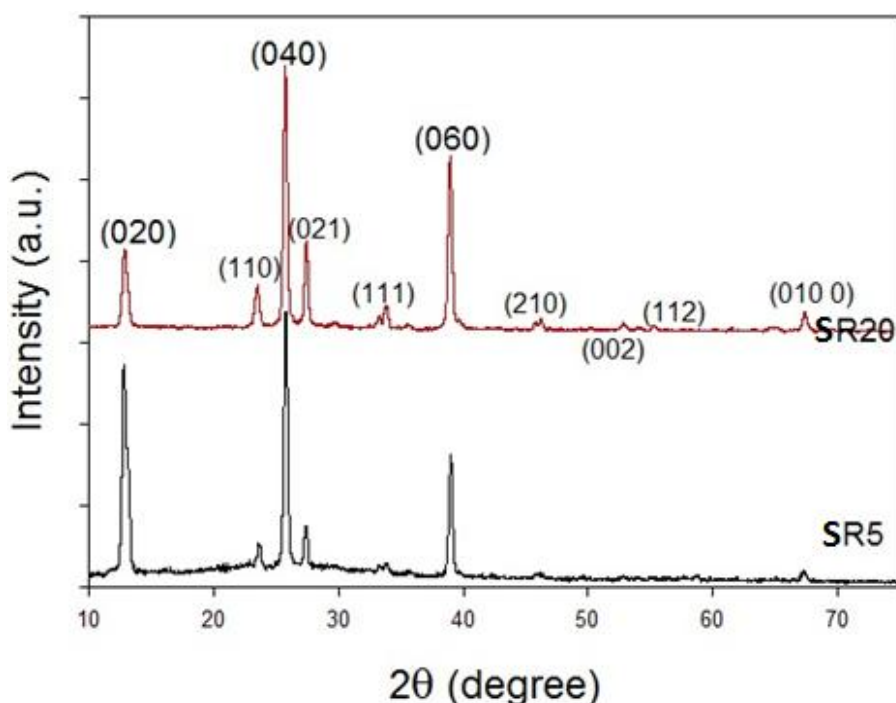
شکل ۹-۳: نمودار ضریب جذب اپتیکی بر حسب طول موج برای نمونه‌ها با غلظت‌های ۰/۰۱، ۰/۰۲، ۰/۰۵ و ۰/۱ M



شکل ۱۰-۳: نمودار تغییرات گاف نواری برای نمونه‌های (الف) SM1، (ب) SM2، (ج) SM3 و (د) SM4

۱-۳-۲-۳ بررسی خواص ساختاری نمونه‌ها

الگوهای پراش پرتو X (XRD) لایه‌های نازک اکسید مولیبدن لایه نشانی شده به روش اسپری پایرولیزیز با آهنگ‌های لایه نشانی ۵ و  $20\text{ mL/min}$  در شکل ۱۱-۳ نشان داده شده است. قله‌های بازتاب نشان دهنده ساختار بلوری راست گوشه و فاز  $\alpha$ - $\text{MoO}_3$  است که دارای ابعاد شبکه  $\text{\AA}$   $a=۳/۹۶۲$ ،  $b=۱۳/۸۹۸\text{ \AA}$  و  $c=۳/۶۹۷\text{ \AA}$  می‌شود (JCPDS Card No. 005-0508). ملاحظه می‌شود که می‌تواند نشان دهنده قله‌های مربوط صفحات  $\{0.k0\}$  و  $\{0.4k2\}$  دارای شدت بیشتری است که می‌تواند نشان دهنده تشکیل ساختار لایه‌ای برای این نمونه باشد [۱۰۹]. همچنین با توجه به رابطه دبای شرر (۳-۲) و رابطه‌های (۴-۲) و (۵-۲) می‌توان به ترتیب اندازه بلورک، کرنش و چگالی دررفتگی نمونه‌ها را در راستای ترجیحی (۰۴۰) محاسبه کرد. نتایج به دست آمده در جدول ۳-۳ نشان داده شده است، ملاحظه می‌شود با افزایش آهنگ لایه نشانی از ۵ تا  $20\text{ mL/min}$  اندازه بلورک در راستای صفحه (۰۴۰) افزایش اندکی داشته است.



شکل ۱۱-۳: الگوی پراش پرتو X برای نمونه‌ها با آهنگ لایه‌نمانی ۵ و  $20 \text{ mL/min}$ .

جدول ۳-۳: اندازه بلورک، کرنش، چگالی در رفتگی به دست آمده برای نمونه‌ها با آهنگ لایه نشانی ۵ و

.۲۰ mL/min

نمونه‌ها	$2\theta$ (degree)	FWHM (rad) $\times 10^{-3}$	D(nm)	$\varepsilon (10^{-4})$	$\delta (10^{-4})$ (nm) $^{-2}$
SR۵	۲۵/۷۰	۲/۴۱	۵۸/۷۹	۵/۸۹	۲/۸۹
SR۲۰	۲۵/۸۱	۲/۳۶	۶۰/۲۱	۵/۷۵	۲/۷۵

### ۲-۳-۲-۳ بررسی ریخت شناسی سطح نمونه‌ها

ریخت شناسی سطح نمونه‌ها با استفاده از تصاویر FESEM مورد مطالعه قرار می‌گیرد. شکل

۱۲-۳ تصاویر به دست آمده از نمونه‌های SR۵ و SR۲۰ را در مقیاس‌های ۱ و  $۵۰ \mu\text{m}$  نشان می‌دهد.

مالحظه می‌شود که ساختار سطح نمونه‌ها با توزیع تقریباً یکنواختی از میکرو کره‌ها رشد پیدا می‌کند.

خود کره‌ها به صورت لایه لایه بوده و قطر هر کدام از پوسته‌ها در حدود  $۵۰-۷۰ \text{ nm}$  می‌باشد [۱۰۹].

همانطور که در تصاویر دیده می‌شود در نمونه SR۵ توزیع یکنواخت‌تر می‌باشد که می‌تواند به دلیل

فرصت کافی رشد برای این نمونه نسبت به دیگر نمونه باشد، با افزایش آهنگ لایه نشانی میکرو کره-

های بیشتری به صورت غیر یکنواخت‌تر در سطح نمونه شکل گرفته است که ناشی از نبود زمان کافی

برای لایه نشانی می‌باشد. در تصاویر در مقیاس  $1 \mu\text{m}$  نیز ذرات راست گوشه مشاهده می‌شود.

### ۳-۳-۲-۳ بررسی خواص نوری نمونه‌ها

شکل ۱۳-۳ طیف عبوری و بازتاب نمونه‌ها را در بازه  $۱۱۰۰-۳۰۰ \text{ nm}$  نشان می‌دهد. مشاهده

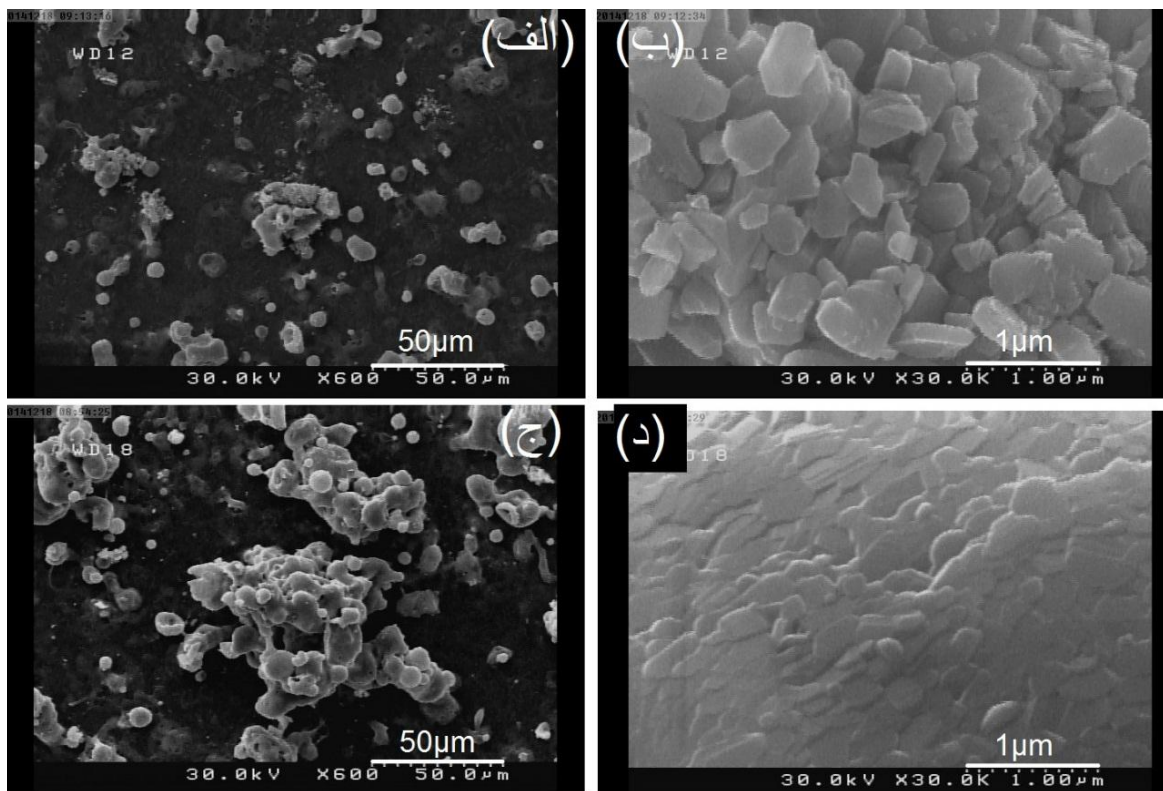
می‌شود که میزان شفافیت و درصد عبور نمونه‌ها با افزایش آهنگ لایه نشانی از نمونه ۵ تا  $5 \text{ mL/min}$

۱۰ تغییر چندانی نداشته ولی با افزایش آهنگ لایه نشانی تا  $20 \text{ mL/min}$  کاهش می‌یابد. برای

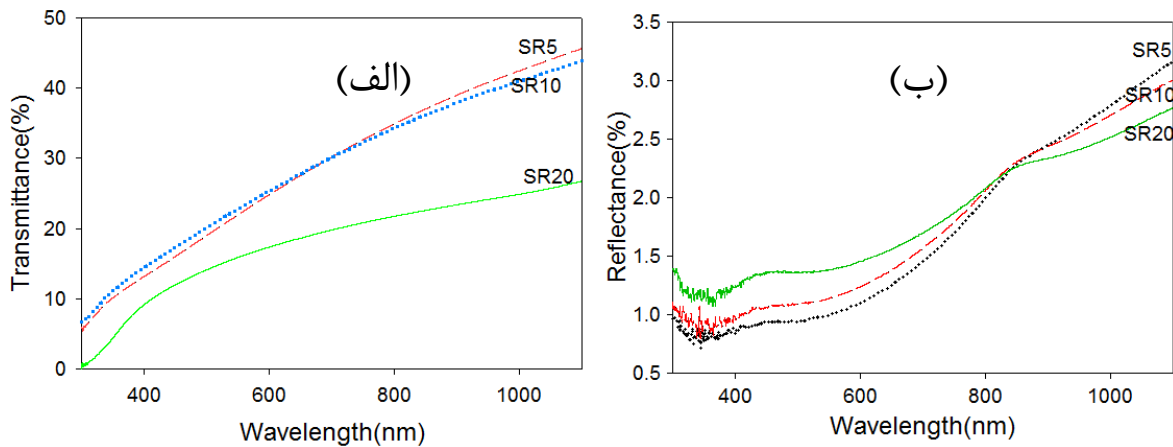
نمونه‌های SR۵ تا SR۲۰ درصد عبور نور در طول موج  $550 \text{ nm}$  به ترتیب برابر با  $21/۹۵$ ،  $21/۹۶$  و  $22/۷۷$

۱۵/۸۸ و درصد بازتاب نیز برای این نمونه‌ها به ترتیب برابر با  $۰/۹۹$ ،  $۱/۱۴$  و  $۱/۳۸$  است. کاهش درصد

عبور می‌تواند به دلیل افزایش ضخامت لایه‌ها باشد [۳۰].



شکل ۱۲-۳: تصاویر FESEM با مقیاس‌های به ترتیب  $50\text{ }\mu\text{m}$  و  $1\text{ }\mu\text{m}$  نمونه‌های (الف) و (ب) SR5، (ج) و SR20. (د)



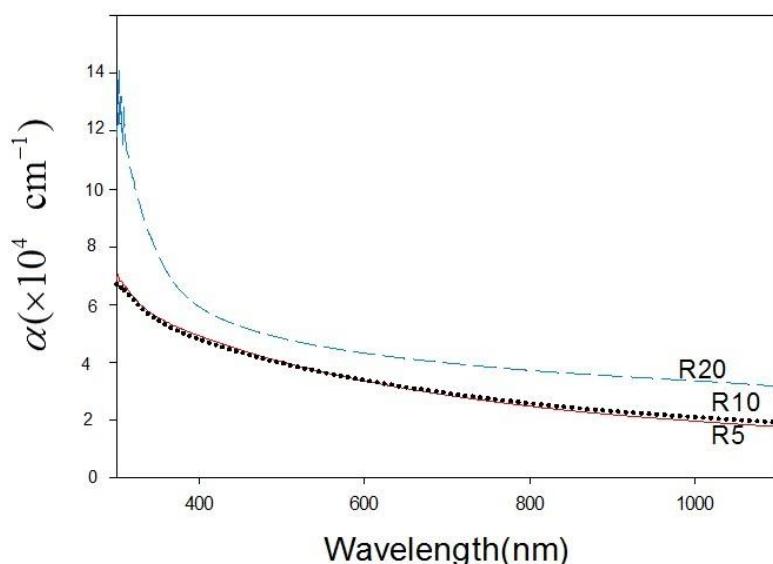
شکل ۱۳-۳: طیف (الف) عبوری و (ب) بازتاب نمونه‌ها با آهنگ‌های لایه‌نشانی ۵، ۱۰، ۲۰  $\text{mL}/\text{min}$ .

شکل ۱۴-۳ نمودار تغییرات ضریب جذب نمونه‌ها بر حسب طول موج را نشان می‌دهد.

مشاهده می‌شود به طور کلی با افزایش آهنگ لایه نشانی میزان ضریب جذب در بازه طول موجی

مرئی افزایش می‌یابد. نتایج نشان می‌دهد که نمونه‌ها و مخصوصاً نمونه SR20 از جذب بالایی در ناحیه فرابنفش برخوردارند [۲۷].

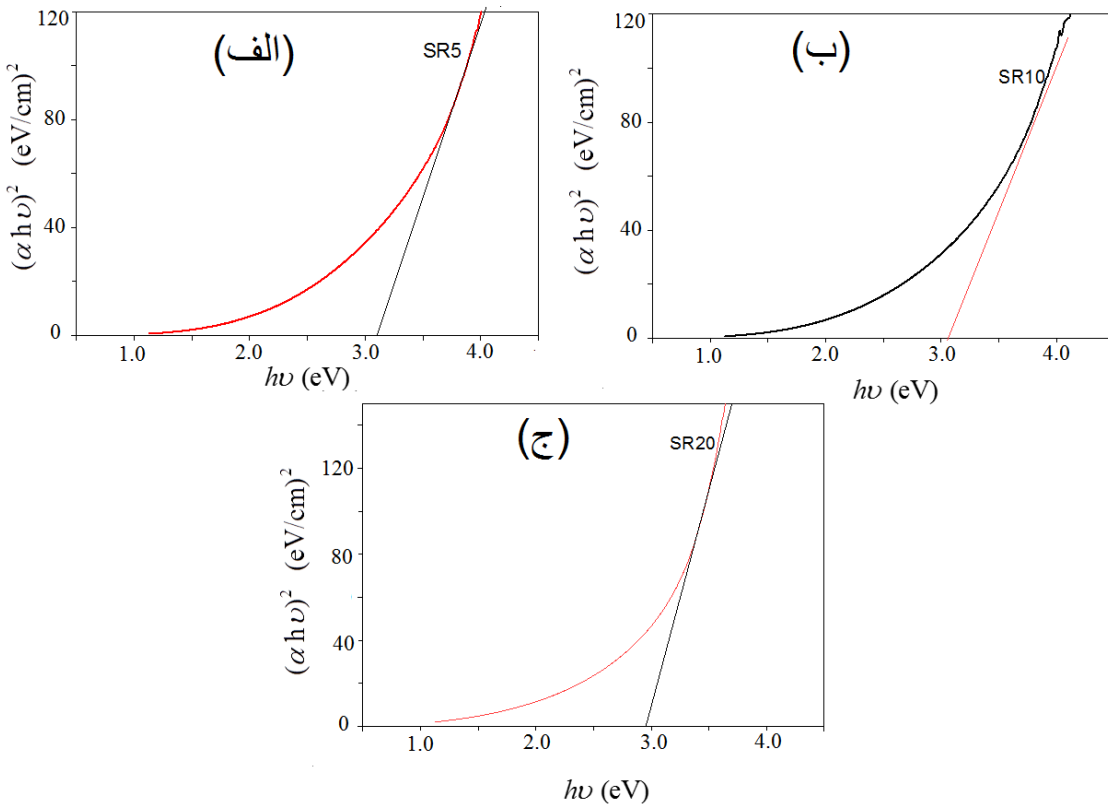
با توجه به رابطه (۷-۲) و با رسم منحنی  $\alpha(h\nu)^2$  بر حسب  $h\nu$  مقدار گاف نواری برای هر نمونه به دست می‌آید. شکل ۱۵-۳ (الف) تا (ج) گاف نواری نمونه‌های SR5، SR10 و SR20 را نشان می‌دهد. با توجه به شکل ملاحظه می‌شود مقادیر گاف نواری نمونه‌های SR5، SR10 و SR20 به ترتیب  $3/10$  eV،  $3/06$  eV و  $2/96$  eV می‌باشد. با افزایش آهنگ لایه نشانی از  $5\text{ mL/min}$  تا  $20\text{ mL/min}$  گاف نواری نمونه‌ها کاهش می‌یابد که می‌تواند به دلیل افزایش اندازه بلورکها و افزایش ضخامت نمونه‌ها باشد [۳۰ و ۲۸].



شکل ۱۴-۳: نمودار ضریب جذب نمونه‌های اکسید مولیبدن با آهنگ‌های لایه نشانی  $5$ ،  $10$ ،  $20\text{ mL/min}$ .

#### ۴-۲-۳ بررسی اثر حجم محلول اولیه بر روی خواص فیزیکی $\text{MoO}_3$

برای بررسی اثر حجم محلول اولیه، محلول آمونیوم مولیبدات تتراهیدرات با حجم‌های  $25$ ،  $50$  و  $75\text{ mL}$  با غلظت  $۰/۰۵$  مولار در دمای زیرلایه  $۴۵۰^{\circ}\text{C}$  و با آهنگ  $5\text{ mL/min}$  بر روی زیرلایه‌های شیشه لایه‌نشانی شد. نمونه‌ها به ترتیب SV50، SV25 و SV75 نام‌گذاری شدند.

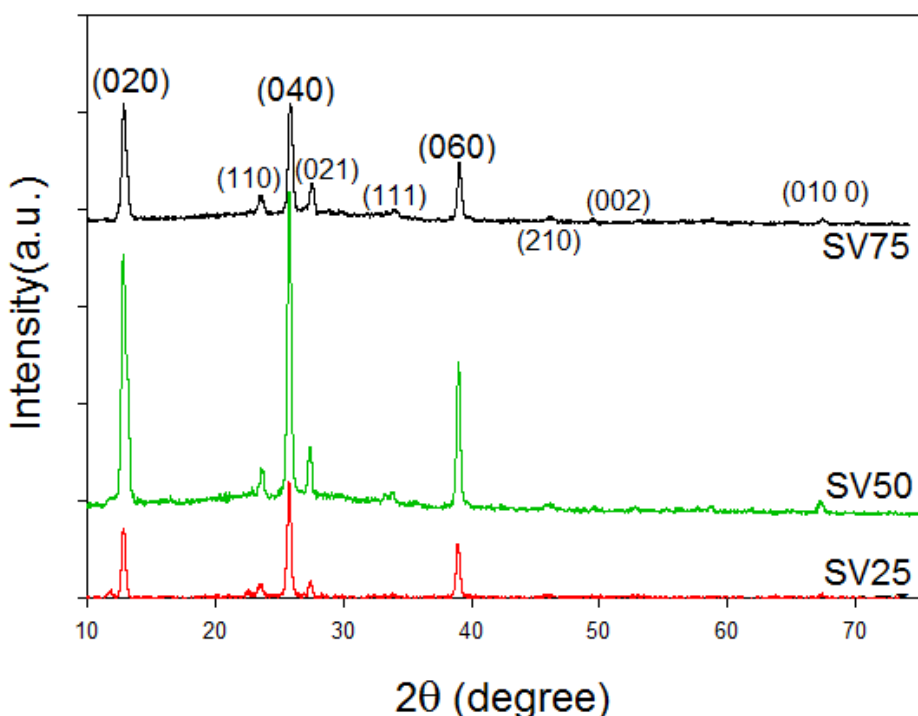


شکل ۱۵-۳: نمودار  $(\alpha h\nu)^2$  بر حسب  $h\nu$  برای نمونه‌های (الف) SR5، (ب) SR10 و (ج) SR20

### ۱-۴-۲-۳ بررسی خواص ساختاری نمونه‌ها

الگوهای پراش پرتو X (XRD) لایه‌های نازک اکسید مولیبدن با حجم محلول اولیه ۵۰، ۲۵ و ۷۵ mL ۷۵ لایه نشانی شده به روش اسپری پایرولیزیز در شکل ۱۶-۳ نشان داده شده است. قله‌های مربوط به ساختار بلوری راست گوشه و فاز  $\alpha$ -MoO<sub>3</sub> است که دارای ابعاد شبکه  $a = 3.962 \text{ \AA}$ ،  $b = 13.898 \text{ \AA}$  و  $c = 3.697 \text{ \AA}$  است (JCPDS Card No. 005-0508). قله‌های مربوط به صفحات  $k=2, 4$  و  $l=0, 6$  دارای شدت بیشتری است که می‌تواند نشان‌دهنده تشکیل ساختار لایه‌ای برای این نمونه باشد، شدت مربوط به این صفحات در نمونه با حجم محلول ۵۰ mL بیشتر است که نشان دهنده تشکیل ساختار لایه‌ای در این نمونه است. همچنین اندازه بلورک، کرنش و چگالی در رفتگی نمونه‌ها را در راستای ترجیحی (۰۰۴) محاسبه و در جدول ۴-۳ نشان داده شده است، ملاحظه می‌شود با افزایش حجم محلول از ۷۵ mL تا ۲۵ mL مقدار اندازه بلورک در راستای صفحه (۰۰۴)

افزایشی در حدود ۵ nm پیدا کرده است. افزایش اندازه بلورک می‌تواند به دلیل افزایش حجم محلول اولیه مقدار ماده بیشتری روی زیرلایه وجود دارد، بنابراین نیروی الکترواستاتیکی بین ذرات محلول افزایش می‌یابد در نتیجه ذرات بیشتری کنار هم قرار می‌گیرند و بلورک بزرگتری را به وجود می-آورند [۲۹ و ۳۰].



شکل ۱۶-۳: الگوی پراش پرتو X برای نمونه‌ها با حجم محلول ۰.۷۵ mL و ۵۰، ۲۵ و ۰.۷۵ mL.

جدول ۳-۴: اندازه بلورک، کرنش، چگالی در رفتگی به دست آمده برای نمونه‌ها با با حجم محلول محلول ۰.۷۵ mL و ۵۰، ۲۵ و ۰.۷۵ mL.

نمونه‌ها	$2\theta$ (degree)	FWHM (rad) $(10^{-3})$	D(nm)	$\varepsilon (10^{-4})$	$\delta (10^{-4}) (nm)^{-2}$
SV25	۲۵/۷۰	۲/۴۵	۵۷/۹۲	۵/۹۸	۲/۹۸
SV50	۲۵/۷۰	۲/۴۱	۵۸/۷۹	۵/۸۹	۲/۸۹
SV75	۲۵/۸۵	۲/۲۶	۶۲/۹۱	۵/۵۰	۲/۵۲

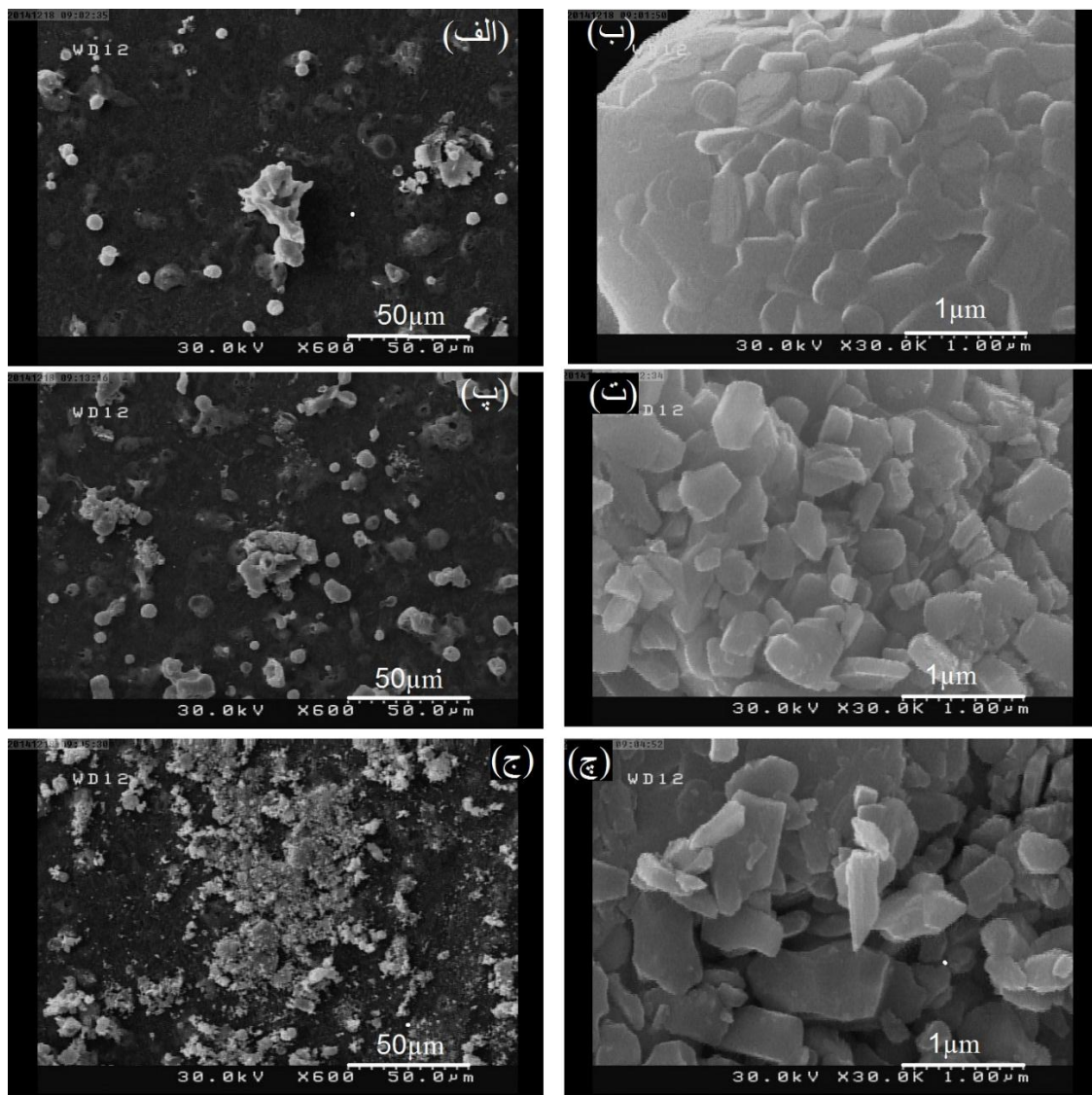
### ۲-۴-۲-۳ بررسی ریخت شناسی سطح نمونه‌ها

از تصاویر FESEM به منظور مطالعه ریخت شناسی سطح نمونه‌ها استفاده گردید. شکل ۱۷-۳ تصاویر به دست آمده از نمونه‌های SV۲۵ و SV۵۰ را در دو مقیاس ۱ و  $50 \mu\text{m}$  نشان می‌دهد. ملاحظه می‌شود که ساختار سطح نمونه‌ها با توزیع تقریباً یکنواختی از کره‌هایی با قطر در حدود  $2 \mu\text{m}$  رشد پیدا می‌کند [۱۰]. خود کره‌ها به صورت لایه لایه بوده و قطر هر کدام از پوسته‌ها در حدود  $70 \text{ nm}$ - $30 \text{ nm}$  می‌باشد. همانطور که در تصاویر دیده می‌شود با افزایش حجم محلول مقدار کره‌های بیشتری روی سطح نمونه قرار گرفته‌اند و همچنین تصاویر با مقیاس  $1 \mu\text{m}$  ذرات راست گوشه نمونه‌ها را نشان می‌دهد.

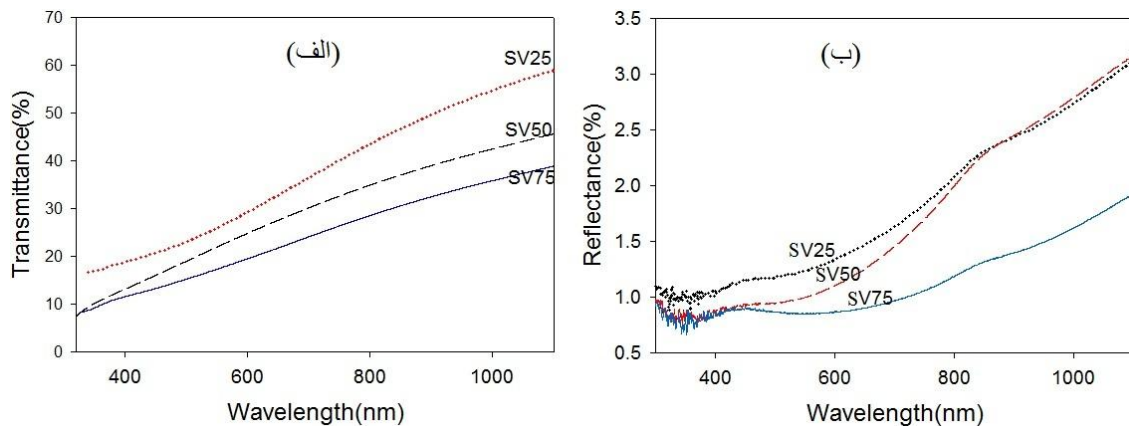
### ۳-۴-۲-۳ بررسی خواص نوری نمونه‌ها

طیف‌های عبوری و بازتابی نمونه‌ها حاصل از طیف سنج نوری در بازه طول موجی  $1100 \text{ nm}$ - $550 \text{ nm}$  در شکل ۱۸-۳ نشان داده شده است. نتایج به دست آمده بیانگر این است که با افزایش حجم محلول اولیه میزان شفافیت نمونه‌ها کاهش پیدا کرده است، به طوری که درصد عبور نور در طول موج  $25/94$  درصد در نمونه SV۲۵ به  $21/95$  و  $17/31$  درصد به ترتیب در نمونه‌های SV۵۰ و SV۷۵ از  $25/94$  درصد در نمونه SV۲۵ به  $21/95$  و  $17/31$  درصد به ترتیب در نمونه‌های SV۵۰ و SV۷۵ کاهش می‌یابد. همچنین درصد بازتاب در این طول موج برای نمونه‌های SV۲۵، SV۵۰ و SV۷۵ به ترتیب در حدود  $1/23$ ،  $1/99$  و  $0/85$  به دست آمد. کاهش درصد عبور نور با افزایش حجم SV۷۵ می‌توارد به دلیل افزایش ماهیت بس بلوری نمونه‌ها و افزایش زبری سطح نمونه‌ها باشد [۱۰].

ضخامت نمونه‌ها با استفاده از دستگاه زبری برای نمونه‌های SV۲۵، SV۵۰ و SV۷۵ به ترتیب  $350$ ،  $410$  و  $590 \text{ nm}$  به دست آمد. با داشتن مقادیر ضخامت و با استفاده از رابطه (۶-۲) می‌توان ضریب جذب نمونه‌ها را بازه طول موجی  $1100$ - $300 \text{ nm}$  به دست آورد. شکل ۱۹-۳ نتایج به دست آمده برای ضریب جذب را نشان می‌دهد. نتایج نشان می‌دهد که نمونه‌ها از جذب بالایی در ناحیه فرابینفس برخوردارند و همچنین با افزایش حجم محلول، ضریب جذب افزایش می‌یابد.

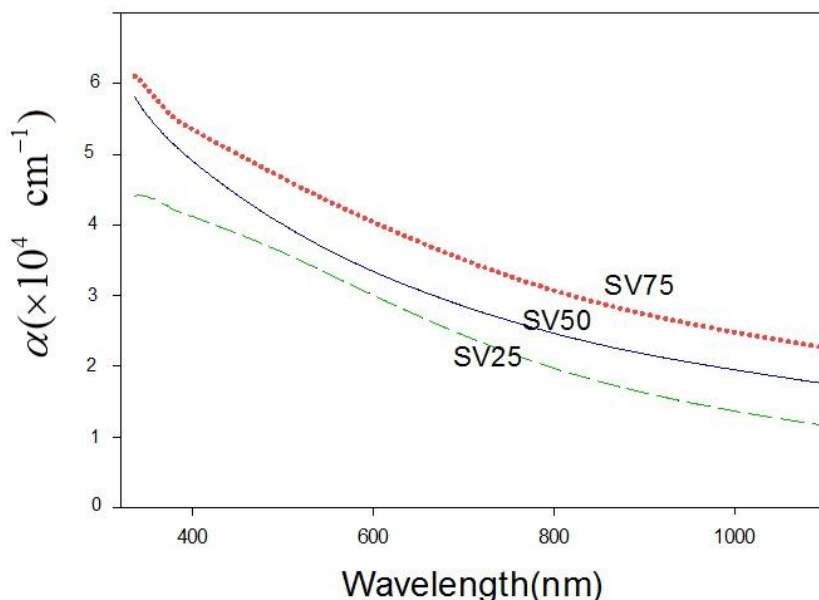


شکل ۳: تصاویر FESEM با مقیاس‌های به ترتیب  $50\text{ }\mu\text{m}$  و  $1\text{ }\mu\text{m}$  برای نمونه‌های با حجم‌های (الف) و (ب) ( $25\text{ mL}$ ) و (پ) و (ت) ( $50\text{ mL}$ ) و (ج) ( $75\text{ mL}$ )

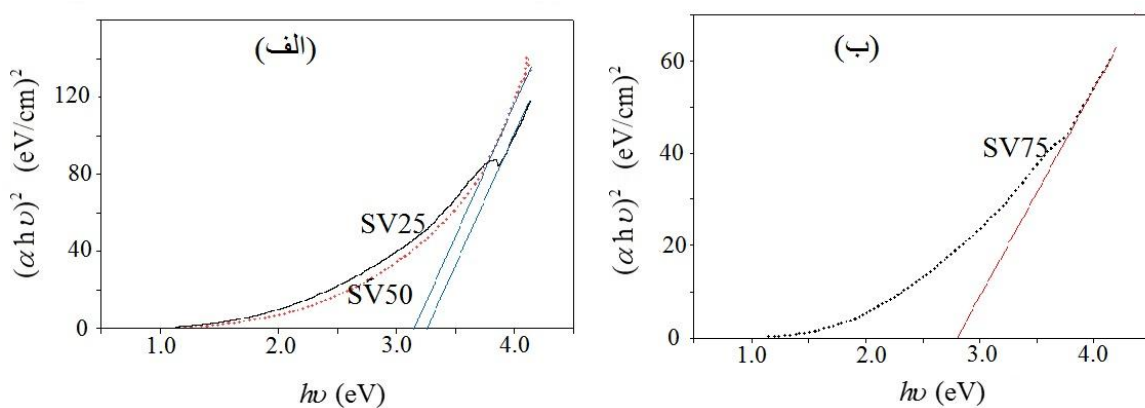


شکل ۴: (الف) طیف عبوری و (ب) بازتابی نمونه‌های اکسید مولیبدن با حجم محلول  $25\text{ mL}$ ،  $50\text{ mL}$  و  $75\text{ mL}$

گاف نواری نمونه‌ها بر اساس رابطه (۷-۲) و با رسم منحنی  $(\alpha h\nu)^2$  بر حسب  $h\nu$  به دست می‌آید. شکل ۳-۲۰ نمودار  $(\alpha h\nu)^2$  بر حسب  $h\nu$  برای نمونه‌های مختلف را نشان می‌دهد. ملاحظه می‌شود با افزایش حجم محلول مقدار گاف نواری نمونه‌ها کاهش یافته است. گاف نواری برای نمونه‌های SV25، SV50 و SV75 به ترتیب  $3/27$ ،  $3/10$  و  $2/80$  eV به دست آمد. مشاهده می‌شود روند نزولی گاف نواری با روند صعودی اندازه بلورک‌ها و افزایش ضخامت نمونه‌ها مطابقت دارد [۲۹].



شکل ۳-۱۹: نمودار ضریب جذب اپتیکی بر حسب طول موج برای نمونه‌ها با حجم محلول ۵۰، ۲۵ و ۷۵ mL.



شکل ۳-۲۰: نمودار  $(\alpha h\nu)^2$  بر حسب  $h\nu$  برای نمونه‌های (الف) SV25 و SV50 و (ب) SV75

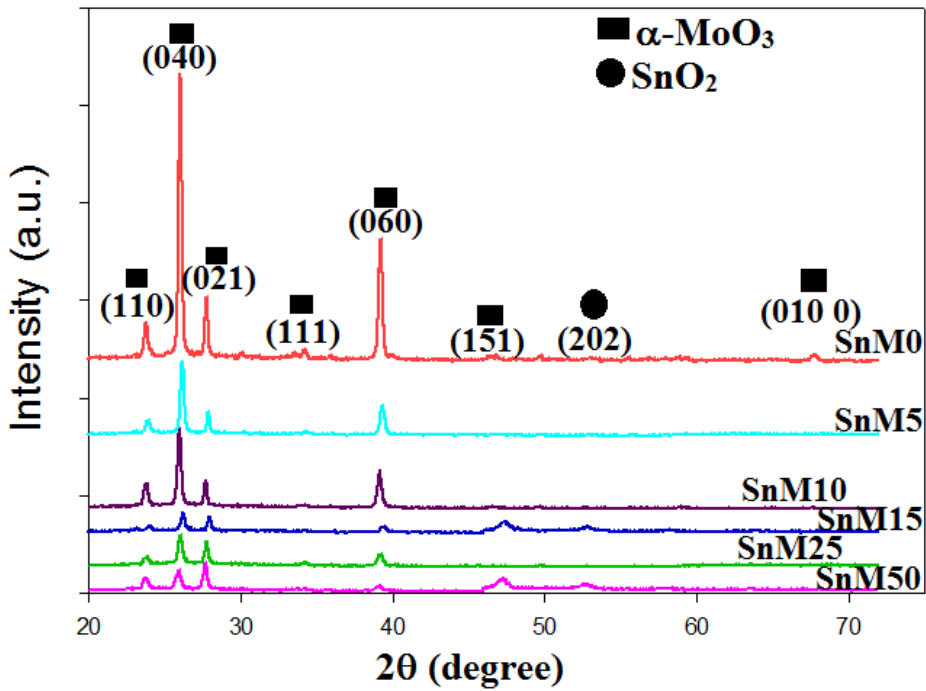
### ۵-۲-۳ بررسی اثر آلایش $\text{Sn}$ با درصدهای مختلف بر روی خواص فیزیکی $\text{MoO}_3$

در این بخش به اثر آلایش قلع بر روی خواص ساختاری، نوری و ریخت شناسی سطح لایه‌های نازک اکسید مولیبدن پرداخته شده است. برای تهیه محلول اولیه از  $50 \text{ mL}$  محلول آمونیوم مولیبدات تتراهیدرات با غلظت  $0.05 \text{ مولار}$  و مقادیر مختلف از کلرید قلع دو آبه ( $\text{SnCl}_2 \cdot 2\text{H}_2\text{O}$ ) استفاده شد. محلول بر روی زیرلایه‌های شیشه و با روش اسپری پایولیزیز لایه نشانی شد. نمونه بدون آلایش  $\text{SnM}^0$  نام‌گذاری شد و نمونه‌ها با آلایش نسبت‌های مولی  $[\text{Sn}]/[\text{Mo}]$  :  $0.05, 0.10, 0.15, 0.20, 0.25$  و  $0.50$  به ترتیب با نام‌های  $\text{SnM}^5$ ،  $\text{SnM}^{10}$ ،  $\text{SnM}^{15}$ ،  $\text{SnM}^{25}$  و  $\text{SnM}^{50}$  نام‌گذاری شدند.

### ۱-۵-۲-۳ بررسی خواص ساختاری نمونه‌ها

برای بررسی خواص ساختاری نمونه‌ها از الگوی پراش پرتو X که در شکل ۲۱-۳ نشان داده شده است، استفاده شده است. الگو مربوط به نمونه خالص دارای فاز پایدار  $\alpha-\text{MoO}_3$  با ساختار بلوری (JCPDS) راست گوش است که دارای ابعاد شبکه  $a = 3.962 \text{ \AA}$ ،  $b = 13.898 \text{ \AA}$  و  $c = 3.697 \text{ \AA}$  است (Card No. 005-0508). قله‌های مربوط به ساختارهای قلع در اکثر نمونه‌ها دیده نمی‌شود، فقط یک قله ضعیف در زاویه  $2\theta = 52/74^\circ$  مربوط به فاز  $\text{SnO}_2$  با ساختار بلوری راست گوش در نمونه‌های  $\text{SnM}^0$  و  $\text{SnM}^5$  دیده می‌شود (JCPDS Card No. 029-1484). همچنین با افزایش میزان آلایش شدت قله‌های مربوط به صفحات  $(040)$  و  $(060)$  کاهش می‌یابد [۱۶].

با توجه به رابطه‌های (۳-۲)، (۴-۲) و (۵-۲) می‌توان به ترتیب اندازه بلورک، کرنش و چگالی دررفتگی نمونه‌ها را در راستای ترجیحی ( $040$ ) محاسبه کرد. نتایج به دست آمده در جدول ۵-۳ نشان داده شده است، ملاحظه می‌شود با افزودن آلایش از نمونه بدون آلایش  $\text{SnM}^0$  تا  $5.0\%$  در نمونه  $\text{SnM}^5$  اندازه بلورک‌ها در راستای صفحه ( $040$ ) به ترتیب از  $78/88 \text{ nm}$  به  $23/24 \text{ nm}$  کاهش می‌یابد، همچنین با افزایش میزان آلایش مقادیر چگالی دررفتگی و کرنش افزایش یافته‌اند که نشان-دهنده کاهش کیفیت بلوری با افزایش آلایش می‌باشد.



شکل ۲۱-۳: الگوی پراش پرتو X برای نمونه‌های  $\text{MoO}_3$  با درصد آلایش مختلف Sn.

جدول ۳-۵: اندازه بلورک، کرنش و چگالی در رفتگی به دست آمده برای نمونه‌ها با درصد آلایش متفاوت Sn.

نمونه‌ها	$2\theta$ (degree)	FWHM (rad) $(10^{-3})$	D(nm)	$\varepsilon(10^{-3})$	$\delta(10^{-3})$ (nm) $^{-2}$
SnM•	۲۶/۰۲	۱/۷۸	۷۸/۸۸	۰/۴۳	۰/۱۶
SnM۵	۲۶/۱۶	۱/۹۸	۷۱/۷۱	۰/۴۸	۰/۱۹
SnM۱۰	۲۵/۹۸	۲/۰۹	۶۸/۰۰	۰/۵۰	۰/۲۱
SnM۱۵	۲۶/۲۳	۴/۱۹	۳۳/۹۵	۱/۰۲	۰/۸۶
SnM۲۵	۲۶/۰۴	۴/۶۷	۳۰/۴۱	۱/۱۳	۱/۰۸
SnM۵•	۲۵/۹۳	۶/۱۲	۲۳/۲۴	۱/۴۹	۱/۸۰

## ۲-۵-۲-۳ بررسی ریخت شناسی سطح نمونه‌ها

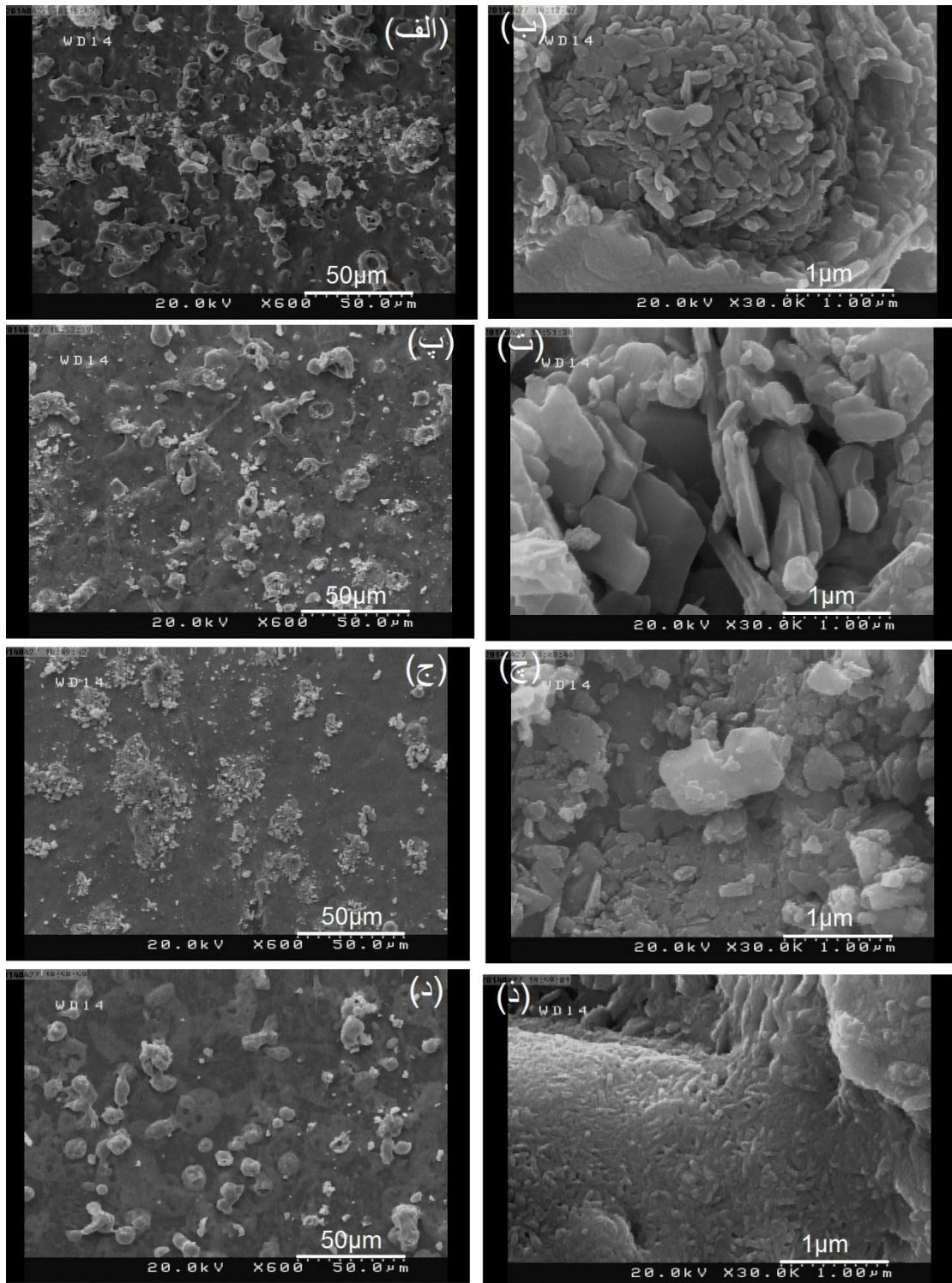
تصاویر FESEM مربوط به نمونه‌های SnM۱۰، SnM۵ و SnM۱۵ در شکل ۲۲-۳ و ۲۳-۳ در

تصاویر FESEM مربوط به نمونه‌های SnM۵۰ و SnM۲۵ در شکل ۲۳-۳ آورده شده است. تصاویر در

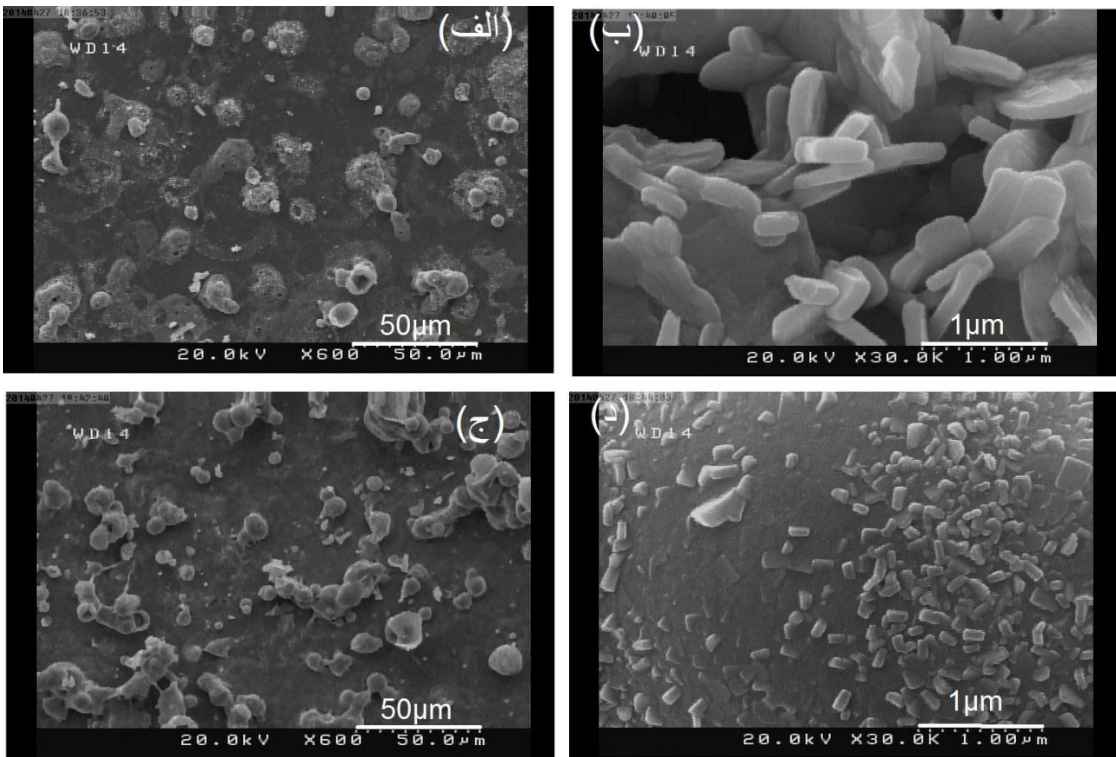
دو مقیاس ۱ و ۵۰  $\mu\text{m}$  نشان داده شده است. ملاحظه می‌شود با افزایش میزان ناخالصی نانوذراتی

روی کره‌های مربوط به  $\text{MoO}_3$  تشکیل می‌شود که می‌توان اثر ناخالصی Sn روی لایه‌های نازک

اکسید مولیبدن باشد. که با افزایش میزان ناخالصی تا ۵۰٪ روی کره مقدار زیادی از ذرات مکعبی شکل قرار گرفته است. این ذرات ابعادی در حدود ۶۰-۱۲۰ nm دارند.



شکل ۳-۲۲: تصاویر FESEM با مقیاس‌های به ترتیب  $50\text{ }\mu\text{m}$  و  $1\text{ }\mu\text{m}$  ۱ نمونه‌های (الف) و (ب) ، SnM<sub>0.5</sub> و (پ) و (ت) ، SnM<sub>1.0</sub> و (ج) و (چ) و (د) و (ذ) و (ذ)



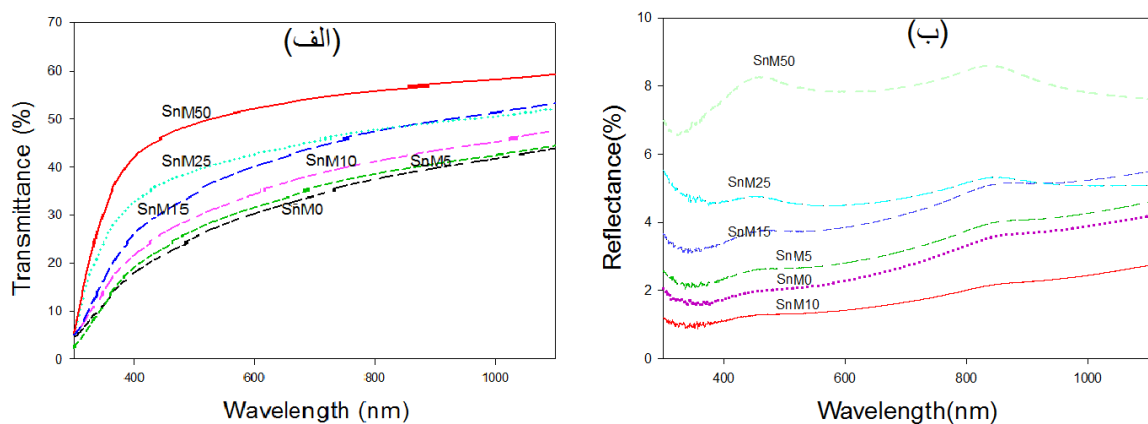
شکل ۳-۲۳: تصاویر FESEM با مقیاس‌های به ترتیب  $50\text{ }\mu\text{m}$  و  $1\text{ }\mu\text{m}$  نمونه‌های (الف) و (ب) SnM۲۵، SnM۵۰ و (ج) و (د) SnM۱۰

### ۳-۵-۲-۳ بررسی خواص نوری نمونه‌ها

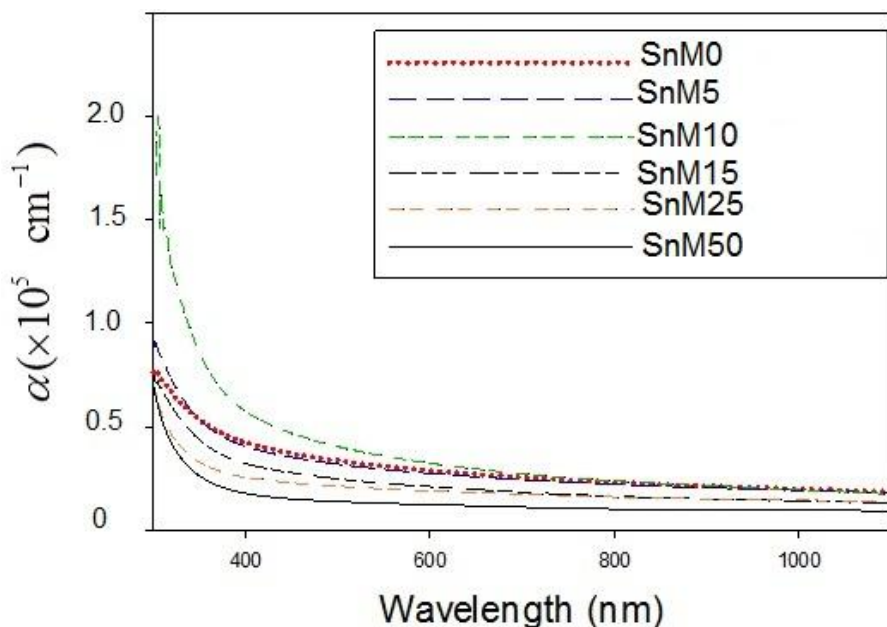
طیف عبوری و بازتاب نمونه‌ها در بازه طول موجی  $500\text{--}1100\text{ nm}$  در شکل ۳-۲۴ نشان داده شده‌اند. مشاهده می‌شود که میزان شفافیت و درصد عبور نمونه‌ها با افزایش درصد آلایش Sn افزایش می‌یابد. برای نمونه‌های SnM۱۰، SnM۵، SnM۱۵، SnM۲۵ و SnM۵۰ درصد عبور نور در طول موج  $550\text{ nm}$  به ترتیب برابر با  $41/12$ ،  $37/54$ ،  $32/14$ ،  $29/37$ ،  $27/89$  و  $50/69$  و درصد بازتاب نیز برای این نمونه‌ها به ترتیب برابر با  $1/34$ ،  $2/68$ ،  $3/74$ ،  $4/48$  و  $7/86$  است.

شکل ۳-۲۵ نمودار تغییرات ضریب جذب نمونه‌ها بر حسب طول موج را نشان می‌دهد.

مشاهده می‌شود به طور کلی با افزایش درصد آلایش میزان ضریب جذب در بازه طول موجی مرئی افزایش می‌یابد. نتایج نشان می‌دهد که نمونه‌ها از بالاترین جذب در ناحیه فرابنفش برخوردارند.



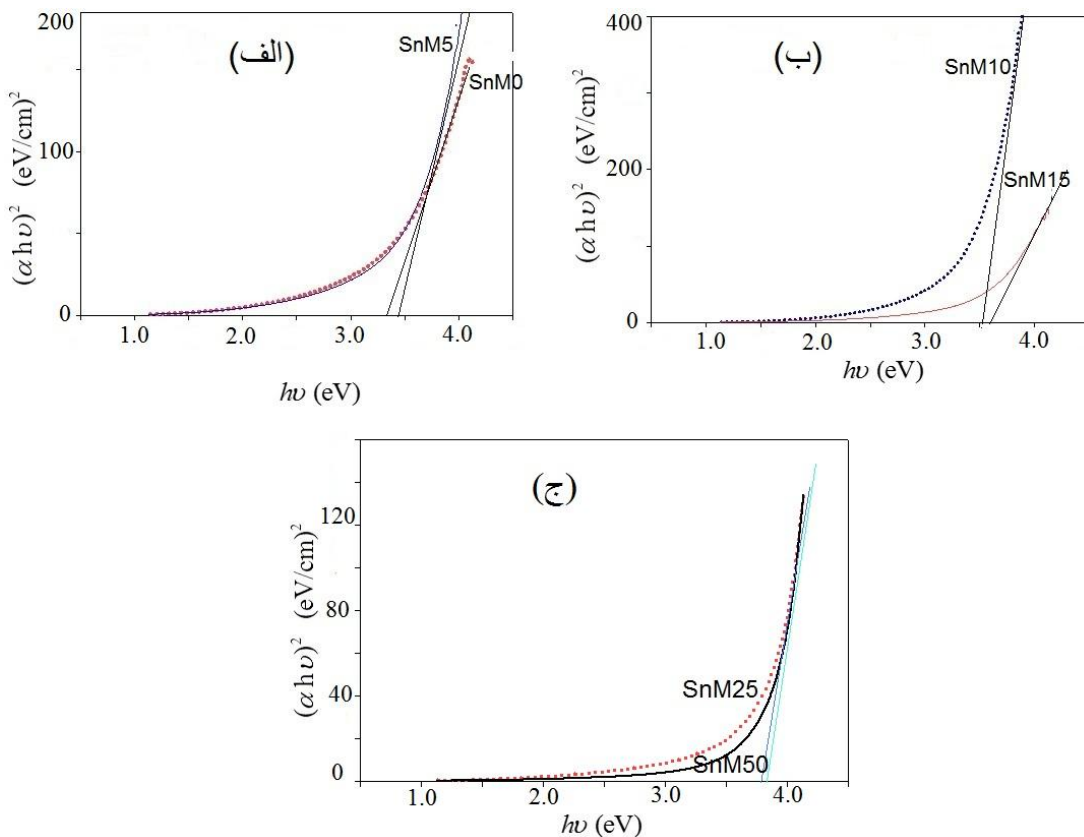
شکل ۲۴-۳: طیف‌های (الف) عبوری و (ب) بازتابی برای نمونه‌های اکسید مولیبدن با آلایش قلع.



شکل ۲۵-۳: نمودار ضریب جذب نمونه‌های اکسید مولیبدن با درصد آلایش متفاوت قلع.

شکل ۲۶-۳ مقدار گاف نواری برای نمونه‌های اکسید مولیبدن با درصد آلایش Sn را نشان می‌دهد. شکل ۲۶-۳ (الف) گاف نواری نمونه‌های SnM<sub>0</sub> و SnM<sub>5</sub>، شکل ۲۶-۳ (ب) گاف نواری نمونه‌های SnM<sub>10</sub> و SnM<sub>15</sub> و شکل ۲۶-۳ (ج) گاف نواری نمونه‌های SnM<sub>25</sub> و SnM<sub>50</sub> را نشان می‌دهد. با توجه به شکل ملاحظه می‌شود با افزایش آلایش از ۰٪ در نمونه SnM<sub>0</sub> تا ۵۰٪ در

نمونه SnM<sub>50</sub> گاف نواری نمونه‌ها از ۳/۸۲ eV تا ۳/۳۴ eV افزایش می‌یابد. مقادیر گاف نواری نمونه‌های ۳/۷۴ eV، SnM<sub>15</sub>، SnM<sub>10</sub>، SnM<sub>5</sub> و ۳/۶۰ eV، ۳/۵۱ eV، ۳/۴۵ eV به ترتیب SnM<sub>25</sub> به ترتیب SnM<sub>10</sub>، SnM<sub>15</sub> و SnM<sub>50</sub> باشد که این افزایش گاف نواری با کاهش اندازه بلورک نمونه‌ها قابل توجیه است [۲۹ و ۳۰].



شکل ۳: نمودار  $(\alpha h \nu)^2$  بر حسب  $h \nu$  برای نمونه‌های اکسید مولیبدن با آلایش قلع با نسبت‌های مولی  $[Sn]/[Mo]$  (الف) ۰/۰۵، (ب) ۰/۰۱۵ و (ج) ۰/۰۲۵ و ۰/۰۵۰.

### ۳-۳ اثر پارامترهای مختلف رشد لایه نازک MoO<sub>3</sub> به روش هیدروترمال

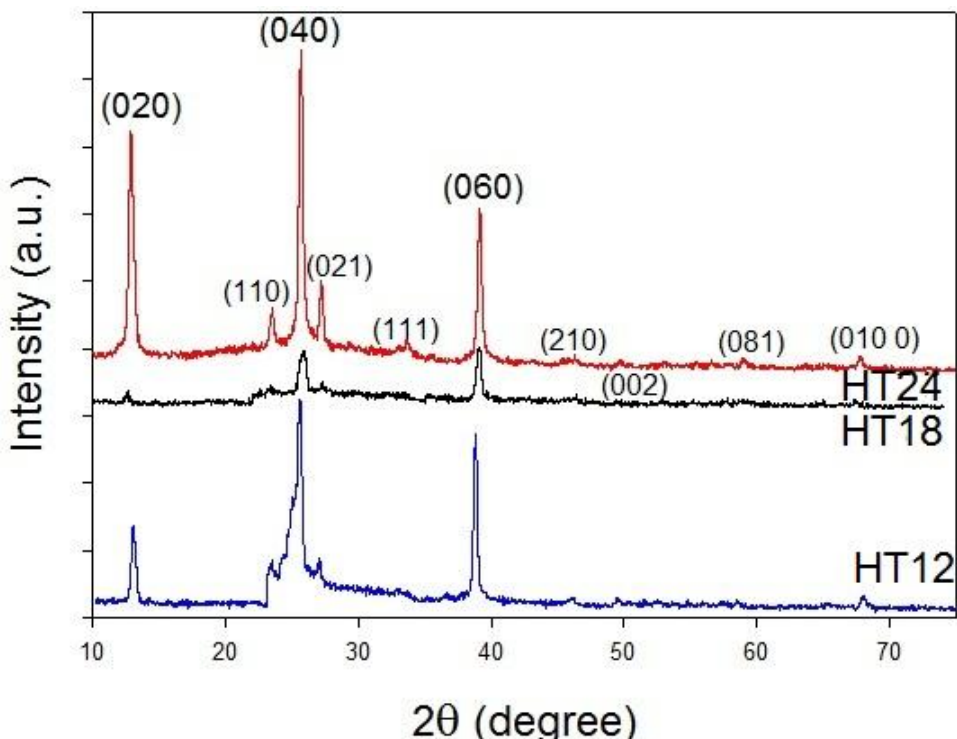
در این بخش خواص ساختاری و ریخت شناسی سطح نمونه‌های اکسید مولیبدن تهیه شده به روش هیدروترمال مورد بررسی قرار گرفت. در این روش اثر پارامترهای گوناگونی از جمله زمان فرایند هیدروترمال، نوع لایه بذری و اثر افزودن پایدارکننده SDS مورد بررسی قرار گرفت.

### ۱-۳-۳ بررسی اثر مدت زمان فرآیند هیدروترمال

در این بخش اثر مدت زمان قرار گرفتن محلول در کوره در دمای  $90^{\circ}\text{C}$  مورد بررسی قرار گرفت. برای تهیه محلول اولیه از آمونیوم هپتامولبیدات تتراهیدرات به عنوان ماده اولیه با غلظت  $M$  و آب دوبار دیونیزه و اسید نیتریک (۶۵٪) به عنوان حلال استفاده شد. محلول شفاف به دست آمده به شیشه‌ای سربسته مانند شکل ۵-۲ منتقل شده و داخل کوره با زمان‌های ۱۲، ۱۸ و ۲۴ ساعت قرار داده شد. لایه بذری مورد استفاده از نمونه‌های اسپری شده با شرایط غلظت محلول  $M=0.05$ ، حجم محلول  $mL=50$  و دمای زیرلایه  $450^{\circ}\text{C}$  انتخاب شد. نمونه‌ها به ترتیب با نام‌های HT12 و HT18 و HT24 نام‌گذاری شدند. در ادامه به بررسی خواص ساختاری و ریخت‌شناسی سطح این نمونه‌ها پرداخته شده است.

### ۱-۱-۳-۳ بررسی خواص ساختاری نمونه‌ها

الگوهای پراش پرتو X (XRD) لایه‌های نازک اکسید مولبیدن لایه نشانی شده به روش هیدروترمال در شکل ۲۷-۳ نشان داده شده است. قله‌های مشخص شده مربوط به ساختار بلوری راست گوش و فاز  $\alpha\text{-MoO}_3$  است که دارای ابعاد شبکه  $a=3.962 \text{ \AA}$ ،  $b=13.898 \text{ \AA}$  و  $c=3.697 \text{ \AA}$  است ( $k=2, 4, 6$  و  $0$ ). ملاحظه می‌شود قله‌های مربوط به صفحات  $\{0k0\}$  که در نمونه HT24 می‌توانند نشان دهنده تشکیل ساختار لایه‌ای و مناسب دارای شدت بیشتری در نشان دهنده اتفاق افتاده است در حالی که برای دو نمونه دیگر شدت کمتر پیک‌ها نشان دهنده کیفیت بلوری پایین‌تر است. همچنین با توجه به رابطه دبای شر (۳-۲) و رابطه‌های (۴-۲) و (۵-۲) می‌توان به ترتیب اندازه بلورک، کرنش و چگالی در رفتگی نمونه‌ها را در راستای ترجیحی (۰۴۰) محاسبه کرد. نتایج به دست آمده در جدول ۳-۶ نشان داده شده است، ملاحظه می‌شود با افزایش مدت زمان فرآیند هیدروترمال اندازه بلورک‌ها در راستای صفحه (۰۴۰) افزایش و چگالی در رفتگی‌ها کاهش یافته‌اند.



شکل ۲۷-۳: الگوی پراش پرتو X برای نمونه‌ها  $\text{MoO}_3$  تهیه شده به روش هیدروترمال با طی زمان‌های ۱۲ و ۲۴ ساعت.

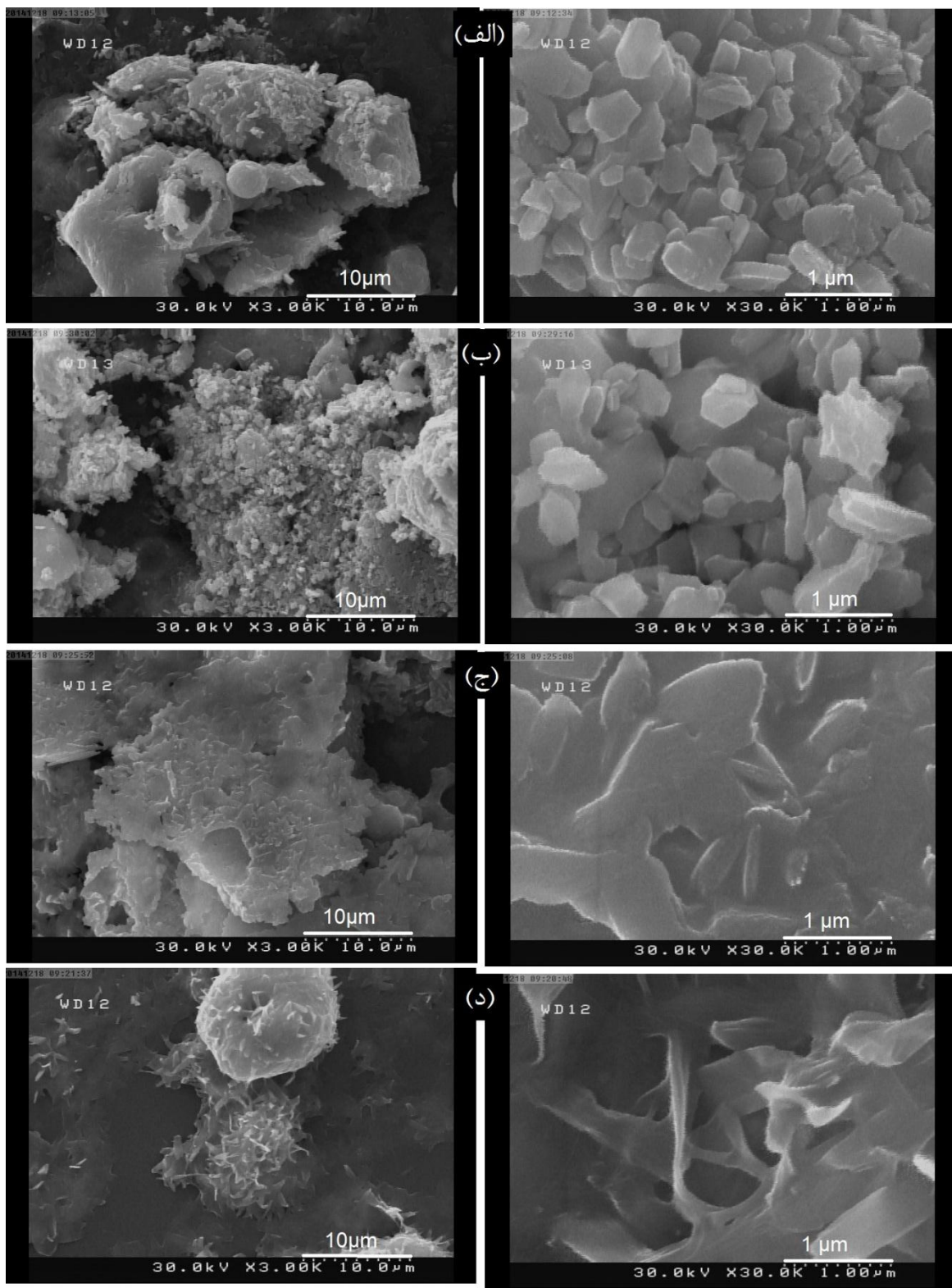
جدول ۲۶: اندازه بلورک، کرنش، چگالی در رفتگی به دست آمده برای نمونه‌های HT12، HT18 و HT24

نمونه‌ها	$2\theta$ (degree)	FWHM (rad) $(10^{-3})$	D(nm)	$\epsilon(10^{-3})$	$\delta(10^{-3}) (\text{nm})^{-2}$
HT12	۲۵/۳۰	۴/۳۷	۳۲/۴۵	۱/۰۶	۰/۹۴
HT18	۲۵/۷۲	۴/۷۹	۲۹/۶۵	۱/۱۶	۱/۱۳
HT24	۲۵/۵۹	۲/۱۷	۶۵/۴۹	۰/۵۲	۰/۲۳

### ۲-۱-۳-۳ بررسی ریخت شناسی سطح نمونه‌ها

به منظور مطالعه ریخت شناسی سطح نمونه‌ها از تصاویر FESEM آن‌ها استفاده گردید. شکل

۲۸-۳ تصاویر به دست آمده از لایه بذری و نمونه‌های HT12، HT18 و HT24 را در دو مقیاس ۱ و  $۱۰ \mu\text{m}$  نشان می‌دهد. شکل ۲۸-۳ (الف) تصاویر با مقیاس ۱ و  $۱۰ \mu\text{m}$  لایه بذری و شکل ۲۸-۳ (ب)، (ج) و (د) نمونه‌های به ترتیب HT12، HT18 و HT24 را نشان می‌دهد.



شکل ۲۸-۳: تصاویر FESEM مربوط به (الف) لایه بذری و (ب)، (ج) و (د) نمونه‌های تهیه شده به روش هیدرотرمال با مدت زمان‌های به ترتیب ۱۲، ۱۸، ۲۴ و ۲۶ ساعت.

ملاحظه می‌شود که زیر ساختار سطح نمونه‌ها مشابه نمونه‌های تهیه شده به روش اسپری پاکولیزیز می‌باشد. همانطور که در تصاویر دیده می‌شود در نمونه‌های HT12 و HT18 زمان لازم برای رشد نانوصفحات داده نشده است ولی در نمونه با مدت زمان ۲۴ ساعت فرصت لازم برای رشد نانو صفحاتی با ضخامت‌های ۷۰-۸۰ nm بر روی کره‌هایی که به روش اسپری به دست آمده بود فراهم شده است. این می‌تواند نشان دهد که در این روش اتم‌های اکسید مولیبدن فرصت کافی برای قرار گیری در موقعیت‌های شبکه‌ای خود را روی لایه بذری پیدا کرده‌اند. برای نمونه با مدت زمان بالاتر این رشد بهتر اتفاق افتاده است. ولی در نمونه‌های مربوط به ۱۲ و ۱۸ ساعت تصاویر شبیه تصویر لایه بذری را نشان می‌دهد.

### ۲-۳-۳ بررسی اثر افزودن پایدار کننده

در این بخش اثر افزودن پایدار کننده بر روی خواص ساختاری و ریخت‌شناسی سطح نمونه مورد مطالعه قرار گرفت. محلول اولیه مشابه روشی که در بخش قبل ذکر شد تهیه گردید با این تفاوت که مقداری سدیم دودسیل سولفات<sup>۱</sup> (SDS) با نسبت جرمی ۱ به ۳ نسبت به ماده آمونیوم هپتا مولیبدانات تتراهیدرات به محلول اولیه اضافه شد. نمونه با SDS و بدون SDS به ترتیب با نام‌های HS و HNS نام‌گذاری شدند، در ادامه به بررسی خواص فیزیکی این نمونه‌ها پرداخته شده است.

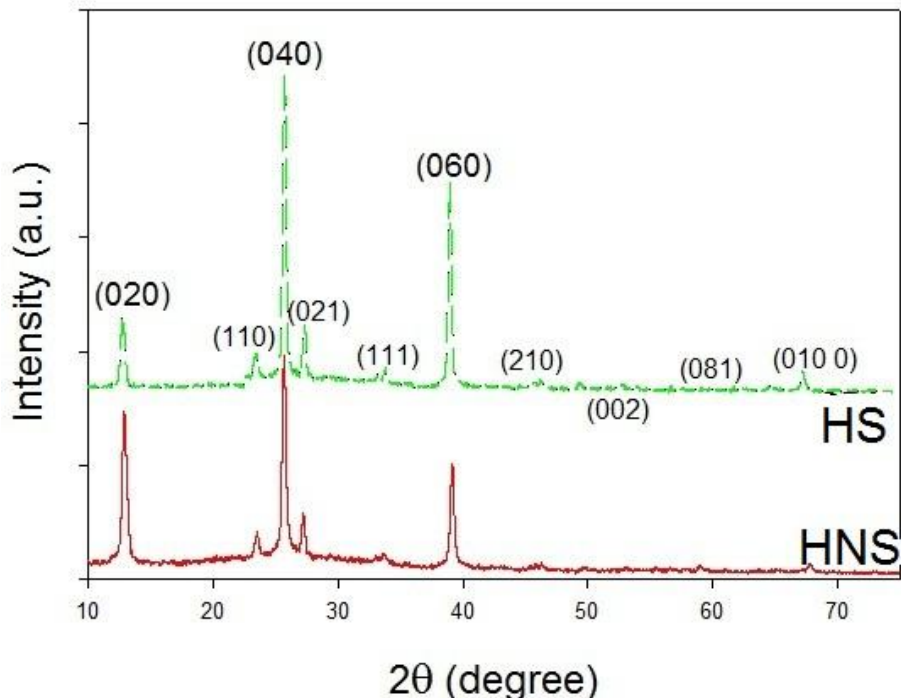
### ۱-۲-۳-۳ بررسی خواص ساختاری نمونه‌ها

الگوهای XRD لایه‌های نازک اکسید مولیبدن لایه نشانی شده به روش هیدروترمال در شکل ۲۹-۳ نشان داده شده است. قله‌های بازتاب نشان می‌دهد نمونه‌ها دارای ساختار بلوری راست‌گوش و فاز  $\alpha\text{-MoO}_3$  است که دارای ابعاد شبکه  $a=۳/۹۶۲ \text{ \AA}$ ،  $b=۱۳/۸۹۸ \text{ \AA}$  و  $c=۳/۶۹۷ \text{ \AA}$  است (JCPDS Card No. 005-0508). قله‌های مربوط صفحات  $\{0k0\}$  و  $\{200\}$  دارای شدت بیشتری است که می‌تواند نشان‌دهنده تشکیل ساختار لایه‌ای و مناسب باشد. همچنین اندازه بلورک، کرنش و چگالی

---

<sup>1</sup> Sodium Dodecyl sulfate

در رفتگی نمونه‌ها را در راستای ترجیحی (۰۴۰) محاسبه شد. نتایج به دست آمده در جدول ۷-۳ نشان داده شده است، ملاحظه می‌شود با افزودن پایدار کننده به نمونه‌ها مقدار اندازه بلورک در راستای صفحه (۰۴۰) کاهش یافته است و کرنش و چگالی در رفتگی نمونه افزایش پیدا کرده است، که نشان-دهنده شکل گیری بهتر ساختار بلوری برای نمونه بدون پایدار کننده می‌باشد.



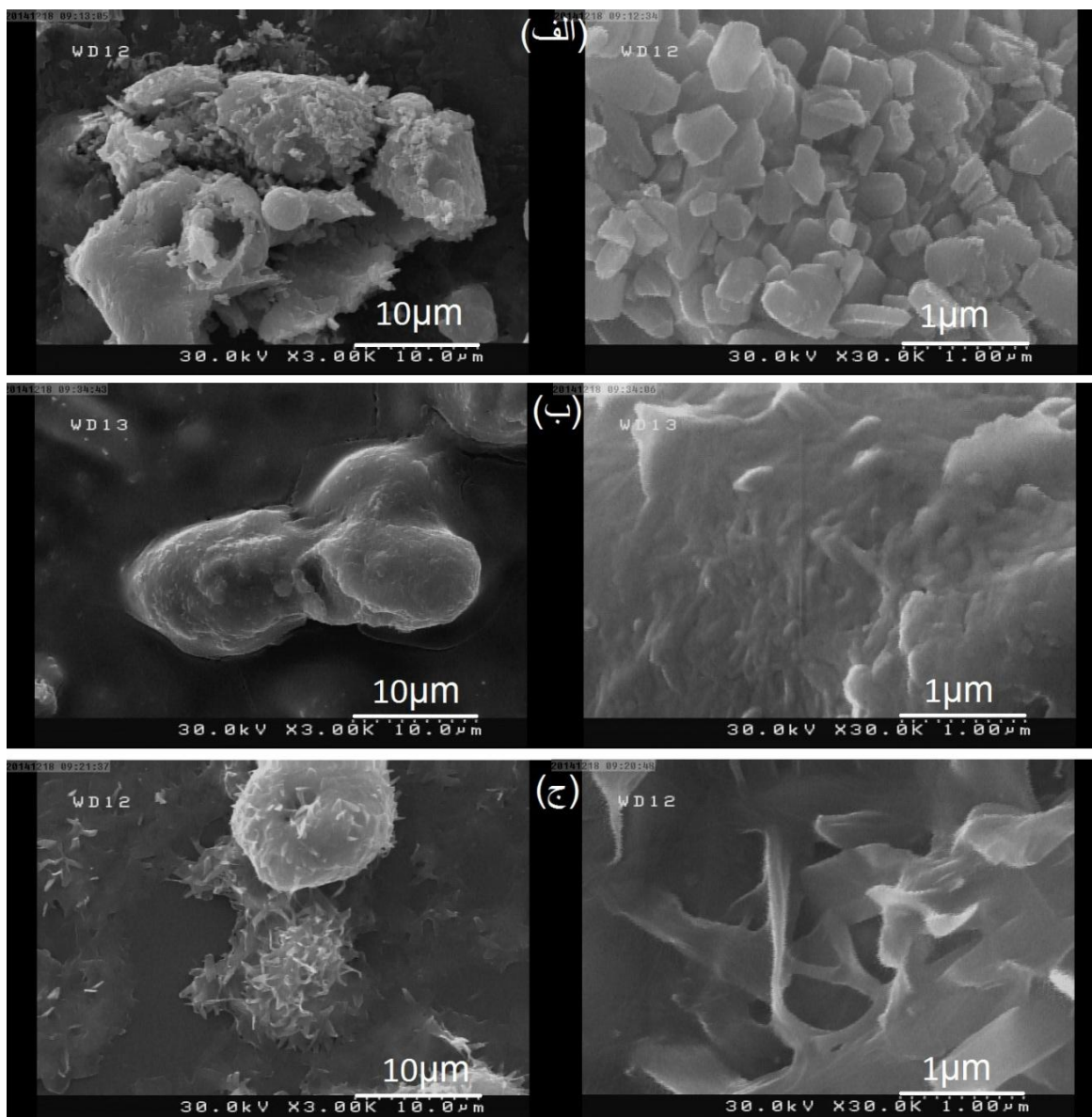
شکل ۲۹-۳: الگوی پراش اشعه X برای نمونه‌ها  $\text{MoO}_3$  تهیه شده به روش هیدروترمال با SDS (نمونه HS) و بدون SDS (نمونه HNS).

جدول ۷-۳: اندازه بلورک، کرنش، چگالی در رفتگی به دست آمده برای نمونه‌های با SDS (نمونه HS) و بدون HNS (نمونه SDS).

نمونه‌ها	$2\theta$ (degree)	FWHM (rad) $(10^{-3})$	D(nm)	$\varepsilon (10^{-3})$	$\delta (10^{-3}) (nm)^{-2}$
HS	۲۵/۷۰	۴/۶۸	۳۰/۳۸	۱/۱۴	۱/۰۸
HNS	۲۵/۵۹	۲/۱۷	۶۵/۴۹	۰/۵۲	۰/۲۳

### ۲-۲-۳-۳ بررسی ریخت شناسی سطح نمونه‌ها

به منظور مطالعه ریخت شناسی سطح نمونه‌ها از تصاویر FESEM آن‌ها استفاده گردید. شکل ۳۰-۳ (الف) تصاویر با دو مقیاس ۱ و  $10\text{ }\mu\text{m}$  مربوط به لایه بذری و شکل ۳۰-۳ (ب) و (ج) تصاویر نمونه‌های به ترتیب HS و HNS را نشان می‌دهد.



شکل ۳۰-۳: تصاویر FESEM مربوط به (الف) لایه بذری، (ب) و (ج) نمونه‌های  $\text{MoO}_3$  تهییه شده به روش هیدرولترمال به ترتیب با پایدارکننده SDS و بدون پایدارکننده SDS

ملاحظه می‌شود که ساختار سطح نمونه‌ها مشابه نمونه‌های اسپری پایرولیزیز به شکل اسفنجی همراه با میکروکرهایی رشد پیدا می‌کند. همانطور که در تصاویر دیده می‌شود در نمونه HS رشد ذراتی برروی کرهای مربوط به زیرلایه انجام شده است ولی در نمونه HNS رشد نانو صفحاتی با ضخامت‌های ۷۰-۸۰ nm بر روی کرهایی که به روش اسپری به دست آمده بود رشد کرده‌اند که می‌تواند نشان دهد در این روش اتم‌های اکسید مولیبدن به صورت ترجیحی روی لایه‌ی بذری در موقعیت‌های خود قرار گرفته‌اند. و این نشان‌دهنده این است که در نمونه بدون پایدارکننده صفحات در راستاهای مشخص رشد کرده‌اند ولی در نمونه با پایدارکننده ذراتی بر روی کرهای قرار گرفته‌اند و تراکم نانوذرات را بر روی کرهای افزایش داده است.

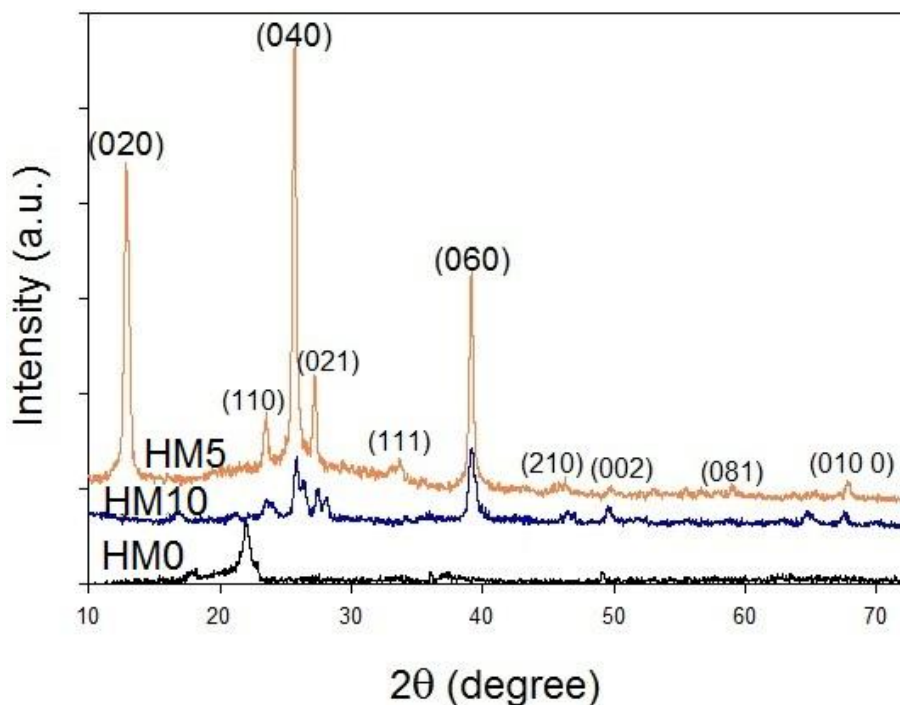
### ۳-۳-۳ بررسی اثر زیرلایه با غلظت‌های مختلف

در این بخش اثر زیرلایه‌های مختلف که از روش اسپری با غلظت‌های متفاوت محلول آمونیوم هپتا مولیبدات تتراهیدرات به دست آمده است بر روی خواص ساختاری و ریخت‌شناسی سطح نمونه در روش هیدروترمال مورد مطالعه قرار گرفت. محلول اولیه مشابه روشی که در بخش ۳-۱-۳ ذکر شد تهیه گردید. زیرلایه‌ایی با غلظت‌های ۰/۰۵ و ۰/۱ M مانند شکل ۵-۲ مورد استفاده قرار گرفت که به ترتیب با نام‌های HM<sub>5</sub> و HM<sub>10</sub> نام‌گذاری شدند. در ادامه به بررسی خواص فیزیکی این نمونه‌ها پرداخته شده است.

### ۳-۳-۱ بررسی خواص ساختاری نمونه‌ها

الگوهای پراش پرتو X (XRD) لایه‌های نازک اکسید مولیبدن لایه نشانی شده به روش هیدروترمال در شکل ۳۱-۳ نشان داده شده است. قله‌های مشخص شده در نمونه‌های HM<sub>5</sub> و HM<sub>10</sub> مربوط به ساختار بلوری راست گوش و فاز α-MoO<sub>3</sub> است که دارای ابعاد شبکه  $a=3.962 \text{ \AA}$ ،  $b=13.898 \text{ \AA}$  و  $c=3.697 \text{ \AA}$  است (JCPDS Card No. 005-0508). ملاحظه می‌شود قله‌های مریبوط صفحات  $\{0.k=2, 4\}$  دارای شدت بیشتری در نمونه HM<sub>5</sub> است که می‌تواند نشان-

دهنده تشکیل ساختار لایه‌ای و مناسب باشد. الگو مربوط به نمونه HM<sup>0</sup> نیز هیچ قله‌ای مربوط به اکسید مولیبدن را نشان نمی‌دهد و بیانگر ساختار آمورف است که مربوط به زیرلایه شیشه می‌باشد. همچنین با توجه به رابطه دبای شر (۲-۳) و رابطه‌های (۴-۲) و (۵-۲) می‌توان به ترتیب اندازه بلورک، کرنش و چگالی درفتگی نمونه‌ها را در راستای ترجیحی (۰۴۰) محاسبه کرد. نتایج به‌دست آمده در جدول ۸-۳ نشان داده شده است، ملاحظه می‌شود که برای دو نمونه HM<sup>5</sup> و HM<sup>10</sup> اندازه بلورک به ترتیب برابر با ۶۵/۴۹ nm و ۳۶/۹۰ nm است. و همچنین مقادیر کرنش و چگالی در رفتگی نیز حاکی از آن است که نمونه HM<sup>5</sup> داری ساختار بلوری مناسب‌تری می‌باشد.



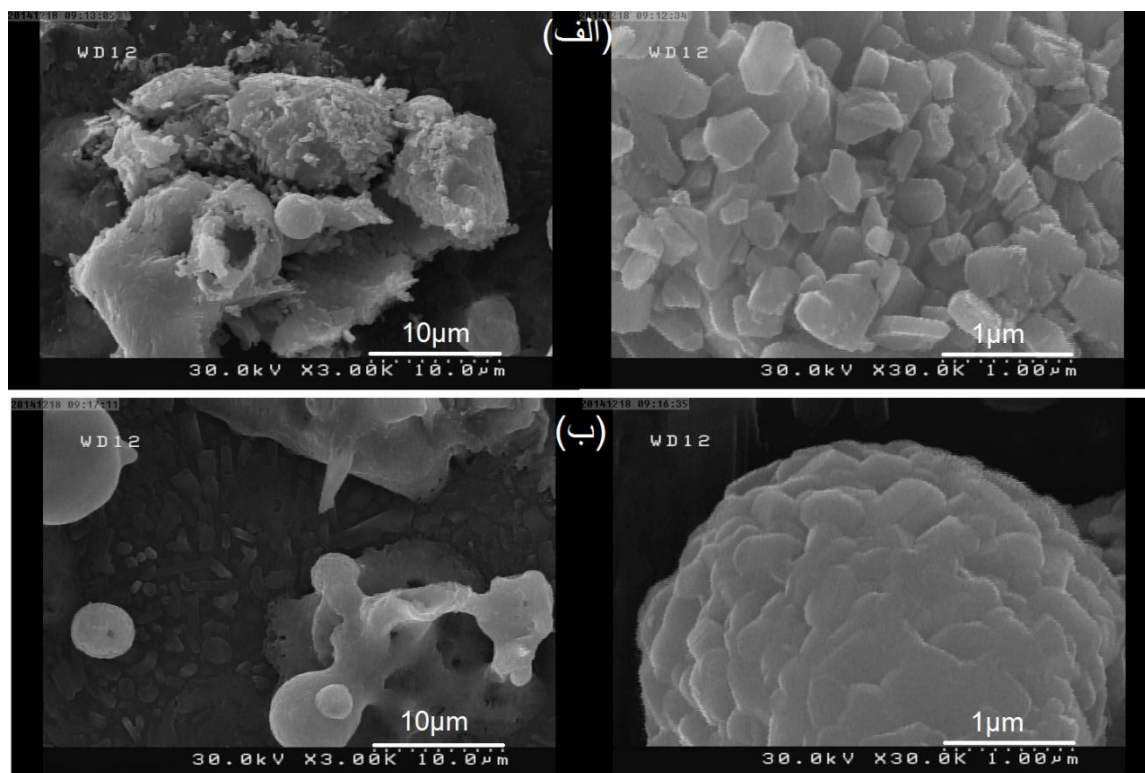
شکل ۳۱-۳: الگوی پراش پرتو X برای نمونه‌های با غلظت‌های مختلف لایه بذری تهیه شده به روش هیدروترمال.

جدول ۸-۳: اندازه بلورک، کرنش و چگالی در رفتگی به دست آمده برای نمونه‌ها با غلظت‌های مختلف لایه بذری.

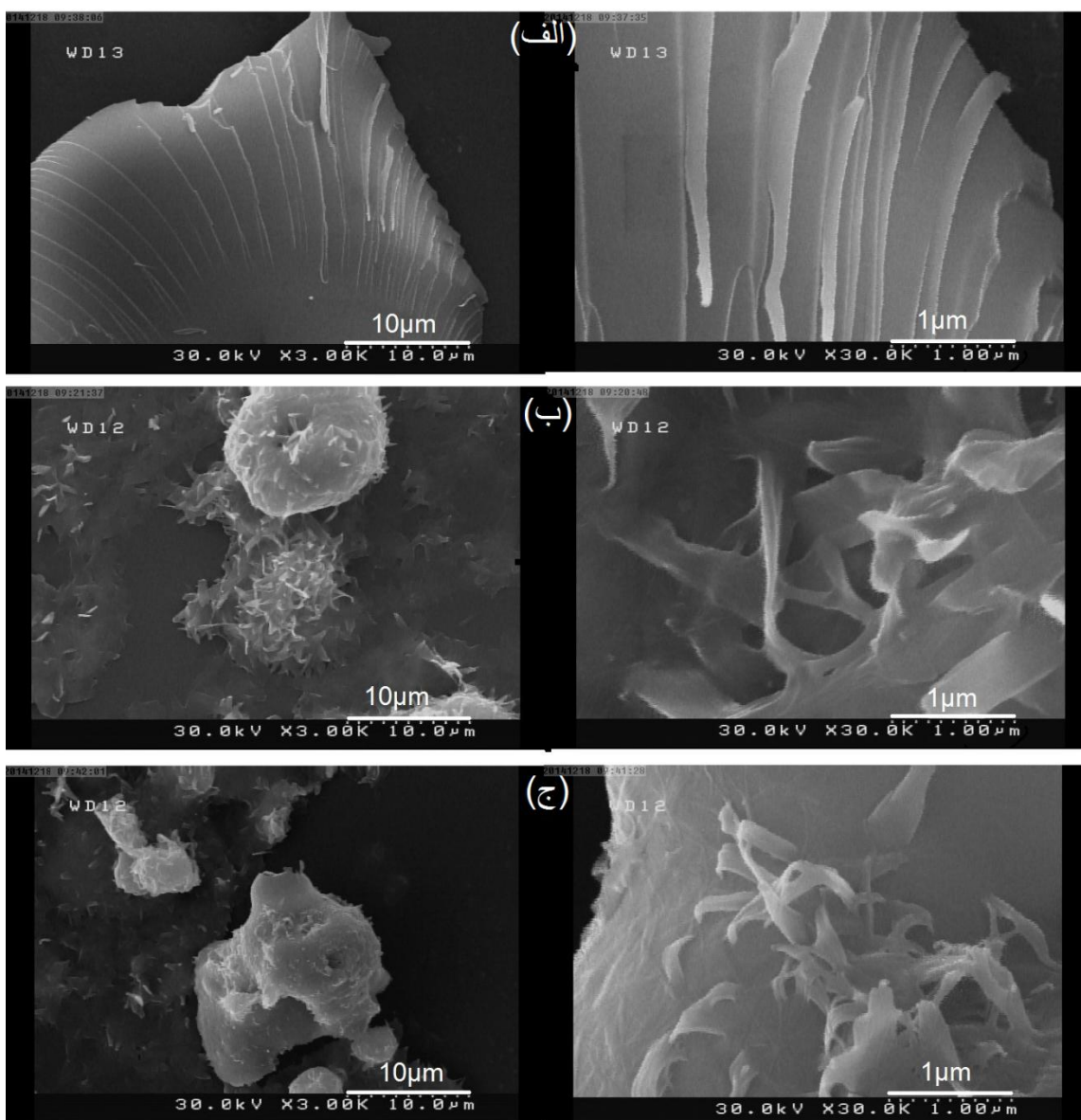
نمونه‌ها	$2\theta$ (degree)	FWHM (rad) $\times 10^3$	D(nm)	$\varepsilon \times 10^{-4}$	$\delta \times 10^{-4} \text{ (nm)}^{-2}$
HM <sup>0</sup>	-	-	-	-	-
HM <sup>5</sup>	۲۵/۵۹	۲/۱۷	۶۵/۴۹	۵/۲۹	۲/۳۳
HM <sup>10</sup>	۲۵/۸۵	۳/۸۶	۳۶/۹۰	۹/۳۹	۷/۳۴

### ۲-۳-۳-۳ بررسی ریخت شناسی سطح نمونه‌ها

به منظور مطالعه ریخت شناسی سطح نمونه‌ها از تصاویر FESEM آن‌ها استفاده می‌شود. شکل ۳۲-۳ تصاویر لایه بذری مربوط به دو لایه با غلظت‌های  $0.05\text{ M}$  و  $0.1\text{ M}$  که با استفاده از روش اسپری تهیه شد، را نشان می‌دهد. شکل ۳۳-۳ تصاویر به دست آمده از نمونه‌های  $\text{HM}5$  و  $10\text{ HM}$  را در دو مقیاس  $1\text{ }\mu\text{m}$  و  $10\text{ }\mu\text{m}$  نشان می‌دهد. ملاحظه می‌شود که ساختار سطح نمونه‌ها مانند نمونه‌های تهیه شده به روش اسپری پایرولیزیز به شکل اسفنجی همراه با کره‌هایی رشد پیدا می‌کند. همانطور که در تصاویر دیده می‌شود در نمونه‌های  $\text{HM}5$  و  $10\text{ HM}$  رشد نانو صفحاتی با ضخامت‌های  $80\text{ nm}$  بر روی کره‌هایی که به روش اسپری به دست آمده بود رشد کرده‌اند که می‌تواند نشان دهد در این روش اتم‌های اکسید مولیبدن در موقعیت‌های شبکه‌ای خود قرار گرفته‌اند. و همچنین بر روی زیرلایه شیشه نیز به صورت خیلی جزئی صفحات اکسید مولیبدن در حال رشد هستند.



شکل ۳۲-۳: تصاویر FESEM مربوط به نمونه‌های  $\text{MoO}_3$  تهیه شده به روش اسپری با غلظت‌های (الف)  $0.05\text{ M}$  و (ب)  $0.1\text{ M}$  استفاده شده به عنوان لایه بذری در روش هیدروترمال.



شکل ۳-۳: تصاویر FESEM مربوط به نمونه‌های  $\text{MoO}_3$  تهیه شده به روش هیدرورتمال بر روی لایه‌های بذری با غلظت‌های (الف) • (شیشه) (نمونه ۰/۰۵ M HM5)، (ب) (نمونه ۰/۱ M HM10) و (ج) (نمونه ۰/۱ M HM10).

#### ۴-۳-۳-۴ بررسی اثر زیرلایه با حجم‌های مختلف

در این بخش از زیرلایه‌هایی که با حجم‌های محلول متفاوت به روش اسپری تهیه شدند به عنوان لایه بذری در روش هیدرورتمال استفاده شد و خواص ساختاری و ریخت‌شناسی سطح نمونه برای نمونه‌های مختلف به دست آمده مطالعه گردید. محلول اولیه مشابه بخش ۳-۳-۱ تهیه شد.

نمونه‌های تهیه شده با لایه‌های بذری با حجم‌های ۷۵، ۵۰ و ۲۵ mL به ترتیب با نام‌های HV25، HV50 و HV75

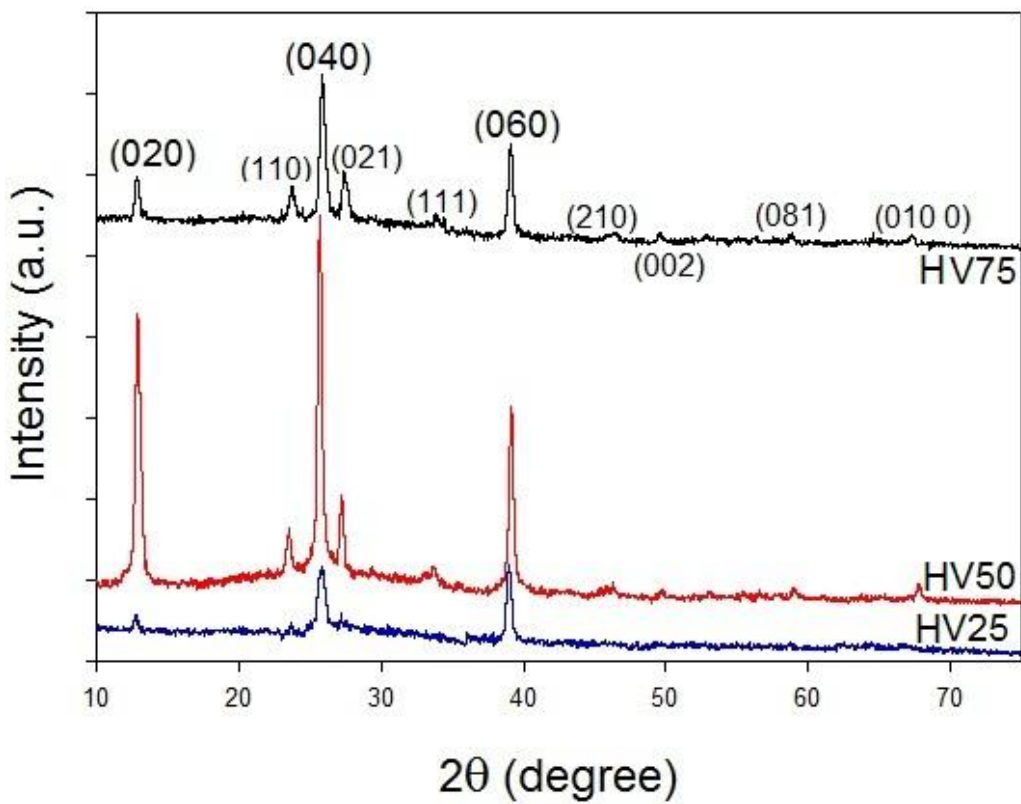
HV<sub>50</sub> و HV<sub>75</sub> نام‌گذاری شدند. در ادامه به بررسی خواص فیزیکی این نمونه‌ها پرداخته شده است.

### ۱-۴-۳-۳ بررسی خواص ساختاری نمونه‌ها

الگوهای XRD لایه‌های نازک اکسید مولیبدن لایه نشانی شده به روش هیدروترمال در شکل ۳-۴-۳ نشان داده شده است. قله‌های مشخص شده در نمونه‌ها مربوط به ساختار بلوری راست گوشه و فاز  $\alpha$ -MoO<sub>3</sub> است که دارای ابعاد شبکه  $a=3.962 \text{ \AA}$ ،  $b=13.898 \text{ \AA}$  و  $c=3.697 \text{ \AA}$  است (JCPDS Card No. 005-0508). ملاحظه می‌شود قله‌های مربوط صفحات  $\{0k0\}$  که  $k=2, 4, 6$  دارای شدت بیشتری است که نشان‌دهنده تشکیل ساختار لایه‌ای و مناسب باشد. همچنین با توجه به رابطه دبای شرر (۳-۲) و رابطه‌های (۴-۲) و (۵-۲) می‌توان به ترتیب اندازه بلورک، کرنش و چگالی در رفتگی نمونه‌ها را در راستای ترجیحی (۰۴۰) محاسبه کرد. نتایج به دست آمده در جدول ۳-۹ نشان داده شده است، ملاحظه می‌شود که برای نمونه‌های HV<sub>25</sub>، HV<sub>50</sub> و HV<sub>75</sub> اندازه بلورک به ترتیب برابر با  $31.03$ ،  $31.49$  و  $41.60 \text{ nm}$  است. و همچنین مقادیر کرنش و چگالی در رفتگی نیز حاکی از آن است که نمونه HV<sub>50</sub> داری ساختار بلوری مناسب‌تری می‌باشد.

### ۲-۴-۳-۳ بررسی ریخت‌شناسی سطح نمونه‌ها

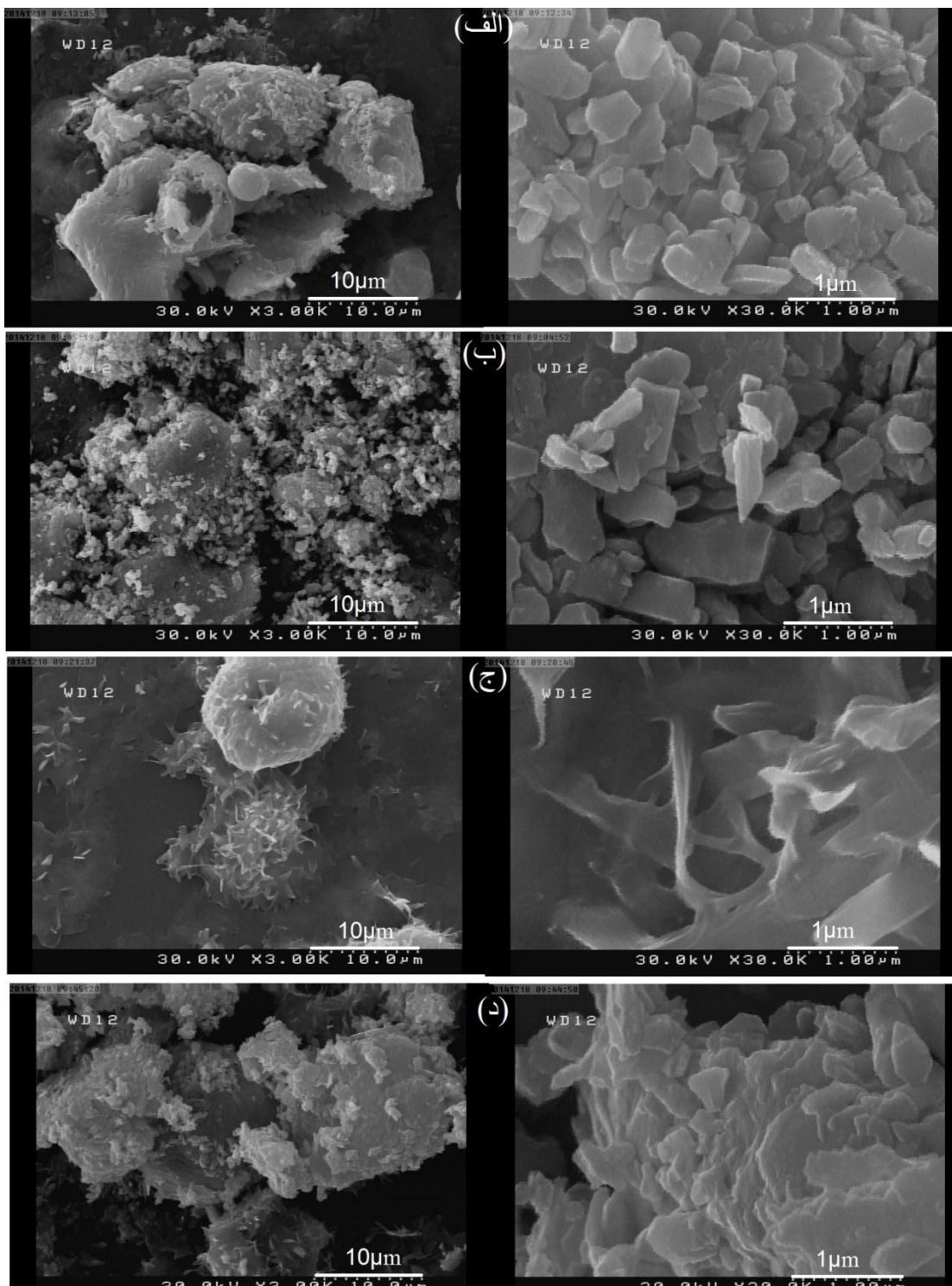
به منظور مطالعه ریخت‌شناسی سطح نمونه‌ها از تصاویر FESEM آن‌ها استفاده می‌شود. شکل ۳-۵-۳ (الف) و (ب) تصاویر مربوط به لایه‌های بذری با حجم محلول به ترتیب  $50$  و  $75 \text{ mL}$  و شکل ۳-۵-۳ (ج) و (د) تصاویر مربوط به نمونه‌های به ترتیب HV<sub>50</sub> و HV<sub>75</sub> را نشان می‌دهد. ملاحظه می‌شود که ساختار سطح نمونه‌ها مانند نمونه‌های تهیه شده به روش اسپری پایرولیزیز رشد پیدا می‌کند. همانطور که در تصاویر دیده می‌شود در نمونه‌های HV<sub>50</sub> و HV<sub>75</sub> رشد نانو صفحاتی با ضخامت‌های  $70-80 \text{ nm}$  بر روی کره‌هایی که به روش اسپری به دست آمده بود رشد کرده‌اند که می‌تواند نشان دهد در این روش اتم‌های اکسید مولیبدن در موقعیت‌های شبکه‌ای قرار گرفته‌اند. همچنین در شکل ۳-۵-۳ (د) نیز وجود ساختار لایه‌ای مربوط به الگو XRD را اثبات می‌کند.



شکل ۳: الگوی پراش پرتو X برای نمونه‌ها با حجم‌های محلول مختلف لایه بذری تهیه شده به روش هیدروترمال.

جدول ۳: اندازه بلورک، کرنش و چگالی در رفتگی به دست آمده برای نمونه‌ها با حجم محلول‌های مختلف لایه بذری.

نمونه‌ها	$2\theta$ (degree)	FWHM (rad) $(10^{-3})$	D(nm)	$\varepsilon (10^{-3})$	$\delta (10^{-3} \text{ nm})^2$
HV25	۲۵/۸۰	۴/۵۸	۳۱/۰۳	۱/۱۱	۱/۰۳
HV50	۲۵/۵۹	۲/۱۷	۶۵/۴۹	۰/۵۲	۰/۲۳
HV75	۲۵/۸۸	۳/۴۱	۴۱/۶۰	۰/۸۳	۰/۵۷



شکل ۳-۳: تصاویر FESEM مربوط به لایه‌های بدزی با حجم محلول (الف) ۵۰ mL و (ب) ۷۵ mL نمونه‌های  $\text{MoO}_3$  تهیه شده به روش هیدروترمال بر روی لایه بدزی به ترتیب با حجم محلول (ج) ۵۰ mL و (د) ۷۵ mL (نمونه HV۵۰ و نمونه HV۷۵).

#### ۴-۳ جمع بندی

در این فصل به کارهای انجام شده در این پایان نامه و تحلیل و مشخصه‌یابی لایه‌های نازک به دست آمده به روش‌های اسپری پایرولیزیز و هیدرورترمال پرداخته شد. ملاحظه شد اکثر نمونه‌ها در فاز FESEM ترمودینامیکی پایدار  $\alpha\text{-MoO}_3$  با ساختار بلوری راست گوشه رشد پیدا کرده‌اند. تصاویر FESEM نمونه‌ها نیز وجود نانو ذرات و ساختار لایه‌ای نمونه‌ها را نشان می‌دهد. با توجه به طیف‌های عبوری و بازتابی میزان شفافیت نمونه‌ها به دست آمد و با توجه به این داده‌ها گاف نواری نمونه‌ها و ضریب جذب لایه‌ها محاسبه و با هم مقایسه شدند.

## فصل چهارم:

نتیجه گیری و پیشنهادات

## ۱-۴ مقدمه

در این پایان نامه به مطالعه خواص ساختاری، نوری و ریخت شناسی سطح نمونه‌های اکسید مولیبدن و آلایش آن با Sn تهیه شده به روش اسپری پایرولیزیز و هیدرоторمال پرداخته شده است. در این فصل به جمع بندی و نتیجه‌گیری داده‌ها و مشخصات لایه‌های نازک پرداخته شده است.

## ۲-۴ بررسی اثر دمای زیرلایه در روش اسپری پایرولیزیز

لایه‌های اکسید مولیبدن بر روی زیرلایه‌های شیشه با دماهای ۲۵۰، ۳۰۰، ۳۵۰ و ۴۰۰ °C ۴۵۰ به روش اسپری پایرولیزیز لایه نشانی شدند. الگوی پراش پرتو X این نمونه‌ها حاکی از رشد فاز پایدار  $\alpha\text{-MoO}_3$  نمونه‌ها با ساختار راست گوشه است. وجود قله‌های  $\{k^{+}0\}$  در این الگو نشان‌دهنده ساختار لایه‌ای نمونه‌ها می‌باشد. با افزایش دمای زیرلایه نمونه‌ها دارای قله‌های قوی‌تری هستند که نشان‌دهنده افزایش خاصیت بلوری نمونه‌هاست. همچنین اندازه بلورک، کرنش و چگالی در رفتگی نمونه‌ها نیز محاسبه شد. مقادیر اندازه بلورک نمونه‌ها با افزایش دمای زیرلایه افزایش یافته است و مقادیر کرنش و چگالی در رفتگی کاهش یافته است که بهبود کیفیت ساختار بلوری با افزایش دمای زیر لایه را نشان می‌دهد. تصاویر FESEM نشان‌دهنده این است که ساختار سطح نمونه‌ها به شکل اسفنجی همراه با توزیع تقریباً یکنواختی از کره‌هایی با قطر  $2\mu\text{m}$  رشد پیدا می‌کند و دارای تخلخل‌هایی در حد میکرو می‌باشد با افزایش دمای زیرلایه این کره‌ها شروع به فروپاشی می‌کنند. همانطور که در تصویر با مقیاس کمتر دیده می‌شود خود کره‌ها به صورت لایه لایه بوده و قطر هر کدام از پوسته‌ها در حدود  $30-60\text{ nm}$  می‌باشد. همچنین در تصاویر با مقیاس  $1\mu\text{m}$  ذرات راست گوشه را می‌توان دید که وجود ساختار راست گوشه را تایید می‌کند. طیف عبوری و محاسبات مربوط به گاف نواری نشان‌دهنده افزایش درصد عبور نور و گاف نواری نمونه‌ها با افزایش دمای زیرلایه است که می‌تواند به دلیل افزایش شفافیت نمونه‌ها و کاهش پودری بودن سطح نمونه‌ها باشد.

### ۳-۴ بررسی اثر غلظت محلول اولیه در روش اسپری پایرولیزیز

لایه‌های اکسید مولیبدن بر روی زیرلایه‌های شیشه با دمای  $450^{\circ}\text{C}$  به روش اسپری پایرولیزیز با غلظت‌های محلول اولیه  $0/0\cdot1$ ،  $0/0\cdot2$ ،  $0/0\cdot5$  و  $M$  لایه نشانی شدند. الگوی پراش پرتو X این نمونه‌ها رشد فاز پایدار  $\alpha\text{-MoO}_3$  نمونه‌ها با ساختار راست گوشه را نشان می‌دهد. وجود قله‌های  $\{0\cdot k\cdot 0\}$  در این الگو نشان‌دهنده ساختار لایه‌ای نمونه‌ها می‌باشد. اندازه بلورک نمونه‌ها با افزایش غلظت محلول اولیه افزایش یافته است و مقادیر کرنش و چگالی در رفتگی کاهش یافته است که بهبود کیفیت ساختار بلوری با افزایش غلظت محلول اولیه را نشان می‌دهد. تصاویر FESEM نشان‌دهنده این است که ساختار سطح نمونه‌ها به شکل اسفنجی همراه با توزیع تقریباً یکنواختی از میکرو کره‌ها رشد پیدا می‌کند، در تصاویر با مقیاس  $1\text{ }\mu\text{m}$  دیده می‌شود که کره‌ها از ذراتی راست گوشه با ابعادی در حدود  $50\text{--}70\text{ nm}$  می‌باشد. با افزایش بیشتر غلظت نمونه‌ها میکرو کره‌های بیشتری در سطح نمونه شکل گرفته است. در نمونه با غلظت کم هنوز ساختار لایه‌ای به خوبی تشکیل نشده و همچنین با افزایش غلظت محلول اولیه تا  $M/0\cdot1$  مشاهده می‌شود که ساختار لایه‌ای نمونه‌ها کاهش پیدا کرده است و ذرات راست گوشه به هم چسبیده‌اند. طیف عبوری و محاسبات مربوط به گاف نواری نشان‌دهنده کاهش درصد عبور نور و گاف نواری نمونه‌ها با افزایش غلظت محلول اولیه است که می‌تواند به دلیل افزایش ضخامت و اندازه بلورک نمونه‌ها باشد.

### ۴-۴ بررسی اثر آهنگ لایه نشانی در روش اسپری پایرولیزیز

لایه‌های اکسید مولیبدن بر روی زیرلایه‌های شیشه به روش اسپری پایرولیزیز با آهنگ‌های لایه نشانی  $5$ ،  $10$  و  $20\text{ mL/min}$  لایه نشانی شدند. الگوی پراش پرتو X این نمونه‌ها حاکی از رشد فاز پایدار  $\alpha\text{-MoO}_3$  نمونه‌ها با ساختار راست گوشه است. وجود قله‌های  $\{0\cdot k\cdot 0\}$  در این الگو نشان‌دهنده ساختار لایه‌ای نمونه‌ها می‌باشد. اندازه بلورک نمونه‌ها با افزایش آهنگ لایه نشانی افزایش

اندکی یافته است. تصاویر FESEM نشان‌دهنده این است که ساختار سطح نمونه‌ها به شکل اسفنجی همراه با توزیع تقریباً یکنواختی از میکرو کره‌ها رشد پیدا می‌کند، همانطور که در تصاویر دیده می‌شود در نمونه با آهنگ لایه نشانی  $5 \text{ mL/min}$  توزیع یکنواخت‌تر می‌باشد که می‌تواند به دلیل فرصت کافی برای لایه نشانی این نمونه نسبت به دیگر نمونه باشد، با افزایش آهنگ لایه نشانی میکرو کره‌های بیشتری به صورت غیر یکنواخت‌تر در سطح نمونه شکل گرفته است که ناشی از نبود زمان کافی برای لایه نشانی می‌باشد. در تصاویر در مقیاس  $1 \mu\text{m}$  نیز ذرات راست گوشه مشاهده می‌شود که نتایج مربوط به آنالیز XRD را تایید می‌کند. طیف عبوری و محاسبات مربوط به گاف نواری نشان‌دهنده کاهش درصد عبور نور و گاف نواری نمونه‌ها با افزایش آهنگ لایه نشانی است که می‌تواند به دلیل افزایش ضخامت، اندازه بلورک و پودری شدن سطح نمونه‌ها باشد.

#### ۴-۵ بررسی اثر حجم محلول اولیه در روش اسپری پایرولیزیز

لایه‌های اکسید مولیبدن بر روی زیرلایه‌های شیشه به روش اسپری پایرولیزیز با حجم محلول اولیه  $25$ ،  $50$  و  $75 \text{ mL}$  لایه نشانی شدند. الگوی پراش پرتو X این نمونه‌ها حاکی از رشد فاز پایدار  $\alpha\text{-MoO}_3$  نمونه‌ها با ساختار راست گوشه است. وجود قله‌های  $\{0\cdot k\}$  در این الگو نشان‌دهنده ساختار لایه‌ای نمونه‌ها می‌باشد. همچنین اندازه بلورک، کرنش و چگالی در رفتگی نمونه‌ها نیز محاسبه شد. مقادیر اندازه بلورک نمونه‌ها با افزایش حجم محلول اولیه افزایشی در حدود  $5 \text{ nm}$  داشته است. تصاویر FESEM نشان‌دهنده این است که ساختار سطح نمونه‌ها با توزیع تقریباً یکنواختی از کره‌ها رشد پیدا می‌کند، خود کره‌ها به صورت لایه لایه بوده و قطر هر کدام از پوسته‌ها در حدود  $70 \text{ nm}$  می‌باشد. همانطور که در تصاویر دیده می‌شود با افزایش حجم محلول مقدار کره‌های بیشتری روی سطح نمونه قرار گرفته‌اند. طیف عبوری و نتایج مربوط به گاف نواری نشان‌دهنده کاهش درصد عبور نور و گاف نواری نمونه‌ها با افزایش حجم محلول اولیه است که می‌تواند به دلیل افزایش ضخامت و

اندازه بلورک نمونه‌ها باشد.

#### ۶-۴ بررسی اثر آلایش Sn با استفاده از روش اسپری پایرولیزیز

لایه‌های اکسید مولیبden با آلایش Sn بر روی زیرلایه‌های شیشه به روش اسپری پایرولیزیز لایه نشانی شدند، مقادیر آلایش با نسبت‌های مولی  $[Sn]/[Mo]$  :  $0/0.5$  ،  $0/1.0$  ،  $0/1.5$  ،  $0/2.5$  و  $0/5.0$  در نظر گرفته شد. الگوی پراش پرتو X مربوط به نمونه خالص نشان دهنده فاز پایدار  $MoO_3-\alpha$  با ساختار بلوری راست گوشه است. قله‌های مربوط به ساختارهای قلع در اکثر نمونه‌ها دیده نمی‌شود، فقط یک قله ضعیف در زاویه  $2\theta=52/74^\circ$  مربوط به فاز  $SnO_2$  با ساختار بلوری راست گوشه در نمونه‌ها با درصد آلایش  $15\%$  و  $50\%$  دیده می‌شود. همچنین با افزایش میزان آلایش شدت قله‌های مربوط به صفحات  $(40)$  و  $(60)$  کاهش می‌یابد. با افزایش درصد آلایش از  $0.50\%$  تا  $0.40\%$  مقادیر اندازه بلورک از  $78/88 nm$  به  $23/24 nm$  کاهش می‌یابد، همچنین با افزایش میزان آلایش مقادیر چگالی درفتگی و کرنش افزایش یافته‌اند که نشان دهنده کاهش کیفیت بلوری با افزایش ناخالصی می‌باشد. تصاویر FESEM نشان دهنده این است که ساختار سطح نمونه‌ها با توزیع تقریباً یکنواختی از کره‌های با قطر  $2 \mu m$  رشد پیدا می‌کند، ملاحظه می‌شود با افزایش میزان ناخالصی نانوذراتی روی کره‌های مربوط به  $MoO_3$  تشکیل می‌شود که می‌تواند اثر ناخالصی Sn روی لایه‌های نازک اکسید مولیبden باشد. با افزایش میزان ناخالصی تا  $50\%$  روی کره مقدار زیادی از ذرات مکعبی شکل قرار گرفته است. طیف عبوری و نتایج مربوط به گاف نواری نشان دهنده افزایش درصد عبور نور و گاف نواری نمونه‌ها با افزایش درصد آلایش Sn است که می‌تواند با کاهش اندازه بلورک نمونه‌ها توجیه شود.

## ۷-۴ بررسی اثر مدت زمان در روش هیدروترمال

نانوساختارهای اکسید مولیبden با استفاده از روش هیدروترمال بر روی لایه‌های بذری که با روش اسپری پایرولیزیز به دست آمده، در زمان‌های متفاوت ۱۲، ۱۸ و ۲۴ h تهیه شدند. الگوهای پراش پرتو X (XRD) نشان دهنده رشد نمونه‌ها در فاز  $\alpha\text{-MoO}_3$  با ساختار بلوری راست گوشه است. ملاحظه می‌شود قله‌های مربوط صفحات  $\{0\cdot k\cdot 0\}$  که  $k=2, 4, 6$  دارای شدت بیشتری در نمونه با زمان ۲۴ h است که می‌تواند نشان دهنده تشکیل ساختار لایه‌ای و مناسب‌تر برای این نمونه باشد در این نمونه به نظر می‌رسد فرصت کافی برای رشد اتفاق افتاده است در حالی که برای دو نمونه دیگر با زمان‌های کمتر این اتفاق نیفتاده است. همچنین اندازه بلورک، کرنش و چگالی در رفتگی نمونه‌ها در راستای ترجیحی (۰۰۴) محاسبه شد ملاحظه می‌شود با افزایش مدت زمان حضور نمونه‌ها در کوره مقدار اندازه بلورک در راستای صفحه (۰۰۴) افزایش یافته است و چگالی در رفتگی نمونه با مدت زمان بالا دارای کمترین مقدار است که نشان دهنده ساختار بهتر این نمونه می‌باشد. تصاویر FESEM نشان دهنده این است که ساختار سطح نمونه‌ها مانند نمونه‌هایی که با روش اسپری پایرولیزیز تهیه شدند به شکل اسفنجی همراه با توزیع تقریباً یکنواختی از کره‌ها رشد پیدا می‌کند. در نمونه‌ها با زمان‌های ۱۲ و ۱۸ h زمان لازم برای رشد نانوصفحات داده نشده است ولی در نمونه با مدت زمان ۲۴ ساعت این زمان در نظر گرفته شده است. و رشد نانو صفحاتی با ضخامت‌های ۷۰-۸۰ nm بر روی کره‌هایی که به روش اسپری به دست آمده بود رشد کرده اند که می‌تواند نشان دهد در این روش اتم-های اکسید مولیبden فرصت کافی برای قرارگیری در موقعیت‌های شبکه‌ای خود را روی لایه بذری پیدا کرده‌اند. ولی در نمونه‌های مربوط به ۱۲ و ۱۸ ساعت تصاویر شبیه تصویر زیرلایه با تراکم ماده‌ای بیشتر را نشان می‌دهد.

## ۴-۸ بررسی اثر افزودن پایدارکننده SDS در روش هیدروترمال

نانوساختارهای اکسید مولیبدن با استفاده از روش هیدروترمال بر روی لایه‌های بذری با مدت زمان ۲۴ h تهیه شدند. اثر بودن و نبودن پایدارکننده SDS بر روی نمونه‌ها مورد بررسی قرار گرفت. الگوی پراش پرتو X (XRD) حاکی از ساختار بلوری راست‌گوش و فاز  $\alpha\text{-MoO}_3$  است. قله‌های مربوط به صفحات  $\{0\bar{1}0\}$  که  $6^\circ$  و  $2^\circ$  دارای شدت بیشتری است که می‌تواند نشان‌دهنده تشکیل ساختار لایه‌ای و مناسب باشد. با افزودن پایدار کننده به نمونه‌ها مقدار اندازه بلورک در راستای صفحه  $(0\bar{1}0)$  کاهش یافته است و کرنش و چگالی در رفتگی نمونه افزایش پیدا کرده است، که نشان‌دهنده ساختار بهتر نمونه بدون پایدارکننده می‌باشد. تصاویر FESEM بیانگر این است که ساختار سطح نمونه‌ها مانند نمونه‌های تهیه شده به روش اسپری پایرولیزیز با توزیع تقریباً یکنواختی از میکرو کره‌ها رشد پیدا می‌کند. همانطور که در تصاویر دیده می‌شود در نمونه با SDS رشد ذراتی بر روی کره‌های مربوط به زیرلایه انجام شده است ولی در دیگر نمونه رشد نانو صفحاتی با ضخامت‌های  $70\text{-}80\text{ nm}$  بر روی کره‌هایی که به روش اسپری به دست آمده بود رشد کرده اند که می‌تواند نشان دهد اتم‌های اکسید مولیبدن به صورت اختیاری بر روی لایه بذری قرار گرفته‌اند و این نشان‌دهنده این است که در نمونه بدون پایدارکننده صفحات در راستاهای مشخص رشد کرده‌اند ولی در نمونه با پایدارکننده ذراتی مستطیلی شکل بر روی کره‌ها قرار گرفته‌اند و تراکم نانوذرات را بر روی کره‌ها افزایش داده است.

## ۴-۹ بررسی اثر زیرلایه با غلظت‌های متفاوت در روش هیدروترمال

نانوساختارهای اکسید مولیبدن با استفاده از روش هیدروترمال بر روی زیرلایه‌هایی که از روش اسپری پایرولیزیز به دست آمده بود در زمان ۲۴ h تهیه شدند. اثر نوع زیرلایه اولیه شامل زیرلایه با غلظت‌های  $0\text{/}0\text{/}5$  و  $1\text{/}0\text{/}0$  (شیشه)،  $0\text{/}0\text{/}5$  و  $M$  بر روی نمونه‌ها مورد بررسی قرار گرفت. الگوی پراش پرتو X (XRD) حاکی از ساختار بلوری راست‌گوش و فاز  $\alpha\text{-MoO}_3$  برای نمونه‌ها با غلظت‌های  $0\text{/}0\text{/}5$  و  $M$

۱۰۰ است. الگو مربوط به نمونه با غلظت  $\text{MoO}_3$  (شیشه) نیز هیچ ساختاری مربوط به اکسید مولیبدن را نشان نمی‌دهد و فقط قله مربوط به شیشه را نشان می‌دهد. قله‌های مربوط به صفحات  $\{0k0\}$  که  $k=6$  و  $k=4$  دارای شدت بیشتری است که می‌تواند نشان‌دهنده تشکیل ساختار لایه‌ای و مناسب باشد. اندازه بلورک، کرنش و چگالی دررفتگی نمونه‌ها را در راستای ترجیحی (۴۰°) محاسبه شد. نتایج به دست آمده نشان می‌دهد که برای دو نمونه با غلظت‌های ۰/۰۵ و  $M = ۰/۱$  اندازه بلورک به ترتیب برابر با  $65/49 \text{ nm}$  و  $36/90 \text{ nm}$  است. تصاویر FESEM نمونه‌ها نشان می‌دهد که ساختار سطح نمونه‌ها مانند نمونه‌های رشد یافته به روش اسپری پایرولیزیز با توزیع تقریباً یکنواختی از میکرو کره‌ها رشد پیدا می‌کند. در نمونه‌ها با غلظت‌های ۰/۰۵ و  $M = ۰/۱$  رشد نانو صفحاتی با ضخامت‌های  $70-80 \text{ nm}$  بر روی کره‌هایی که به روش اسپری به دست آمده بود رشد کرده‌اند که می‌تواند نشان دهد در این روش اتم‌های اکسید مولیبدن به صورت ترجیحی بر روی لایه‌ای که قبلاً لایه نشانی شده است قرار گرفته‌اند. و همچنین بر روی زیرلایه شیشه نیز به صورت خیلی جزئی صفحات اکسید مولیبدن در حال رشد هستند.

#### ۴-۱۰۰ بررسی اثر زیرلایه با حجم محلول متفاوت در روش هیدروترمال

نانوساختارهای اکسید مولیبدن با استفاده از روش هیدروترمال بر روی زیرلایه‌هایی که از روش اسپری پایرولیزیز به دست آمده بود در زمان  $24 \text{ h}$  تهیه شدند. اثر نوع زیرلایه اولیه شامل زیرلایه با حجم محلول‌های  $25 \text{ mL}$  و  $50 \text{ mL}$  بر روی نمونه‌ها مورد بررسی قرار گرفت. الگوی پراش پرتو X (XRD) نمونه‌ها حاکی از رشد ساختار بلوری راست‌گوشه با فاز  $\alpha\text{-MoO}_3$  است. قله‌های مربوط به صفحات  $\{0k0\}$  که  $k=6$  و  $k=4$  دارای شدت بیشتری است که می‌تواند نشان‌دهنده تشکیل ساختار لایه‌ای و مناسب باشد. اندازه بلورک، کرنش و چگالی دررفتگی نمونه‌ها را در راستای ترجیحی (۴۰°) محاسبه شد. نتایج به دست آمده نشان می‌دهد برای نمونه‌های زیرلایه با حجم محلول‌های  $25 \text{ mL}$  و  $50 \text{ mL}$  نتایج مغایر باشند.

75 mL اندازه بلورک به ترتیب برابر با ۳۱/۰۳، ۴۱/۶۰ nm و ۶۵/۴۹ nm است. و همچنین مقادیر کرنش و چگالی در رفتگی نیز حاکی از آن است که نمونه با حجم محلول ۵۰ mL داری ساختار بلوری مناسب‌تری می‌باشد. تصاویر FESEM نمونه‌ها تشان می‌دهد که ساختار سطح نمونه‌ها مانند نمونه‌های تهیه شده با روش اسپری پایرولیزیز رشد پیدا می‌کند. در نمونه‌های با حجم محلول‌های ۵۰ و ۷۵ mL رشد نانو صفحاتی با ضخامت‌های ۷۰–۸۰ nm بر روی کره‌هایی که به روش اسپری به دست آمده بود رشد کرده‌اند همچنین این تصاویر نیز وجود ساختار لایه‌ای مربوط به الگو XRD را ثابت می‌کند.

در نهایت نمونه تهیه شده با روش هیدروترمال با مدت زمان فرآیند هیدروترمال ۲۴ h و بدون پایدارکننده و بر روی لایه بذری با شرایط دمای زیرلایه ۴۵۰ °C، غلظت محلول اولیه M ۰/۰۵ و حجم محلول اولیه ۵۰ mL با آهنگ لایه نشانی ۵ mL/min را می‌توان نمونه با کیفیت ساختاری و بلوری بالا و دارای تخلخل برای کاربردهای مختلف از جمله حسگری گازی معرفی کرد.

#### ۱۱-۴ پیشنهادات برای کارهای آتی

با توجه به مطالعات و کارهای آزمایشگاهی انجام شده در این پایان نامه، جهت ادامه تحقیقات و مطالعات تکمیلی در این زمینه که در این پایان نامه میسر نشد در این بخش به عنوان پیشنهادات ارائه می‌شود.

الف) سنتز و مشخصه‌یابی نانوساختارهای اکسید مولیبدن با روش‌های دیگر مانند سل-ژل، تبخیر حرارتی، اسپاترینگ و غیره.

ب) بررسی سایر خواص و مشخصه‌یابی‌های لایه‌های نازک اکسید مولیبدن مانند خواص الکتریکی، فوتولومینسانس، فوتورسانندگی و غیره.

- ج) بررسی خواص حسگری گازی نمونه‌ها برای گازهای مختلف.
- د) بررسی خواص الکتروکرومیک و فوتوکرومیک نمونه‌ها.
- ه) بررسی خواص فیزیکی و مشخصه‌یابی نمونه‌های اکسید مولیبден آلایش یافته با مواد دیگر مانند Zn, Ti, Li و غیره.

## مراجع

[1] سوالانی، هادی، ۲۹۳۹ ، مبانی علم سطح در نانو فناوری، چاپ اول، انتشارات دانشگاه تهران، تهران، ۳۰۰-۳۰۳.

[2] <http://fr.wikipedia.org/wiki/molybden>.

[3] J. Z. Ou, (2012), Phd thesis “**Nanostructured transitional metal oxides: applications in smart windows, optical gas sensors and dye-sensitized solar cells**”.

[4] M. C. Rao, K. Ravindranadh, A. Kasturi, M. S. Shekhawat (2013) “Structural stoichiometry and phase transitions of MoO<sub>3</sub> thin films for solid state microbatteries”, **Research Journal of Recent Sciences**, 2 , 67-73.

[5] M. B. Rahmani, S. H. Keshmiri, J. Yu, A. Z. Sadek, L. Al-Mashat, A. Moafi, K. Latham, Y. X. Li, W. Wlodarski, K. Kalantar-zadeh, (2010), “Gas sensing properties of thermally evaporated lamellar MoO<sub>3</sub>” **Sensors and Actuators B**, 145, 13–19.

[6] R. Sivakumar, C. S. Gopinath, M. Jayachandran, C. Sanjeeviraja,(2007) “An electrochromic device (ECD) cell characterization on electron beam evaporated MoO<sub>3</sub> films by intercalating/deintercalating the H<sup>+</sup> ions”, **Current Applied Physics**, 7, 76–86.

[7] G. Wang, T. Jiu, P. Li, J. Li, C. Sun, F. Lu, J. Fang, (2014) “Preparation and characterization of MoO<sub>3</sub> hole-injection layer for organic solar cell fabrication and optimization”, **Solar Energy Materials & SolarCells**, 120, 603–609.

[8] M. Yahaya, M. M. Salleh, I. A. Talib, (1998) “Optical properties of MoO<sub>3</sub> thin films for electrochromic windows”, **Solid State Ionics**, 113, 421–423.

[9] H. M. Martinez, J. Torres, M. E. Rodriguez-Garcia, L. D. Lopez-Carreno, (2012), “Gas sensing properties of nanostructured MoO<sub>3</sub> thin films prepared by spray pyrolysis”, **Physica B**, 407, 3199–3202.

[10] B. Kannan, R. Pandeeswari, B. G. Jeyaprakash,(2013) “Influence of precursor solution volume on the properties of spray deposited α-MoO<sub>3</sub> thin films, **Ceramics International**, 40, 5817-5823.

[11] D. V. Ahire, S. D. Shinde, G. E. Patil, K. K. Thakur, V. B. Gaikwad, V. G. Wagh and G. H. Jain,( 2012 ) “Preparation of MoO<sub>3</sub> thin films by spray pyrolysis and its gas sensing performance”, **International Journal on Smart Sensing and Intelligent Systems**, 5.

[12] X. Zeng, X. Zhang, M. Yang, Y. Qi, (2013) “A facile hydrothermal method for the fabrication of one-dimensional MoO<sub>3</sub> nanobelts” **Materials Letters**, 112, 87–89.

- [13] Y. Wang, Y. Zhu, Z. Xing, Y. Qian, (2013) “Hydrothermal synthesis of  $\alpha$ -MoO<sub>3</sub> and the influence of later heat treatment on its electrochemical properties” **Int. J. Electrochem. Science**, 8, 9851 – 9857.
- [14] S. S. Mahajan, S. H. Mujawar, P. S. Shinde, A. I. Inamdar, P.S. Patil, (2008) “Structural, optical and electrochromic properties of Nb-doped MoO<sub>3</sub> thin films”, **Applied Surface Science**, 254 5895–5898.
- [15] M. Kovendhana, D. P. Joseph, P. Manimuthuc, S. Sambasivam, S. N. Karthicke, K. Vijayarangamuthuf, A. Sendilkumarg, K. Asokanh, H. J. Kime, B. C. Choid, C. Venkateswaranc, R. Mohan, (2013) “Li doping induced physicochemical property modifications of MoO<sub>3</sub> thin films” **Applied Surface Science**, 284, 624– 633.
- [16] H. Sinaim, A. Phuruangrat, S. Thongtem, T. Thongtem, (2012) “Synthesis and characterization of heteronanostructured Ag nanoparticles MoO<sub>3</sub> nanobelts composites”, **Materials Chemistry and Physics**, 132, 358– 363.
- [17] D. Peredins, L. J. Gauckler, (2005), **Journal of Electroceramics**, 14,103.
- [18] K. Byrappa, T. Adschariri, (2007), “Hydrothermal technology for nanotechnology”, **Progress in Crystal Growth and Characterization of Materials**, 53, 117-166.
- [19] W. L. Suchanek, R. E. Riman, (2006) “Hydrothermal Synthesis of Advanced Ceramic Powders”, **Advances in Science and Technology**, 45, 184-193.
- [20] S. Bai, C. Chena, D. Zhang, R. Luo, D. Li, A. Chen, C. Liu, (2014) “Intrinsic characteristic and mechanism in enhancing H<sub>2</sub>S sensing of Cd doped  $\alpha$ -MoO<sub>3</sub> nanobelts”, **Sensors and Actuators B**, 204, 754–762.
- [21] W. Zhou, R. P. Apkarian, Z. L. Wang, D. Joy, “**Fundamentals of Scanning Electron Microscopy**”, (2008).
- [22] <http://material-science.uoregon.edu/ttsem/SEM/basicshtm1>.
- [23] A. Chithambararaj, A. C. Bose, (2011) “Hydrothermal synthesis of hexagonal and orthorhombic MoO<sub>3</sub> nanoparticles”, **Journal of Alloys and Compounds**, 509, 8105–8110.
- [24] X. H. Huang, G. H. Li, X. C. Dou, L. Li, (2009), *J. Appl. Phys*, 105, 084306.
- [25] Y. Zhao, J. Zhang, (2008) “Microstrain and grain-size analysis from diffraction peak width and graphical derivation of highpressure thermomechanics”, **Applied Crystallography**, 41, 1095–1108.
- [26] M. Vempuluri, K. Paruchuri, M. H. Obili, U. Suda, (2013) “Structural, optical and electrochromic properties of pure and Mo-doped WO<sub>3</sub> films by RF magnetron sputtering”, **Hindawi Publishing Corporation Conference Papers in Energy**.
- [27] A. Bouzidi, N. Benramdane, H. Tabet-Derraz, C. Mathieu, B. Khelifa, R. Desfeux, (2003) “Effect of substrate temperature on the structural and optical properties of MoO<sub>3</sub> thin films prepared by spray pyrolysis technique”, **Materials Science and Engineering B**, 97 5-8
- [28] H. M. Martinez, J. Torres, M. E. Rodriguez-Garcia, L. D. Lopez-Carreno, (2013) “Effect of the substrate temperature on the physical properties of molybdenum tri-oxide thin films obtained through the spray pyrolysis technique”, **Materials Charactrization** 75, 184–193.

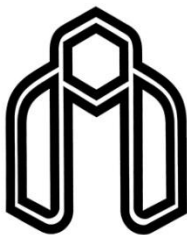
[29] T. Prasada Rao, M. C. Santhoshkumar, (2009), "Effect of thickness on structural, optical and electrical properties of nanostructured ZnO thin films by spray pyrolysis", **Applied Surface Science 255, 4579–4584**

[۳۰] تسبندی، (۱۳۹۱)، پایان نامه کارشناسی ارشد: "رشد و مشخصه یابی لایه‌های نازک اکسید نیکل" دانشکده فیزیک دانشگاه صنعتی شهرورد.

## **Abstract**

In this experimental research the morphological, structural and optical properties of Molybdenum trioxide ( $\text{MoO}_3$ ) samples prepared using spray pyrolysis and hydrothermal methods were studied. Also the effect of Sn as a dopant on  $\text{MoO}_3$  samples prepared by spray pyrolysis method was investigated. Samples were characterized by field emission scanning electron microscopy (FE-SEM), X-ray diffraction (XRD) and UV-Vis spectroscopy. The growth parameters have been studied using spray pyrolysis method are as following: substrate temperature (in the range of 250-450 °C), concentration of precursor solutions (limited to 0.01-0.1 M), volume of precursor solutions (in the range of 25-75 mL), spray rate (limited to 5- 20 mL/min) and the effect of addition of Sn as a dopant on the samples with different molar ratio [Sn/Mo] (in the range of 0.05-0.50). The XRD pattern shows the thermodynamically stable orthorhombic  $\alpha\text{-MoO}_3$  for that pure samples. The strong reflection peaks (0k0) with  $k=2, 4, 6$  have seen in patterns proves the existence of the lamellar structure. The FESEM images of samples show the formation of micro-spheres which their shell was shaped in lamellar structure. Transmittance, absorption coefficient and direct band gap of samples obtained and analyzed. In the hydrothermal technique sprayed seed layer was used for growing nanostructured thin films. In this case the effect of different substrates, which have been grown by spray pyrolysis with different conditions, and the effect of time of hydrothermal reaction were studied. The XRD pattern shows the formation of orthorhombic  $\alpha\text{-MoO}_3$  structure, and the FESEM image illustrates the preferential grows on the substrate.

**Keywords:** Molybdenum trioxide, spray pyrolysis, hydrothermal, thin films, nano-structures, surface morphology, structures and optical properties.



**University of Shahrood**

**Faculty of physics**

**Synthesis and Investigation of Physical Properties of MoO<sub>3</sub>  
Nanostructures with different dopants**

**Amin Eftekhari**

**Superviser:**

**Dr. Mohammad Bagher Rahmani**

**Adviser:**

**Dr. Fatemeh Masdarolomoor**

**February 2015**